

Náš rozhovor	1
Nové knihy	2
AR mládeži:	
Základy elektrotechniky	3
Jednoduchá zapojení pro volný čas ..	5
Napěťový záznamník (logger)	8
Elektrický ohradník	12
Bezdrátové čidlo pohybu	15
Regulace DC motoru pomocí PWM	19
Levný analogový multimetr	23
Inzerce	I-XXXII, 48
Dialkovo ovládaný audiopanel pro CD ROM	25
Voltmetr a vybíječ článků řízený počítačem PC	29
Zálohované napájení	30
Vysílací sestava QRP517	31
PC hobby	33
Rádio „Historie“	42
Z radioamatérského světa	45

Praktická elektronika A Radio

Vydavatel: AMARO spol. s r. o.

Redakce: Šéfredaktor: ing. Josef Kellner, redaktori: ing. Jaroslav Belza, Petr Havliš, OK1PFM, ing. Miloš Munzar, CSc., sekretariát: Eva Kelárková.

Redakce: Radlická 2, 150 00 Praha 5, tel.: 2 57 31 73 11, tel./fax: 2 57 31 73 10, sekretariát: 2 57 32 11 09, I. 268.

Ročně vychází 12 čísel. Cena výtisku 50 Kč.

Rozšiřuje První novinová společnost a. s. a soukromí distributoři.

Předplatné v ČR zajišťuje Amaro spol. s r. o. - Hana Merglová (Radlická 2, 150 00 Praha 5, tel.: 2 57 31 73 12; tel./fax: 2 57 31 73 13). Distribuci pro předplatitele také provádí v zastoupení vydavatele společnost Mediaservis s. r. o., Abocentrum, Moravské náměstí 12D, P. O. BOX 351, 659 51 Brno; tel: 5 4123 3232; fax: 5 4161 6160; abocentrum@mediaservis.cz; www.mediaservis.cz; reklamacce - tel.: 800 800 890.

Objednávky a předplatné v Slovenskej republike vybavuje Magnet-Press Slovakia s. r. o., Šustekova 10, 851 04 Bratislava - Petržalka; korešpondencia P. O. BOX 169, 830 00 Bratislava 3; tel./fax (02) 67 20 19 31-33 - predplatné, (02) 67 20 19 21-22 - časopisy; email: predplatne@press.sk.

Podávání novinových zásilek povoleno Českou poštou - ředitelstvem OZ Praha (č.j. nov 6005/96 ze dne 9. 1. 1996).

Inzerce přijímá redakce - Michaela Jiráčková, Radlická 2, 150 00 Praha 5, tel.: 2 57 31 73 11, tel./fax: 2 57 31 73 10 (3).

Za původnost a správnost příspěvků odpovídá autor (platí i pro inzerce).

Internet: <http://www.aradio.cz>

E-mail: pe@aradio.cz

Nevyžádané rukopisy nevracíme.

ISSN 1211-328X, MKČR E 7409

© AMARO spol. s r. o.

NÁŠ ROZHOVOR



s jednatelem firmy Antech spol. s r. o. ing. Pavlem Krejčím o novinkách a digitálním pozemním vysílání.

Co se děje nového u firmy Antech?

Největší změnou ve společnosti pro rok 2004 je přestěhování do nových prostor. Na jaře roku 2003 jsme koupili bývalý objekt ředitelství RAJ, který jsme velmi náročnou přestavbou přizpůsobili pro naše potřeby. V novém objektu je mimo jiné vybudováno moderní servisní a testovací oddělení, které dále zvýší kvalitu servisu, velký sklad, který již byl nutností, a obchodní a školicí oddělení. Celková podlažní plocha nového sídla firmy je nyní více než 1000 m². V době, kdy budou čtenáři číst tento rozhovor, již budeme pracovat na nové adrese. Od změny sídla očekáváme další zlepšení našich služeb. Zároveň se změnou sídla měníme i logo firmy, což již naši zákazníci postřehli. Nové logo by mělo symbolizovat kvalitativní posun našich služeb. Také kompletně měníme naši webovou prezentaci, ta je nyní výrazně přehlednější a informace jsou obsaženější.

Sortiment námi nabízeného zboží zůstává stejný. Nosným programem je kompletní sortiment divize vf elektronika španělské firmy ALCAD a měřicí přístroje UNAOHM. Celková nabídka je doplněna pasivními komponenty TONER, zesilovači IKUSI a profesionálními digitálními přijímači MACAB. Naším cílem je komplexní nabídka pro individuální příjem, STA a kabelové rozvody.

Působíte na českém trhu jako výhradní zastoupení španělské společnosti ALCAD, avšak nemylím-li se, na českém trhu firma ALCAD působí i přímo?

Ano, společnost ALCAD s. a. založila v roce 2002 v ČR svoji pobočku ALCAD s. r. o., ale pouze pro distribuci produktů divize elektronických vrátných a videovrátných LINEA 201. Od založení s českou pobočkou úzce spolupracujeme a od letošního roku jsme kompletní sortiment domovních vrátných a videovrátných zahrnuli i do naší nabídky. Jako novinku v současné době uvádíme na trh digitálního elektronického vrátného s možností interkomunikace a digitální videotelefony, jejichž hlavní předností je, že k propojení celého systému jsou potřeba pouze dva komunikační dráty - nezávisle na počtu tlačítek a domovních stanic. Pro tento rok počítáme ještě s uvedením digitálních videovrátných, u nichž je celá komunikace a obraz veden na síti LAN, videovrátné s barevným obrazem, číselnou klávesnicí pro digitální systémy a PC interface pro propojení systému s počítačem. Celý sortiment LINEA 201 se vyznačuje moderním designem a velkou spolehlivostí.

V současné době je fenomén digitálního pozemního vysílání DVB-T. Jaký je váš názor na současné dění okolo něj?

O vysílání pozemní digitální televize v současné době vychází poměrně hodně více či méně odborných článků a komentářů. Nerad bych komentoval současné legislativní problémy a spor kompetencí RRTV a ČTÚ, které určitě start DVB-T u nás neurýchlí, a podle mého názoru letos regulérní vysílání asi nezačne. Nicméně DVB-T je jasná budoucnost a o tom už asi nikdo nepochybuje. Pozemní digitální vysílání přináší nesporné výhody. K vysílání pozemské digitální televize je využíváno stejné kanálové rozdělení spektra jako u analogového TV vysílání. Je odolné proti rušení a interferencím, má výrazně efektivnější využití kmitočtového spektra (v jednom TV kanále lze digitálně přenášet až šest TV programů), přes DVB-T lze šířit i datové služby. Příjem DVB-T z více směrů, který u „analogu“ způsobuje problémy (interference, duchy), je u digitálního vysílání naopak přínosem a zlepšuje kvalitu příjmu, ke stejnému pokrytí signálem jako u „analogu“ je potřeba menšího vyzáření výkonu vysílače, což je hlavně ekologický přínos. Kvalitní příjem bude možný i na obyčejnou prutovou anténu při dostatečném signálu. Další výhodou je možnost příjmu v dopravních prostředcích, což v současnosti není možné u jiného typu příjmu.

Jsou vůbec e nějaké problémy a nevýhody digitálního pozemního příjmu?

O nevýhodách DVB-T příjmu se moc nemluví, avšak je jich několik. Předně velkou nevýhodou při individuálním příjmu je potřeba tolika „set top boxů“, kolik chceme sledovat nezávisle programů na více TV přijímačích, a dnes jsou dva TV přijímače + videorekordér běžnou výbavou domácností. Další problém bude v mnoha oblastech nezbytnost dobré antény. Problém může být i kvalita obrazu, kde se laicky předpokládá výrazné zlepšení oproti „analogu“, ta však bude hlavně závislá na počtu programů v jednom multiplexu (počítá se se 4 až 6 programy) a může se stát, že i obraz z digitálního příjmu bude méně kvalitní než z „analogu“.

Jaká je vaše nabídka pro příjem DVB-T?

Pro DVB-T (tak jako i pro DVB-S) nabízíme široký sortiment zboží jak pro individuální příjem, tak pro STA a kabelové rozvody od firmy ALCAD.

Předně bych chtěl upozornit na široký sortiment velmi kvalitních antén ALCAD, které jsou všechny kompatibilní pro příjem DVB-T signálu, a letos se chystáme uvést na trh i anténu pro příjem DAB (digitálního rozhlasu). Ač se o tom moc ne-



Videotelefon z nabídky LINEA 201

mluví a je stále zažitá představa, že pozemní „digitál“ bude možné všude přijímat na prutovou anténu, ale opak může být pravdou - a to hlavně v začátku vysílání, kdy v mnohých oblastech nebude dostatečně kvalitní signál. Hodně bude také záležet na typu modulace. Určitě po spuštění celoplošného vysílání bude v mnoha lokalitách dobrá anténa klíčovým prvkem kvalitního příjmu. U DVB-T není zesilovač schopen signál vylepšit, pokud je na anténe velká chybovosť signálu. Zesilovače se používají pouze pro vyrovnání ztrát způsobených rozvodem signálu.

Zesilovačů pro DVB-T nabízíme široký sortiment, od velmi populárních typů řady AM vhodných i k montáži do venkovního prostředí, přes domovní zesilovače CA a CF až po kanálové zesilovače řady ZG/ZP pro rozvod DVB-T signálu v STA rozvodech. U řady ZG/ZP připravujeme letos uvedení na trh nové generace zesilovačů. Samozřejmě pro tento rozvod jsou třeba pasivní prvky kompatibilní pro DVB-T, což reprezentuje široký sortiment pasivních prvků ALCAD, jedná se o rozbočovače FI a odbočovače FD.

Pro STA a kabelové rozvody nabízíme přijímače OFDM modulace TO-551. Jedná se o přijímače s vestavěným VSB stereo BG modulátorem, u kterého lze výstupní kanál naprogramovat libovolně v TV pásmu. Tyto přijímače jsou stejného mechanického provedení jako ostatní moduly ALCAD série 912. Používají napájecí zdroj FA-310, tedy stejný jako satelitní digitální přijímače TP-551, TP-561, a proto lze tyto moduly vzájemně kombinovat. Nastavují se infračerveným programátorem PS-003 s možností kontroly přes OSD. Přijímač umí pracovat v módu 2k nebo 8k, s modulacemi QPSK, 16QAM nebo 64QAM a proti možným poruchám v příjmu je chráněn funkcí AUTORESET. Výstupní stereofonní modulátor osazený filtrem SAW lze nastavit na libovolný kanál TV pásma, včetně S-kanálů, a automaticky přepíná mezi režimy MONO/STEREO/DUAL - řízeno signálem VPS.

Pro profesionální kabelové rozvody nabízíme DT-1600T přijímač COFDM signálu (kódované pozemní digitální vysílání) se slotem „common interface“ pro dekódovací modul a kartu.

Zmínil jste se o nové generaci zesilovačů ZG/ZP, můžete prozradit něco více?

Od listopadu uvedeme na trh nové kanálové zesilovače ZG (zesílení 52 dB, vy-

buditelnost 123,5 dB μ V) a ZP (zesílení 40 dB, vybuditelnost 115 dB μ V) vhodné jak pro analogový, tak pro pozemní digitální příjem. Zesilovače jsou rozděleny na typ ZG-211 pro FM rádio, typ ZG-611 pro kanál v pásmu 42 až 470 MHz a pro speciální zesilovač na DAB-T v pásmu 195 až 232 MHz, typ ZG-411 pro kanál v pásmu 470 až 862 MHz a typ ZG-431 pro kanál v UHF s velmi vysokou selektivitou pro provoz kanál vedle kanálu. Zesilovače ZG-431 jsou speciálně testované pro provoz sousedních analogových a digitálních kanálů. Zesilovače ZP mají stejné rozdělení.

Nejvýraznějšími změnami oproti současnému typu jsou vstupy a výstupy s F-konektory, nové kvalitnější vstupní/výstupní filtry (3 filtry na vstupu, 2 filtry na výstupu), čímž je dosaženo podstatně lepší selektivity. Napájení zesilovačů je realizováno ze zdroje AS-125 24 V/1700 mA po sběrnici LT-107. Změnu doznal i rozměr vložky, která je užší, a tím je dosaženo lepšího chlazení vložek na liště ZP-004. Nově je možné napájet předzesilovač přímo ze zesilovače zapnutím napájení 24 V/50 mA. Přes všechny změny zůstává kompatibilita nových a starých zesilovačů co se týká montážních rámu a vzájemného spojení se stávajícími zesilovací pomocí sady napájecích a konektorových adaptérů. Co si myslím, že bude nejzajímavější pro naše zákazníky, je, že cena bude stejná jako cena stávajících zesilovačů.

Nejedná se však jen o novou generaci zesilovačů ZG/ZP, ale o celou sérii 905, která zahrnuje i konvertory CO. Ty budou uvedeny na trh začátkem příštího roku.

Jaké další novinky připravujete?

Z dalších novinek, které připravujeme ke konci roku, je nová generace hvězdicových a kaskádových multipřepínačů MU určených pro analogový a digitální příjem satelitního signálu, nové typy modulátorů a nové kanálové procesory, které budou kompatibilní s digitálními přijímači TP a TO, čímž vznikne ucelené řešení analogové/digitální hlavní stanice pro STA a menší kabelové rozvody.

Závěrem bych našim současným zákazníkům poděkoval za spolupráci a věřím, že i nadále bude naše společnost splňovat jejich náročné požadavky.

Děkuji vám za rozhovor.

Připravil ing. Josef Kellner.



Sestava pro příjem pozemního digitálního signálu TO-551



Měření, řízení a regulace s DELPHI

Objektové programování reálných objektů

Sören Götz
Reiner Mende



- Objektově orientované programování
- Struktura tříd
- Dědění
- Rozhraní EPP-I²C
- IO expandér
- Osciloskop
- AD a DA převodník
- Zapisovač charakteristik
- Řízení krokového motoru
- Deska měřících zesilovačů



EDICE **PC & elektronika**

Götz, S.; Reiner, M.: Měření, řízení a regulace s Delphi - Objektové programování s reálnými objekty. Vydalo nakladatelství BEN - technická literatura v edici PC & elektronika, 208 stran B5 + CD, obj. č. 121129, 399 Kč.

Předkládaná kniha se zabývá dvěma značně odlišnými záležitostmi: vývojem softwaru (v jazyce Delphi) a hardwarem pro měření, řízení a regulaci.

Autoři se pokoušejí přiblížit hardware teoretikům tím, že se zabývají objektově orientovaným programováním ve vyšším programovacím jazyce Delphi na příkladech objektů blízkých hardware, jako jsou sběrnice systémy, měřicí, řídicí a regulační přístroje, a přiblížit software praktikům tím, že budeme programovat řízení sběrnice systémů, měřících, řídicích a regulačních přístrojů sice jako objektů blízkých hardware, ale přesto s moderními softwarovými koncepcemi z vyššího programovacího jazyka Delphi.

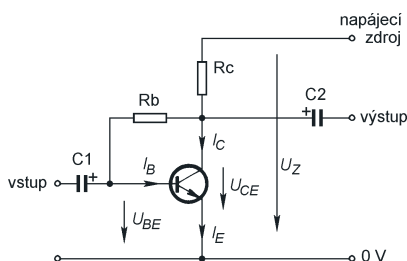
V knize je popsáno několik praktických aplikací, včetně zdrojových kódů, některé také zahrnují výkresy desek s plošnými spoji: ScanBus (skenování paralelního portu a I²C), Deska rozhraní EPP - I²C, IO expandér, Řízení krokového motoru, Deska budičů pro krokové motory, Zapisovač charakteristik, Osciloskop, převodník AD a DA, Deska měřících zesilovačů, Připojení teplotních senzorů, Data Logger s obvody Dallas.

Knihy si můžete zakoupit nebo objednat na dobrou v prodejní technické literatury BEN, Věšínova 5, 100 00 Praha 10, tel. 2 7482 0411, 2 7481 6162, fax 2 7482 2775. Další prodejní místa: Jindřišská 29, Praha 1, sady Pátaticátníků 33, Plzeň; Cejl 51, Bmo; Česobratská 17, Ostrava, e-mail: knihy@ben.cz, adresa na Internetu: www.ben.cz. Zásilková služba v SR: Anima, anima@dodo.sk, Slovenskej jednoty 10 (za Národnou bankou SR), 040 01 Košice, tel./fax (055) 6011262.

Zesilovače s tranzistory

Pracovní bod (Pokračování)

Jednoduchý způsob stabilizace pracovního bodu umožňuje zpětná vazba z kolektoru do báze, viz obr. 36. Tento způsob nastavení pracovního bodu se používá poměrně často, a tak jistě bude vhodné jej podrobněji popsat. Pro snadnější pochopení jsou v obrázku vyznačeny napětí a proudy.



Obr. 36. Stabilizace pracovního bodu napětovou zápornou zpětnou vazbou

Předpokládejme, že chceme na výstupu zesilovače stupně dosáhnout co největšího rozkmitu výstupního napětí. Rezistor R_c tvoří pracovní zátěž tranzistoru a jeho odpor by měl být podstatně menší než odpor zátěže připojené na výstup zesilovače. V některých případech však lze volit odpor R_c srovnatelný nebo dokonce větší než odpor zátěže. V takovém případě nelze dosáhnout maximálního rozkmitu výstupního signálu při $U_{CE} = U_Z/2$, ale při menším napětí U_{CE} . Rozkmit výstupního napětí pak bude jen malý zlomek napájecího napětí, což pro slabé signály nevedá. U tohoto příkladu předpokládáme zátěž s velkým odporem. Zvolíme proto kolektorové napětí U_{CE} jako polovinu napájecího napětí U_Z . Dále si musíme také zvolit odpor rezistoru v kolektoru nebo proud tímto rezistorem a velikost napájecího napětí.

Proud prochází z napájecího zdroje přes kolektorový rezistor do kolektoru tranzistoru (I_C) a malá část proudu ještě přes rezistor R_b do báze (I_B). Kolektorovým rezistorem tedy protéká proud $I_C + I_B$, stejně jako emitorem tranzistoru $I_E = I_C + I_B$. Protože proud I_B je mnohem menší než I_C , můžeme si další výpočty zjednodušit zavedením $I_C \approx I_E$.

Nejdříve si spočítáme úbytek napětí na kolektorovém rezistoru R_c

$$U_{Rc} = U_Z - U_{CE} \quad [V; V].$$

Z Ohmova zákona spočítáme proud

kolektorovým rezistorem (pokud jsme zvolili kolektorový odpor)

$$I_C = U_{Rc}/R_c \quad [mA; V, k\Omega],$$

nebo spočítáme kolektorový odpor (v případě, že jsme zvolili proud rezistorem)

$$R_c = U_{Rc}/I_C \quad [k\Omega; V, mA].$$

V katalogu vyhledáme proudový zesilovací činitel zvoleného tranzistoru. Ten bývá zpravidla uveden jako určitý rozsah hodnot, např. u běžného univerzálního tranzistoru BC548B je $h_{FE} = 200$ až 450. Pro výpočet použijeme údaj blízko středu tohoto rozsahu, v tomto případě $h_{FE} = 300$. Spočítáme proud báze

$$I_B = I_C/h_{FE} \quad [mA; mA, -].$$

Zbývá spočítat odpor rezistoru R_b

$$R_b = (U_{CE} - U_{BE})/I_B \quad [k\Omega; V, mA].$$

Napětí U_{CE} jsme si zvolili. Napětí U_{BE} se sice mění podle velikosti I_B (viz obr. 35 v minulém dílu), avšak velmi málo, a tak pro běžné případy můžeme uvažovat $U_{BE} = 0,6$ V.

Ukažme si postup na praktickém příkladu. Použijeme napájecí napětí $U_Z = 9$ V, tranzistor BC548B, zvolíme kolektorový proud $I_C = 1$ mA a napětí $U_{CE} = 4$ V. Kolektorový odpor bude

$$R_c = (U_Z - U_{CE})/I_C = (9 \text{ V} - 4 \text{ V})/1 \text{ mA} = 1 \text{ k}\Omega.$$

Zvolíme nejbližší odpor v řadě E12 (4,7 k Ω) nebo v řadě E24 (5,1 k Ω). Proud báze bude

$$I_B = I_C/h_{FE} = 1 \text{ mA}/300 = 0,0033 \text{ mA}$$

a odpor R_b

$$R_b = (U_{CE} - U_{BE})/I_B = (4 \text{ V} - 0,6 \text{ V})/0,0033 \text{ mA} = 1020 \text{ k}\Omega.$$

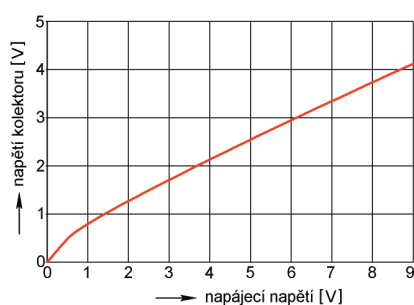
Odpor R_b i v tomto případě zvolíme nejbližší z řady – 1 M Ω .

Výpočet R_b lze zjednodušit ještě více, zanedbáme-li napětí U_{BE} a budeme-li uvažovat shodné napětí na rezistoru R_b a R_c . Pro přibližný výpočet pak stačí vynásobit kolektorový odpor zesilovacím činitelem tranzistoru

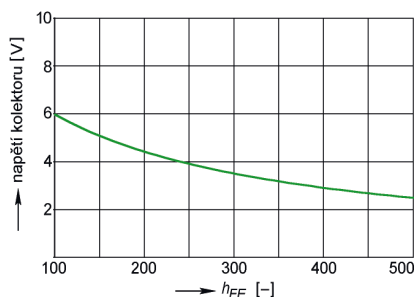
$$R_b = R_c \cdot h_{FE}.$$

Do obvodu pak zapojíme rezistor s odporem o 0 až 50 % menším.

V úvodu jsme si řekli, že zpětná vazba pracovní bod stabilizuje. Na obr. 37 je závislost napětí U_{CE} na napájecím napětí. I když se napájecí napětí mění ve velkém rozsahu, napětí na kolektoru zůstává poblíž poloviny napájecího napětí. Zesilovací stupeň lze použít ve velkém rozsahu napájecích napětí, aniž bychom mu-



Obr. 37. Závislost napětí U_{CE} na napájecím napětí pro obvod z obr. 36



Obr. 38. Závislost U_{CE} na proudovém zesilovacím činitelem tranzistoru pro obvod z obr. 36

seli měnit hodnotu některých součástek. Určitou nevýhodou je, že změna napájecího napětí se přenáší na výstup zesilovače. Bude-li v napájení brum, bude brum i na výstupu. Na obr. 38 je závislost U_{CE} na proudovém zesilovacím činitelem tranzistoru. Z grafu je vidět, že i když bude použit tranzistor s odlišným zesilovacím činitelem, bude kolektorové napětí blízko navržené velikosti. Nebudeme-li využívat maximální rozkmit signálu, není mírně odlišné kolektorové napětí na závadu.

Nevýhodou tohoto zapojení je, že záporná zpětná vazba zavedená rezistorem R_b nepůsobí jen na nastavení stejnosměrného pracovního bodu, ale také na zesilovaný signál. Důsledkem této vazby je zmenšení vstupního a výstupního odporu zesilovače. Nepříjemné je zvláště zmenšení vstupního odporu až na odpor řádu jednotek k Ω (v zapojení na obr. 36 asi 3 k Ω). Vstupní odpor je navíc ovlivňován zátěží připojenou k výstupu zesilovače. Čím je odpor zátěže menší, tím je také menší napěťové zesílení, slabší zpětná vazba pro střídavý signál a vstupní odpor větší.

Uvedené nevýhody lze odstranit zesilovači s více tranzistory, jejichž návrhu se budeme věnovat příště.

VH

(Pokračování příště)

Digitální technika a logické obvody

Srovnání typů logických obvodů (Pokračování)

Jednotlivé řady logických obvodů se liší v mnoha parametrech. Mezi ty, které nás obvykle nejvíce zajímají, řadíme zpoždění obvodu a jeho spotřebu. V optimálním případě by měly oba tyto parametry nabývat co nejmenších hodnot. V praxi je situace trochu slo-

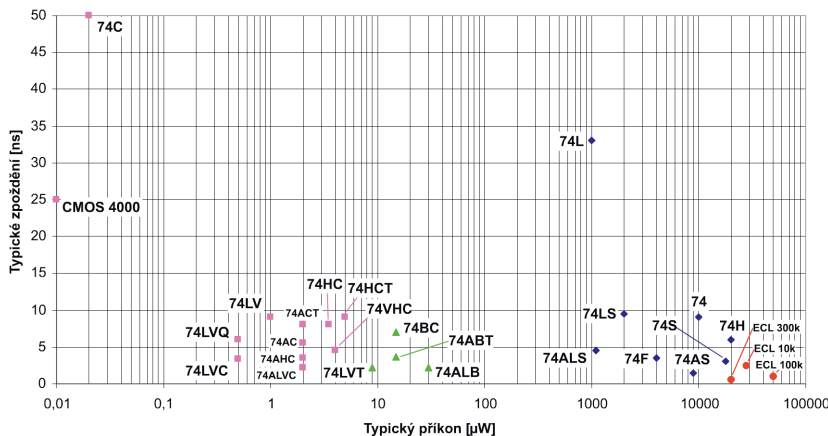
žitější vzhledem k tomu, že jsou tyto požadavky do jisté míry protichůdné. Obr. 51 ukazuje srovnání jednotlivých řad logických obvodů podle jejich zpoždění a spotřeby. Barevně jsou od sebe odlišeny bipolární, CMOS, BiCMOS a ECL obvody. O jednotlivých typech bylo pojednáno v minulých dvou dílech seriálu. Vzhledem k tomu, že se údaje jednotlivých výrobců mírně liší, je srovnání do jisté míry pouze orientační. Zpoždění obvodu je navíc závislé na napájecím napětí a při jeho dolní hranici bývá větší.

Údaje vynesené v grafu platí pouze pro klidový stav obvodu. V důsledku většího odběru proudu při překlápění hradel z jedné logické úrovně do

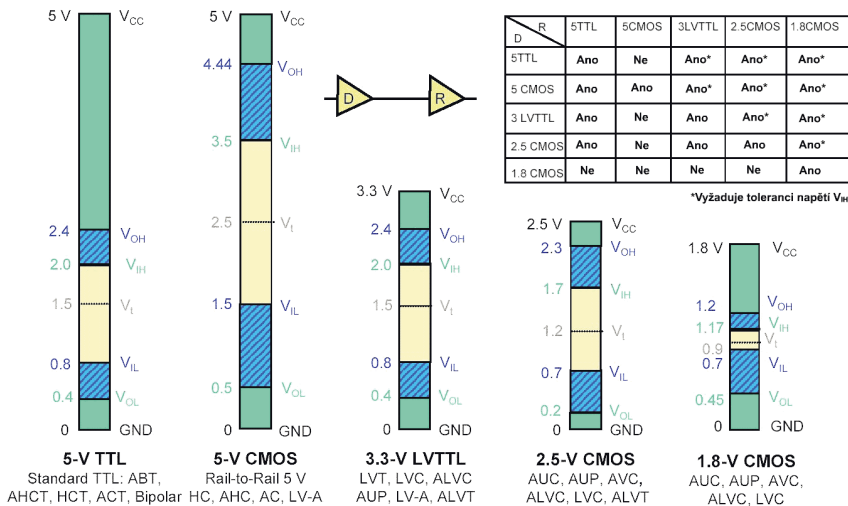
druhé se u obvodů CMOS se zvyšujícím kmitočtem zvětšuje i jejich ztrátový výkon. Zatímco je tedy spotřeba těchto obvodů v klidovém stavu velice malá, při kmitočtech kolem 1 MHz je již srovnatelná nebo dokonce větší než u obvodů bipolárních. U nich lze pozorovat podobný jev, výrazněji se však projevuje až při vyšších frekvencích.

Na obr. 52 jsou zobrazeny vstupní a výstupní napěťové úrovně vybraných skupin logických obvodů. Jedná se o rozšíření obrázku 37, který se týkal pouze standardní řady TTL. V_{IL} je maximální vstupní napětí pro úroveň L a V_{IH} je minimální vstupní napětí pro úroveň H. Pro tato napětí je zaručeno, že bude na výstupu napětí minimálně V_{OH} při úrovni H a maximálně V_{OL} při úrovni L, nepřekročíme-li předepsané maximální zatížení výstupů obvodu. Na obrázku je dále vyznačeno napětí V_t , které nazýváme prahovým. Označuje napětí, při kterém se obvod překlápí z jedné logické úrovně do druhé. Na výstupu i na vstupu je v tomto okamžiku stejné napětí. Doba překlápění obvodu by měla být co možná nejkratší s ohledem na možný vznik oscilací a zvětšený odběr proudu. Součástí obrázku je dále tabulka zobrazující možnosti propojení jednotlivých skupin logických obvodů mezi sebou. Dva obvody, které náleží do skupin s různými napěťovými úrovněmi, lze propojit v případě, že je napětí V_{OH} obvodu označeného v obrázku písmenem D větší než V_{IH} obvodu R přijímajícího signál a napětí V_{OL} obvodu D menší než napětí V_{IL} obvodu R. Propojení typů označených hvězdičkou je v zásadě možné, ovšem pouze za předpokladu, že je obvod přijímající logický signál schopen akceptovat na vstupu větší napětí. Účelem obrázku není poskytnout přesné parametry jednotlivých typů logických obvodů, ale spíše jakýsi přehled. Napěťové úrovně u konkrétní logické řady se mohou mírně lišit, obvody uvedené v rámci jedné skupiny by však měly být navzájem slučitelné.

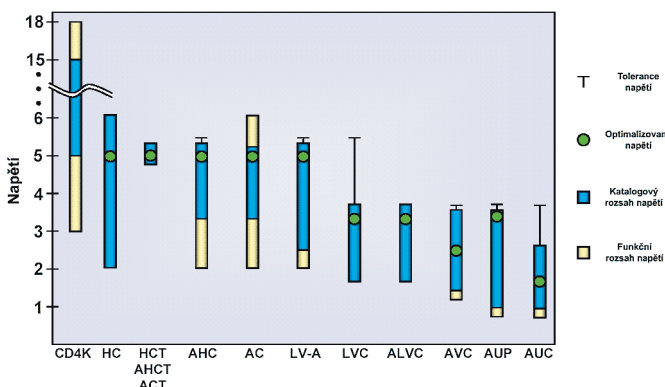
Na obr. 53 jsou zobrazeny informace o napájecích napětích jednotlivých typů CMOS obvodů. Nejvyšší rozsah napájecích napětí mají obvody CMOS standardní řady 4000 (resp. 4xxx, viz první sloupec). Ve zbývajících sloupcích jsou obvody optimalizované pro napájecí napětí 5 V, 3,3 V, 2,5 V a 1,8 V. Obvody HCT, ACT a AHCT, které jsou plně slučitelné s logikou TTL, mají podobně jako bipolární obvody TTL velmi malý rozsah napájecích napětí. Nejmenším napětím je možné napájet obvody řad AUP a AUC, které jsou plně funkční od úctyhodných 0,8 V.



Obr. 51. Srovnání rychlosti a spotřeby různých typů logických obvodů. Barevně jsou odlišeny bipolární, unipolární, BiCMOS a ECL obvody



Obr. 52. Vstupní a výstupní napěťové úrovně vybraných typů logických obvodů při uvedeném napájecím napětí



Obr. 53. Napájecí napětí obvodů CMOS

Vít Špringl (Pokračování příště)

Oprava: V PE7/04 jsme v této rubrice uvedli, že na výstupu obvodu vznikne záporné napětí, přičemž míněno bylo napětí blízké nule. Za tuto nepřesnost se omlouváme. red.

JEDNODUCHÁ ZAPOJENÍ PRO VOLNÝ ČAS

Nouzové osvětlení s bílou LED

V hotelech, penzionech a ubytovnách nařizují bezpečnostní a hygienické předpisy celonoční svícení na chodbách, schodištích, WC a umývárkách. Jak takové osvětlení, které se může hodit i v domácnosti, pořídít s téměř nulovými provozními náklady, jsem popsal v KE 4/2003 (LED napájené síťovým napětím přes předřadný kondenzátor).

V některých veřejných budovách (divadla, kina) je povinné zase nouzové osvětlení pro případ výpadku elektrického proudu. Vybudovat takové osvětlení s klasickými žárovkami je nákladné. Znamená to vytvořit zvláštní elektrické rozvody a mít k dispozici dostatečně velký akumulátor.

Oba uvedené požadavky splňuje dále popsané nouzové osvětlení, které je v běžném provozu napájeno ze sítě a při výpadku sítě se automaticky přepne na provoz ze záložního primárního tužkového článku (AA). A to pro úsporu článku pouze v době, kdy je tma.

Schéma nouzového osvětlení je na obr. 1. Spotřeba proudu ze sítě je téměř nulová. Předřadný kondenzátor C5 se chová jako jalová kapacitní zátěž. Jeho kapacitou je určen proud bílou LED D2 a tím i intenzita osvětlení. Pokud zvětšíme kapacitu kondenzátoru C5, můžeme zapojit paralelně dvě i více LED. Rezistory R9 a R10 vybíjejí kondenzátor C5 po odpojení síťového napětí. Protože napětí na rezistorech SMD nesmí být trvale větší než 200 V (špičkově 400 V), jsou zapojeny dva rezistory v sérii. Ze stejného důvodu jsou použity i dva rezistory R7 a R8, které omezují proud kondenzátorem C5 při zapnutí.

Kondenzátor C5 musí být dimenzován na 275 V AC. Je třeba si uvědomit, že pokud by se prorazil, zničil

by se celý obvod. Tato možnost je málo pravděpodobná, za samozřejmě však považuji umístit obvod do nehořlavé krabičky (do elektroinstalační skříňky).

Diody D3 a D4 usměrňují střídavé napětí, kondenzátor C4 je filtruje.

Je-li síťové napětí připojeno, je přes rezistor R6 otevřen tranzistor T4. Multivibrátor s tranzistory T1 a T2 je zablokován, tranzistory T1 a T3 jsou zavřeny, T2 je otevřen. Záložní článek se dobíjí malým proudem přes dělič R12, R4. Vyjeme-li článek z držáku, mělo by být na kontaktech držáku napětí přibližně 1,3 až 1,5 V, které můžeme nastavit změnou odporu rezistorů R4 nebo R12.

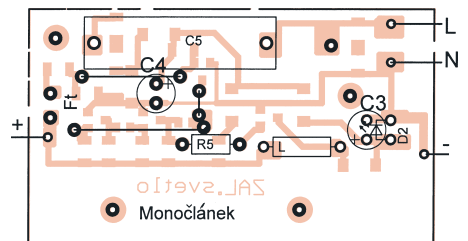
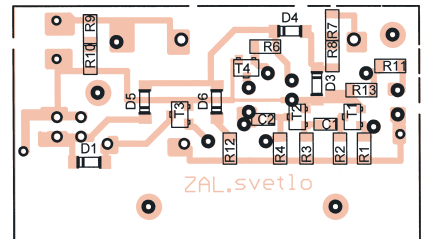
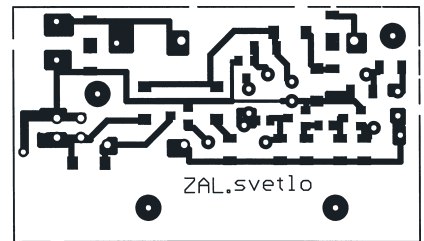
Tím, že je primární článek (tj. článek na jedno použití) trvale pod napětím, se několikanásobně zvětší jeho kapacita (pokud je z něj odebrán proud jen sporadicky). Nejsou-li výpadky sítě příliš časté, může takový článek vydržet i několik let.

Při výpadku sítě se zavře tranzistor T4. Když bude současně zavřen i fototranzistor Ft (tj. bude-li tma), začne pracovat zvyšující měnič s tranzistory T1 až T3, který zvětšuje napětí 1,5 V ze záložního článku pro napájení LED (funkce měniče je podrobně popsána v KE 4/2004 na s. 33).

Fototranzistor musí být směřován opačným směrem než LED D2 (nejlépe k oknu a je vhodné ho umístit do bužírky, aby přijímal světlo pouze z jednoho směru). Rezistor R11 omezuje proud fototranzistorem a bází tranzistoru T4. Rezistor R13 tvoří s fototranzistorem dělič napětí. Změnou odporu rezistoru R13 můžeme nastavit úroveň osvětlení, při které měnič začne pracovat.

Diody D5 a D6 zabraňují tomu, aby se tranzistor T4 otevřel při odpojení síťového napětí.

Aby bylo nouzové osvětlení co nejmenší, byly při jeho konstrukci použity součástky vývodové i SMD. Ob-



Obr. 2. Obrázek spojů a rozmístění součástek na desce nouzového osvětlení (měř.: 1 : 1)

razec spojů a rozmístění součástek na desce je na obr. 2.

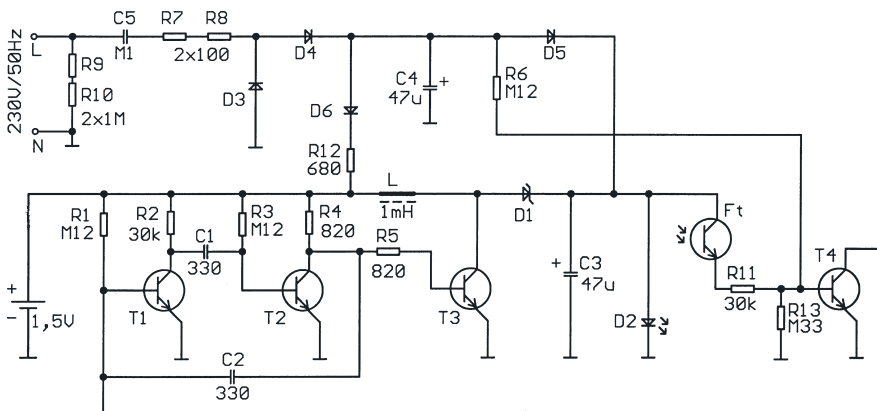
K desce je možné přišroubovat i držák jednoho tužkového článku, který poněkud přesahuje desku, což by nemělo vadit. Celý výrobek tak tvoří kompaktní celek, který je možné díky malým rozměrům snadno umístit např. do elektroinstalační krabičky nebo do krytu osvětlovacího tělesa. Pokud bude obvod umístěn v místnosti bez oken, vynecháme fototranzistor.

Při osazování desky nejprve tence pocínujeme pájecí plošky součástek SMD a pak tyto součástky připájíme. Nakonec zapájíme vývodové součástky a drátové propojky.

Při oživování nejprve vyzkoušíme provoz ze záložního článku a odzkoušíme funkci fototranzistoru. Nakonec připojíme síťové napětí a obvod znovu opatrně zkontrolujeme. Pozor na záměnu nulového (N) a fázového (L) přívodu sítě, obvod by sice fungoval, ale na LED a na fototranzistoru by bylo nebezpečné napětí.

Předpokládám, že obvod bude k síti připojen napevno, nikoliv přes pohyblivý přívod.

Při oživování se musíme vyvarovat náhodného dotyku fázového vodiče, abychom si nezpůsobili úraz elek-



Obr. 1. Nouzové osvětlení s bílou LED

trickým proudem. Začátečník by měl pracovat pod odborným dozorem.

Seznam součástek

R1, R6	120 kΩ, SMD 1206
R2, R3, R11	30 kΩ, SMD 1206
R4	820 Ω, SMD 1206
R5	820 Ω, miniaturní
R7, R8	100 Ω, SMD 1206
R9, R10	1 MΩ, SMD 1206
R12	680 Ω, SMD 1206
R13	330 kΩ, SMD 1206
C1, C2	330 pF, SMD 805
C3, C4	47 μF/16 V, radiální
C5	100 nF/275 VAC (CFAC100N/275VAC)
T1 až T4	BC847B (SOT23)
Ft	L-53P3BT, fototranzistor
D1	BAT46 SMD (MINI MELF)
D2	bílá LED
D3 až D6	1N4007 SMD
L	1 mH, tlumivka axiální
pouzdro A306311 na tužkový článek (= AA, = mignon)	
deska s plošnými spoji č. ZAL.svetlo	

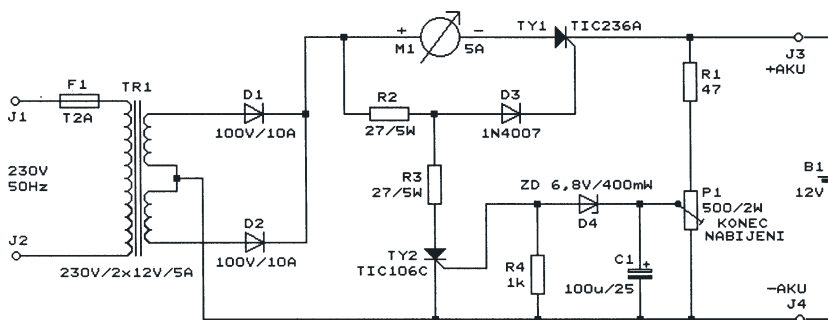
Ing. Jiří Vlček

Automatická nabíječka olověných akumulátorů

Schéma automatické nabíječky, která byla navržena pro nabíjení a udržování nabitého stavu olověného akumulátoru v kempinkovém přívěsu, je na obr. 3.

Akumulátor se nabíjí dvoucestně usměrněným impulsním proudem ze sekundárního vinutí síťového transformátoru TR1. Velikost nabíjecího proudu je určena vlastnostmi transformátoru - velikostí sekundárního napětí a vnitřním odporem transformátoru. Střední hodnota proudu je menší než 5 A a měří se ampérmetrem M1 s rozsahem 5 A.

Automatická funkce nabíječky spočívá v tom, že po nabití akumulátoru (při dosažení jmenovitého napětí akumulátoru) se nabíjení ukončí, a



Obr. 3. Automatická nabíječka olověných akumulátorů

když se akumulátor částečně vybijí např. samovybíjením (když napětí akumulátoru poněkud klesne), nabíjení se obnoví a ztracený náboj se doplní. Nabíječka tak může být trvale připojena k akumulátoru v době, kdy se kempinkový přívěs nepoužívá, a může udržovat akumulátor stále plně nabitý.

Automatické funkce je dosaženo přidáním obvodu se dvěma tyristory TY1 a TY2. Tyristor TY1 spíná nabíjecí proud. Pokud je napětí akumulátoru menší než jmenovité, je tyristor TY2 trvale vypnut a tyristor TY1 je v každém impulsu nabíjecího proudu spínán řídicím proudem, který teče do jeho řídicí elektrody rezistorem R2 a diodou D3.

Když se akumulátor nabije a jeho napětí dosáhne jmenovité velikosti, sepne tyristor TY2. Tyristor TY2 odvede rezistorem R3 řídicí proud tyristoru TY1 a zabrání jeho spínání a tím ukončí nabíjení. Když napětí akumulátoru poklesne pod jmenovitou velikost, tyristor TY2 vypne, tyristor TY1 začne spínat a nabíjení se obnoví.

Napětí z akumulátoru se vede na řídicí elektrodu tyristoru TY2 přes komparační obvod se součástkami R1, P1, C1, D4 a R4. Trimrem P1 se nastavuje požadované jmenovité napětí nabitého akumulátoru, při jehož dosažení se nabíjení ukončuje. Autor původního článku jmenovité napětí akumulátoru neuvádí, jeho velikost

se však obvykle pohybuje v okolí 13,8 V. Kondenzátor C1 filtruje impulsní složku napětí z akumulátoru.

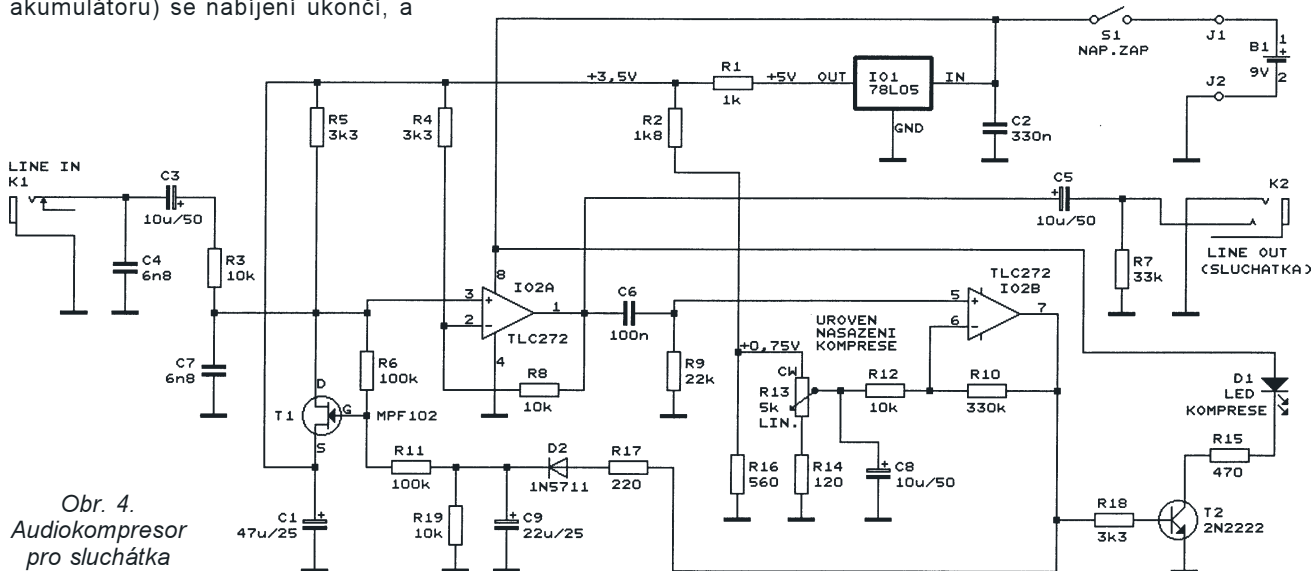
Nabíječka je postavena z běžných součástek, jejichž parametry jsou specifikovány ve schématu na obr. 3. Poněkud problematický je pouze síťový transformátor, na který musíme mít štěstí. Příliš velké napětí transformátoru můžeme „srazit“ rezistorem zapojeným do série s měřidlem M1.

Dohotovitou nabíječku oživíme. Běžec trimru P1 natočíme ke „studenému“ (dolnímu) vývodu P1 a ověříme, že do připojeného akumulátoru teče nabíjecí proud o přijatelné velikosti. Když se akumulátor nabije a jeho napětí dosáhne požadované jmenovité velikosti (měříme multimetrem), nastavíme trimr P1 tak, aby se nabíjení právě přerušilo. Tím je seřizování skončeno a nabíječku můžeme vyzkoušet v praxi.

old man 4/1998

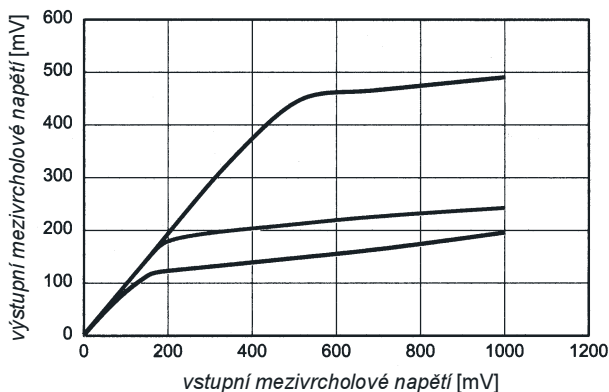
Audiokompresor pro sluchátka

Audiokompresor, jehož schéma je na obr. 4, se zapojuje mezi nf výstup komunikačního přijímače a sluchátka. Účelem kompresoru je zmenšit dynamiku audiosignálu přiváděného do sluchátek a potlačit tak obtěžující



Obr. 4. Audiokompresor pro sluchátka

Obr. 5.
Přenosové
charakteristiky
audiokompresoru.
Dolní křivka je při
potenciometru R13
na levém dorazu.
Prostřední křivka je
při natočení R13 na
6 % celkového úhlu.
Horní křivka je při
natočení R13 na
25 % celkového úhlu
(od levého dorazu).



a únavné akustické rázy, vznikající při přeladování přijímače s vypnutou automatickou regulací zisku (AGC).

Nf signál je komprimován až od určité úrovně, kterou lze nastavit potenciometrem R13 - viz obr. 5. Slabší signály procházejí kompresorem beze změny a jejich úroveň je na výstupu stejná jako na vstupu. Komprese je nejvýraznější, když je potenciometr R13 nastaven na levý doraz (ve směru proti otáčení hodinových ručiček), a je asi 20 dB.

Nf signál je ze vstupního konektoru K1 veden na výstupní konektor K2 přes vstupní zeslabovač (odporový dělič napětí se součástkami R3, R5, T1) s elektricky ovládaným zeslabením a přes výstupní oddělovací zesilovač s operačním zesilovačem (OZ) IO2A.

Nf signál z výstupu OZ IO2A je také zaveden do komparátoru s OZ IO2B, který porovnává úroveň nf signálu z výstupu kompresoru s rozhodovacím ss napětím z běžce potenciometru R13 a tím určuje úroveň nasazení komprese. Přesahuje-li úroveň výstupního nf signálu úroveň nasazení komprese, objeví se na výstupu komparátoru „ořezané“ špičky nf signálu, které se usměřovačem s diodou D2 a filtrem s kondenzátorem C9 přemění na ss řídicí napětí. Tímto řídicím napětím se ovládá přenos vstupního zeslabovače tak, aby nf signál na výstupu kompresoru měl přibližně konstantní úroveň. Nasazení komprese je indikováno diodou LED D1.

Vstupní zeslabovač je zapojen jako odporový dělič, v němž je jako proměnný odpor využíván odpor kanálu tranzistoru N J-FET (T1) řízeného napětím mezi elektrodami G a S. Odpor kanálu je dostatečně lineární, i když mezivrcholový rozkmit nf signálu přiloženého na kanál je řádu stovek mV. Na elektrodu S tranzistoru T1 je zavedeno předpětí +3,5 V, aby při nulovém napětí na výstupu usměřovače s diodou D2 (a tedy i na elektrodě G T1) byl T1 zavřený a jeho kanál měl „nekonečný“ odpor. Z hlediska nf signálu je paralelně ke kanálu T1 připojen rezistor R5, takže při nulovém napětí na elektrodě G T1 je zeslabení vstupního zeslabovače ur-

čeno poměrem odporů rezistorů R3 a R5 a je asi 4. Když se při nasazení komprese objeví na elektrodě G T1 kladné řídicí napětí z výstupu usměřovače, odpor kanálu tranzistoru T1 se začne zmenšovat a zeslabení vstupního zeslabovače se dále zvětšuje.

Výstupní oddělovací zesilovač s OZ IO2A zesiluje 4x - jeho zesílení je určeno odpory rezistorů R8 a R4 v děliči záporné zpětné vazby. Aby mohl nesymetricky napájený OZ IO2 zpracovávat obě půlvlny nf signálu, je zavedeno na jeho vstupy předpětí +3,5 V.

Výstupní konektor K2 je stereoformní zásuvka JACK 3,5 mm a je určen pro připojení stereofonních sluchátek (od walkmana). Proto jsou na obr. 4 zapojeny kontakty konektoru K2 tak, aby byla sluchátka levého i pravého kanálu zapojena do série. Samozřejmě můžeme konektor zapojit i jinak nebo můžeme použít jakýkoliv jiný konektor.

Komparátor s OZ IO2B porovnává amplitudu kladných půlvln nf signálu z výstupu OZ IO2A s rozhodovacím ss napětím +0,02 až +0,75 V z běžce potenciometru R13. Je-li rozkmit nf signálu menší než rozhodovací napětí, je na výstupu OZ IO2B nulové napětí (potenciál země). Přesáhnou-li kladné špičky nf signálu velikost rozhodovacího napětí, jsou operačním zesilovačem IO2B zesíleny asi 34x a na výstupu OZ IO2B se objeví kladné zaoblené impulsy. Zesílení komparátoru je určeno odpory rezistorů R10 a R12.

Přes diodu D2, která pracuje jako špičkový usměřovač, se kladnými impulsy z výstupu komparátoru nabíjí filtrační kondenzátor C9. Kvůli zvětšení citlivosti usměřovače je použita dioda D2 typu Schottky. V obvodu usměřovače jsou zapojeny rezistory R17 a R19, jejichž odpory jsou určeny časové konstanty nabíjení a vybíjení kondenzátoru C9. Těmito časovými konstantami jsou dány velmi krátká doba náběhu (attack) a dostatečně dlouhá (asi 220 ms) doba doběhu (decay) účinku komprese.

Stejným směrem napětí z kondenzátoru C9 se vede přes rezistor R11 jako řídicí napětí na elektrodu G tranzistoru T1.

Impulsy z výstupu komparátoru též otevírají tranzistor T2, který svým kolektorovým proudem rozsvěcí LED D1. LED D1 tak indikuje nasazení komprese.

Audiokompresor je napájen ss napětím 9 V z destičkové baterie nebo z vnějšího napájecího zdroje (např. ze síťového adaptéru). Napájecí proud je asi 5 mA. Předpětí +3,5 V se získává z napájecího napětí monolitickým stabilizátorem IO1 (78L05) a odporovým děličem s R1, R2 a R16.

Autor zapojil audiokompresor na desce s univerzálními plošnými spoji a vestavěl ho i s napájecí baterií do malé ploché plastové skříňky. Na bok skříňky umístil propojovací konektory K1 a K2 a na horní stěnu spínač napájení S1, potenciometr R13 a LED D1.

QST, únor 2004

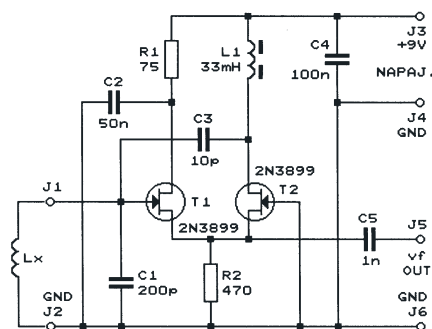
Měřicí oscilátor

V PE 9/2001 bylo v této rubrice uveřejněno pod názvem Tester laděných obvodů zapojení oscilátoru s bipolárními tranzistory, který s vnějším laděným obvodem LC kmitá v širokém rozmezí kmitočtů a umožňuje měřit kapacitu a indukčnost součástek laděného obvodu.

Zde na obr. 6 je zapojení podobného oscilátoru s tranzistorem N J-FET, který se používá ke stejnému účelu. Oscilátor spolehlivě kmitá v rozmezí 150 kHz až 30 MHz. Kmitočet f_0 se měří čítačem připojeným k vývodům J5 a J6. Měřená cívka Lx má indukčnost:

$$L_x = 25330 / (f_0^2 \cdot C_1) \quad [\mu\text{H}; \text{MHz}, \text{pF}].$$

RADIO COMMUNICATION, březen 1994



Obr. 6. Měřicí oscilátor

! Upozorňujeme !

Tématem časopisu **Konstrukční elektronika A Radio** 5/2004, který vychází současně s tímto číslem PE, je dokončení článku o rozhlasových přijímačích VKV z KE 3/2004. Je popsán jednoduchý komunikační přijímač, syntezátor, číslicová stupnice a superhet s elektronikami. Přídavkem je KV audion pro začátečníky.

Napět'ový záznamník (logger)

Radek Václavík, OK2XDX

Tento přístroj slouží k přesnému měření napětí a k ukládání naměřených údajů do paměti. V poslední době se objevila řada článků popisujících různá měření pomocí počítače PC. Samotný počítač je výkonným pomocníkem při zpracování dat, avšak má velkou nevýhodu. Je velký a hlučný.

Také některé multimetry disponují sériovým přenosem dat do počítače, ale většinou nemají možnost zaznamenávat větší množství změřených údajů.

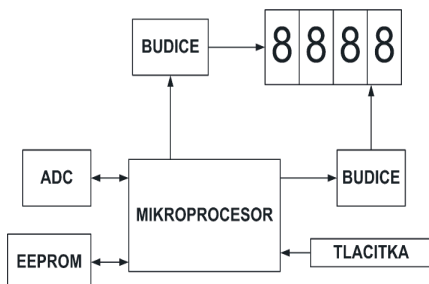
Modelovým případem může být prosba modeláře na zjištění vybíjecí charakteristiky akumulátoru při pomalém vybíjení. Například článku o kapacitě 2 Ah při vybíjení proudem 100 mA. Takové měření bude trvat nejméně 20 hodin, a pokud by se k ukládání dat použil počítač PC, musel by i on být zapnutý celých 20 hodin. To samozřejmě nevdává prodejci elektřiny, ale má drahá polovička by mi to prostě v mé dílně/ložnici nepovolila. Představa, že mi vedle hlavy celou noc hučí počítač, není příjemná.

Proto jsem vyvinul tento modul, který dokáže v tichosti sbírat data z měření do paměti a poté je poslat do počítače. Perioda měření je nastavitelná. Navíc modul dokáže pracovat i bez ukládání dat, a proto je možné jej použít i jako voltmetr s velkým displejem.

Parametry přístroje

Napájení: 8 až 15 V.
 Odběr proudu: max. 300 mA.
 Zobrazovač: 4x číslicovky LED 20 mm.
 Vstupní rozsah: 0 až 5 V.
 Rozlišení měření: 1,2 mV.
 Perioda měření: volitelná od 0,5 s.
 Přenosová rychlost: 19 200 Bd, 8N1.
 Zobrazované hodnoty:

- aktuálně změřená hodnota;
- maximální hodnota;
- minimální hodnota;
- čas měření;
- volná kapacita paměti.



Obr. 1. Blokové schéma zařízení

Blokové schéma zařízení je na obr. 1. Mikroprocesor AT89C4051 řídí displej 4x LED v multiplexním režimu. Paralelně načítá změřená data z převodníku AD ADS7822, vyhodnocuje tlačítka a ukládá data do paměti EEPROM.

Podrobné zapojení je na obr. 2. Mikroprocesor IC3 je zapojen v klasickém zapojení s externím nulováním a krystalem 11,0592 MHz pro generování standardních přenosových rychlostí. Na vývodu P3.1 je zapojen tranzistor Q14, který slouží jako jednoduchý interfejs RS-232<>TTL. Obvod IC4 je paměť EEPROM 24C64, která komunikuje s mikroprocesorem po sběrnici I²C. IC5 je 12bitový analogové digitální převodník ADS7822 připojený k mikroprocesoru přes vodiče CS, DCLK a DOUT. R10 slouží jako ochrana převodníku AD a dohromady s R11 může tvořit případný dělič pro použití měření napětí vyšších než 5 V.

Dvě tlačítka jsou připojena k vývodům P1.0 a P1.1. Třetí tlačítko je vytvořeno dvěma diodami a jeho stiskem se uzemní oba vývody zároveň.



IC6 zajišťuje stabilizaci napájení 5 V pro celý přístroj. IC7 tvoří referenční napětí pro převodník AD.

Multiplexní řízení displeje je realizováno pomocí IC2 CMOS 4532, což je převodník BCD na 7 segmentů, a IC1 CMOS 4051, což je multiplexer. Tranzistory Q1 až Q11 spínají vlastní diody v sedmissegmentovce. Jak je ze zapojení patrné, jsou to typy se společnou katodou MAN8640.

Procesor každé 2 ms nastaví 4 bity na bráně P1 znak, který se má zobrazit. IC2 tuto hodnotu BCD dekoduje na výstupy A až F, které řídí spínací tranzistory jednotlivých segmentů. Stejně tak vždy změnou nastavení multiplexeru IC1, který spíná společně katody sedmissegmentovek. Q14 potom navíc spíná diody LED desetinných teček.

Řídící program (tab. 1) je psán v jazyce C a zvláště multiplexní režim je velmi jednoduchý. Po dočítání časovače T0 mikroprocesoru se přeruší program a procesor začne vykonávat rutinu „timer0“. V ní nejprve opět nastaví hodnoty v časovacím registru, poté zvýší proměnnou „Tick“ o jedničku a skočí do rutiny „ZobrazLED“. Hodnota „Tick“ přímo určuje, která

```

/*----- Tab. 1.
Zobrazí data na displej
-----*/

void ZobrazLED(void)
{
    Temp = buf[Tick];
    Temp = (Temp << 4);
    Temp = (Temp + ((Tick) << 2));
    Temp = Temp + 3;
    P1 = Temp;
    //posune msb na P1.7, pro 4543
    //prida bity pro 4051
    //logické vstupy stále v „1“
    //zobraz

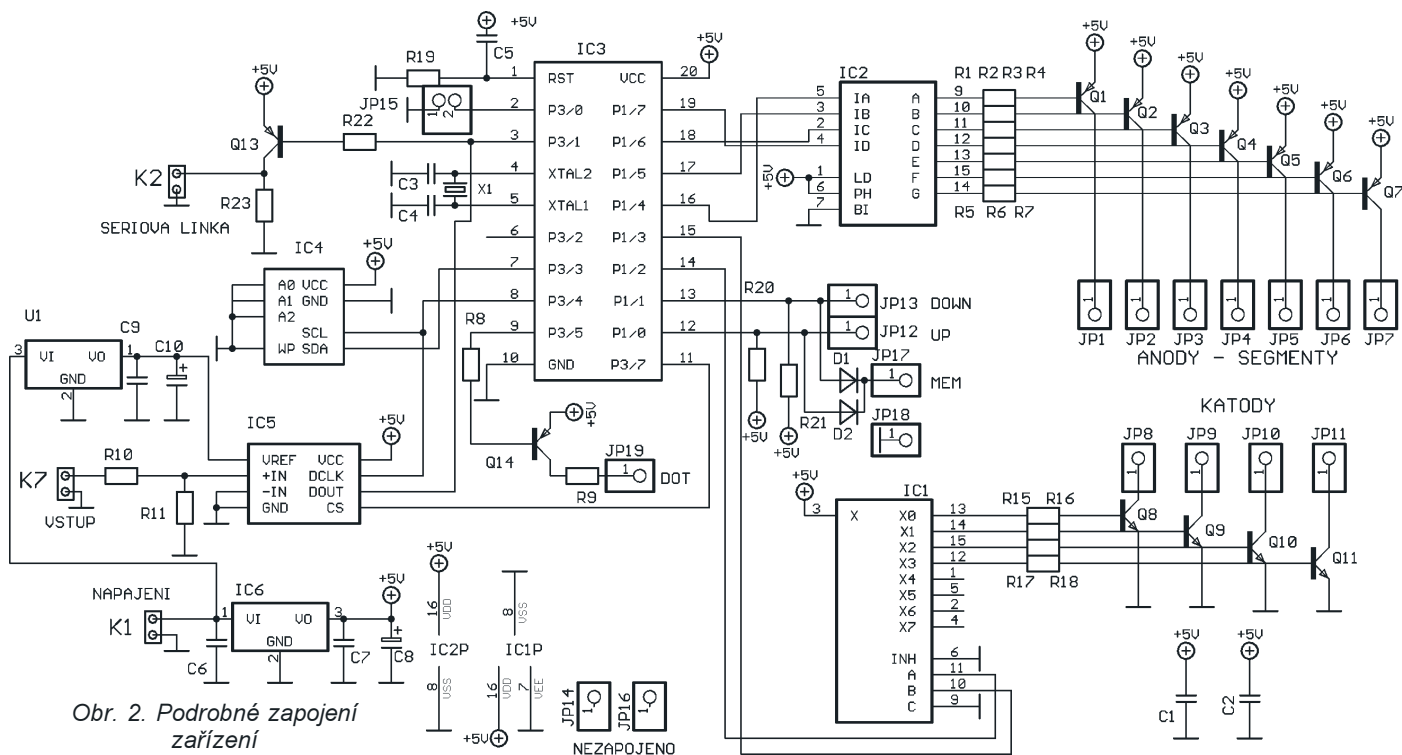
    Temp = (1 << Tick);
    Temp = (~Temp);
    Temp = (Tecka | Temp);
    if (Temp == 0xFF) TeckaT = 0;
    else TeckaT = 1;
    if (Tick == 3) Tick = 255;
    //nachysta zobrazení tecky
    //negace

}

/*-----
Interrupt from timer0 - hlavní časování
-----*/

void timer0 ( void) interrupt 1 using 2 {

    TH0 = 0xF8; TL0 = 0xCA;
    Tick++;
    ZobrazLED();
    //2ms
    // pocitadlo
    // posli dany buffer na displej
}
    
```

Obr. 2. Podrobné zapojení zařízení

sedmissegmentovka se právě obsluhuje. V ní vezme hodnotu, která se má zobrazit na daném místě, z proměnné „buf[]“ a pomocí několika bitových rotací a součtů posune hodnoty na portu P1 na správná místa (viz schéma). V dalších řádcích poté připraví zobrazení požadované desetinné tečky z proměnné „Tecka“. Vývod „TeckaT“ poté spíná příslušný tranzistor.

Funkce přístroje

Přístroj se ovládá 3 tlačítky, která mají tyto funkce:

UP, DOWN - přepínají mezi jednotlivými zobrazenými proměnnými MERENI<>MAX<>MIN<>PAMET<><>DELKA MERENI.

MEM - slouží k započítí ukládání dat do paměti. To je signalizováno poblíkáváním poslední tečky v rytmu ukládání dat do paměti.

UP během zapnutí přístroje - aktivuje přenos dat do počítače. Během průběhu přenosu na displeji problíkávají přenášené hodnoty. Po ukončení přenosu displej zhasne a svítí pouze desetinná tečka

DOWN během zapnutí přístroje - slouží k nastavení periody záznamu po 0,5 s tlačítky UP a DOWN. Při stisknutí MEM se tato hodnota uloží do paměti, rozsvítí se poslední tečka a přístroj je nutné vypnout.

Desetinné tečky signalizují právě zobrazovanou proměnnou:

MERENI - hodnota na vstupních svorkách převodníku v mV.

MIN - min. změřená hodnota, počítá se pouze během ukládání do paměti.

MAX - max. změřená hodnota, počítá se pouze během ukládání do paměti.

PAMET - zbývající kapacita paměti v %.

DELKA MERENI - doba, po kterou se ukládá do paměti, v sekundách.

Data jsou do počítače přenášena v textové formě, takže mohou být snadno přijata v terminálových programech a zpracována například v programu MS Excel. Přenos dat probíhá rychlostí 19 200 Bd, 8N1. Jako první se posílá hodnota periody v násobcích 100 ms, 100 znamená 10 s periody. Příklad dat viz tab. 2.

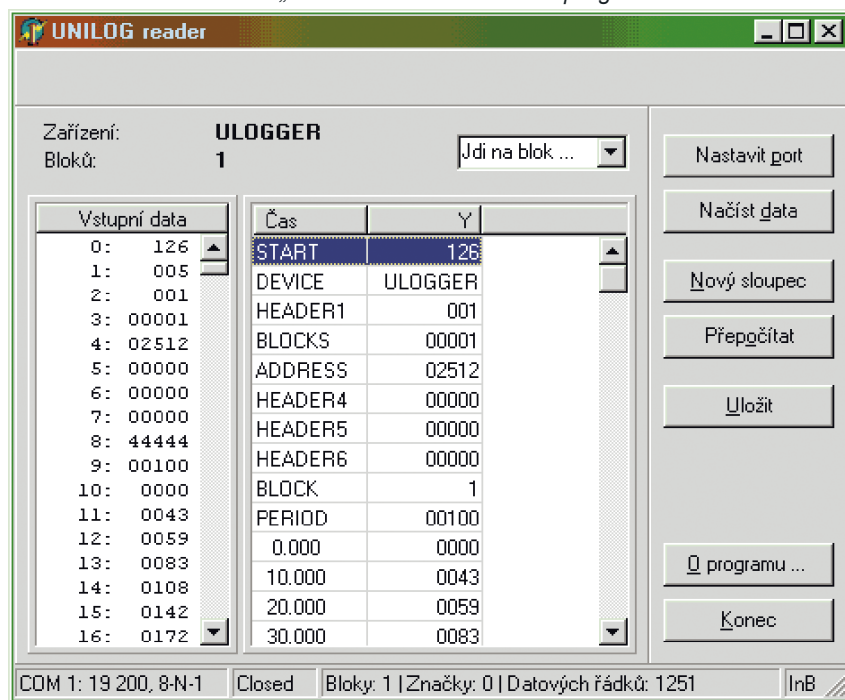
K pohodlnému zpracování dat nám napsal kolega krátký programek, který komunikuje se záznamníkem po RS-232 a jehož výstupem jsou data ve formátu CSV (oddělená

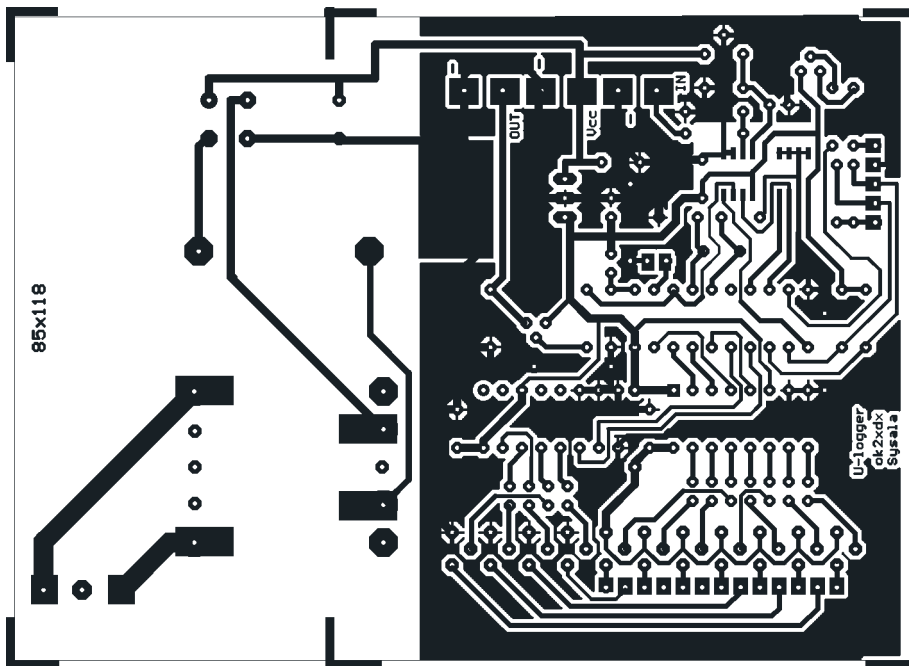
čárkou). Takové soubory lze snadno načíst například do programu MS Excel apod. Program umožňuje vložit i jednoduchý vzorec pro přepočítání zaznamenaných dat do reálných hodnot. Typickým příkladem může být přepočítání napětí na proud při měření odběru proudu z bočníku. Tento program je dostupný na www.sysala.cz, viz obr. 3.

Konstrukce

Celé zařízení je realizováno na 3 jednostranných deskách s plošnými spoji. Na hlavní je umístěna veškerá

Obr. 3. „Screenshot“ z načítacího programu





Tab. 2.

126	// hlavička, startovací byte
005	
001	
001	
2578	// poslední záznam
00000	
00000	
00000	
44444	// oddeľovac dat
00100	// perioda 10s
1300	// prvni zmerena hodnota 1,300V
1300	// dalsi zmerene hodnoty
1280	
1275	
1270	
44444	// koncovy znak
44444	// koncovy znak

8 . 8 . 8 . 8 .

^ kapacita volné paměti ^ bliká v rytmu ukládání
 ^ minimální hodnota
 ^ maximální hodnota
 ~~~~~ délka ukládání v sekundách

Obr. 6. Význam teček na displeji

základní elektronika, další dvě pak tvoří displej a propojovací deska. Na hlavní desce jsou 4 drátové propojky. K desce displeje není schéma z důvodu její jednoduchosti. Mechanická konstrukce je patrná z fotografií.

Při osazování a oživování přístroje by neměly nastat žádné problémy, hlavním předpokladem je pečlivá práce a kvalitní součástky.

Před prvním spuštěním je potřeba zkratovat JP15 a teprve potom přístroj zapnout. V tomto kalibračním režimu je možné později nastavit korekci zobrazované hodnoty proti realitě. Stačí si tak nějaký zdroj napětí změřit na přesném multimetru, pak jej připojit k tomuto záznamníku, zjistit rozdíl změřených údajů a tuto hodnotu poté uložit v kalibračním režimu. Hodnota se nastavuje opět UP, DOWN a uloží se tlačítkem MEM. Poté je přístroj potřeba vypnout.

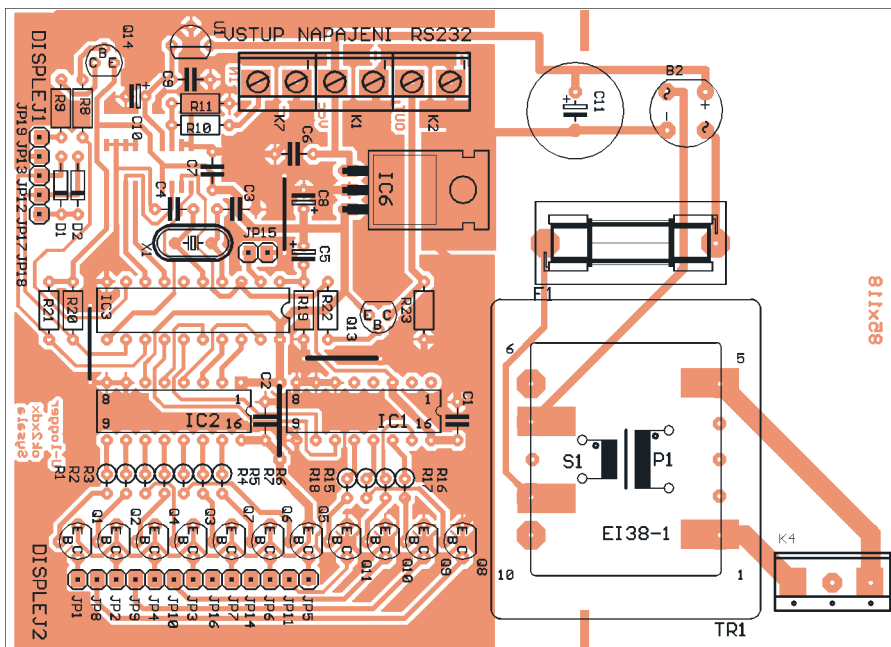
Na hlavní desce je místo i pro případný napájecí zdroj, který se skládá ze svorkovnice, transformátoru, pojistky, diodového můstku a filtračního kondenzátoru.

Zařízení je vestavěno do krabičky Bopla typ NGS7408 (144 x 72 x 86 mm).

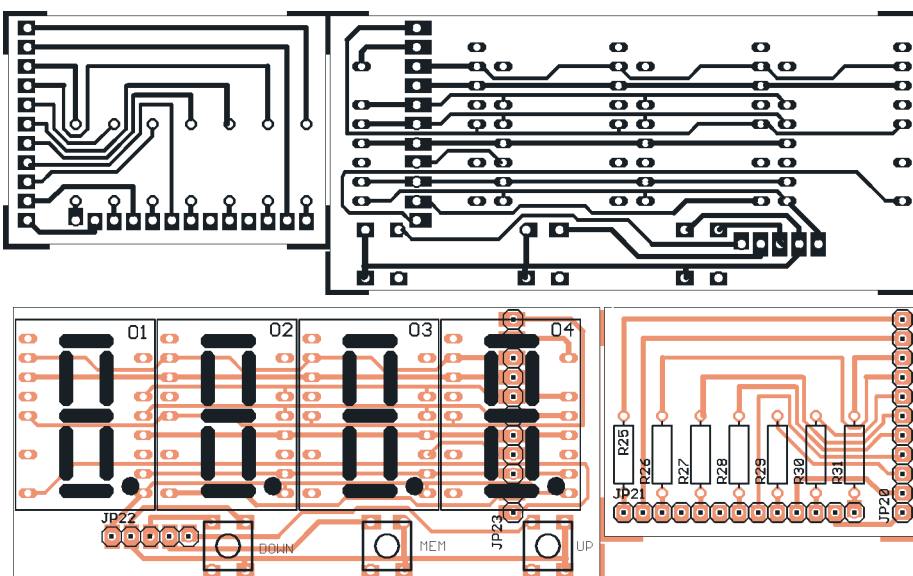
### Závěr

Popsané zařízení představuje typickou aplikaci mikroprocesoru, převodníku AD, paměti EEPROM a multiplexně řízeného displeje. Jedná se o rychlý měřicí přístroj, který navíc dokáže hodnoty ukládat do paměti. Tato data mohou být poté přenesena do počítače PC k dalšímu zpracování.

Přístroj najde uplatnění všude tam, kde je nutné delší dobu měřit a ukládat data bez nutnosti spuštění počítače. Na obr. 7 až 9 jsou příklady měřených veličin z dílny jednoho leteckého modeláře. Obr. 7 krásně demonstrovuje funkci nabíječky s obvodem MC33340. Krátké špičky dolů jsou místa, kdy nabíječka odpojuje

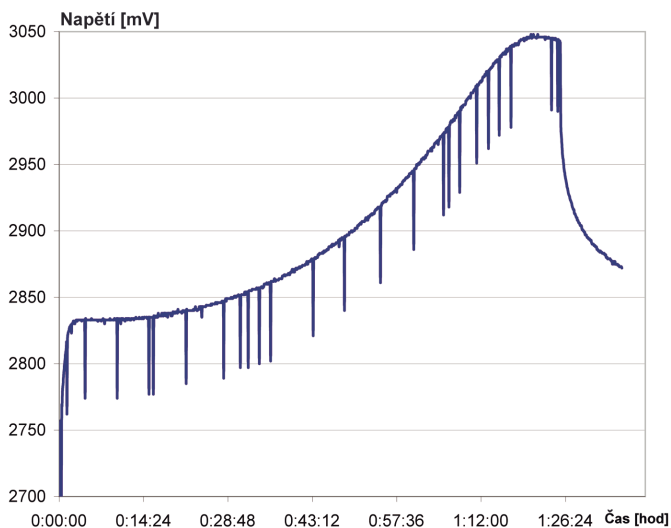


Obr. 4. Deska s plošnými spoji a rozmístění součástek hlavní jednotky

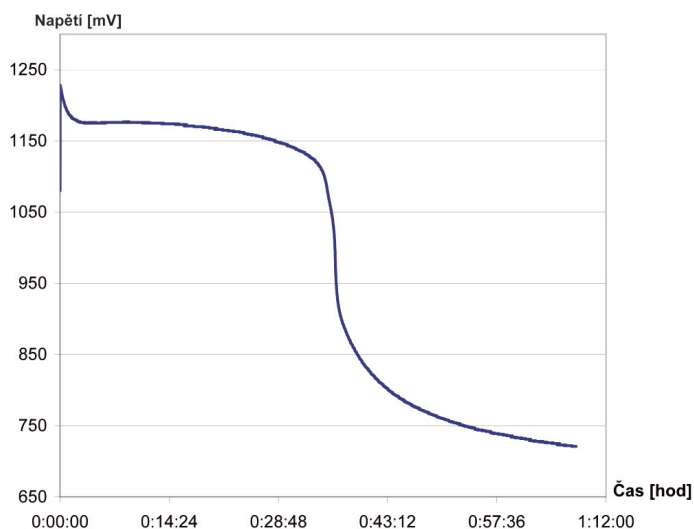


Obr. 5. Desky s plošnými spoji a rozmístění součástek displeje





Obr. 7. Nabíjení 2 článků pomocí MC33340



Obr. 8. Vybíjení jednoho článku, průběh napětí

články od zdroje proudu a měří jejich reálné napětí. Na konci je zřetelný pokles napětí na článku, který nabíječka správně vyhodnotila jako „delta peak“ a ukončila nabíjení.

Obr. 8 a 9 ukazují vybíjení jednoho článku pomocí sériové kombinace odporu  $0,33 \Omega$  a diody. V jednom grafu je zobrazen průběh napětí a ve druhém průběh vybíjecího proudu.

**Zájemcům o stavbu doporučuji stránku [www.sysala.cz](http://www.sysala.cz), kde najdete aktuální nabídku osazených a oživených desek tohoto záznamníku.**

Program pro  $\mu P$  si lze stáhnout na [www.aradio.cz](http://www.aradio.cz).

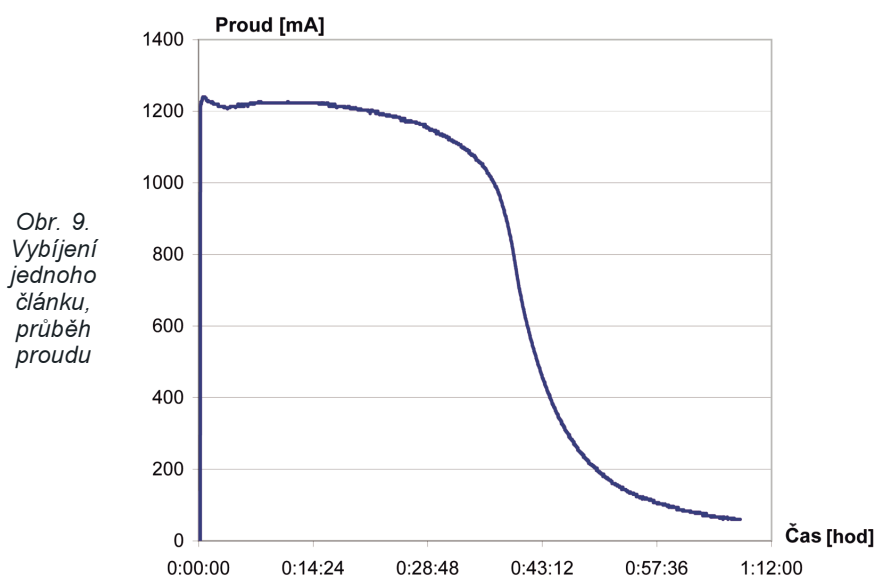
### Použité součástky

#### Hlavní deska

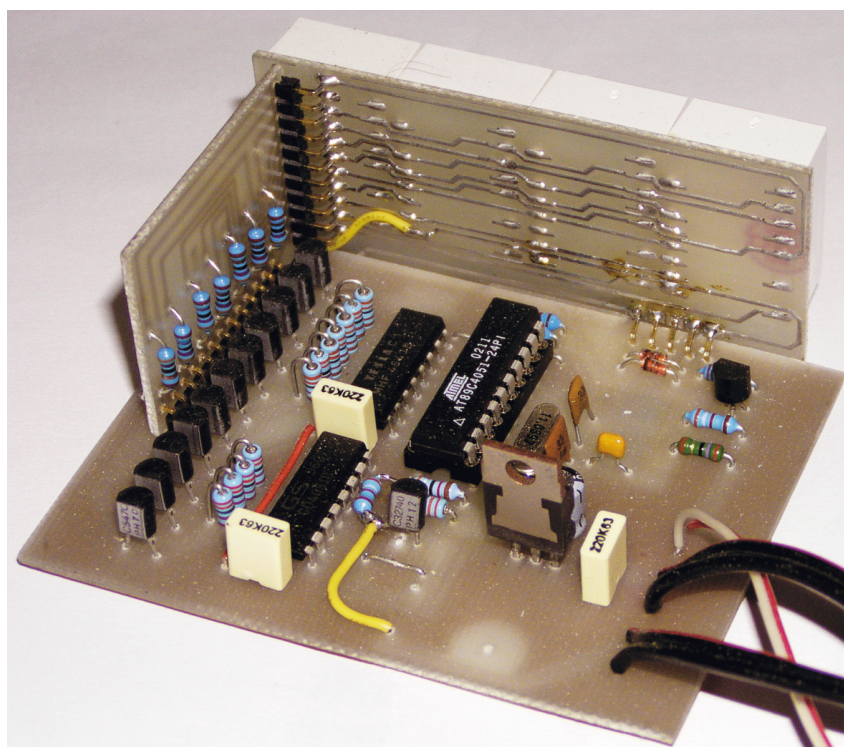
|                                     |                   |
|-------------------------------------|-------------------|
| R1 až R8,                           |                   |
| R15 až R18,                         |                   |
| R20 až R23                          | 1 k $\Omega$      |
| R9                                  | 33 $\Omega$       |
| R10                                 | 10 $\Omega$       |
| R11                                 | nezapojen         |
| R19                                 | 8,2 k $\Omega$    |
| C1, C2, C6, C7, C9                  | 100 nF            |
| C3, C4                              | 33 pF             |
| C5                                  | 4,7 $\mu F/6 V$   |
| C8, C10                             | 100 $\mu F/6 V$   |
| D1, D2                              | 1N4148            |
| IC1                                 | 4051              |
| IC2                                 | 4543              |
| IC3                                 | 89C2051           |
| IC4                                 | 24C64, SO8 úzké   |
| IC5                                 | ADS7822, SO8 úzké |
| IC6                                 | MC7805CT          |
| U1                                  | MC78L05Z, TO92    |
| Q1 až Q7,                           |                   |
| Q13, Q14                            | BC557C            |
| Q8 až Q11                           | BC547             |
| K1, K2, K7 šroubovací svorka do DPS |                   |
| X1                                  | 11,0592 MHz       |

#### Deska displeje

|                                                   |             |
|---------------------------------------------------|-------------|
| R25 až R31                                        | 33 $\Omega$ |
| O1 až O4                                          | MAN8640     |
| UP, DOWN, MEM tlačítka „žabka“                    |             |
| JP20 až JP23 „pinhead“ konektory podle fotografií |             |



Obr. 9. Vybíjení jednoho článku, průběh proudu



# Elektrický ohradník

Roman Wojnar

**Elektrické ohradníky se s úspěchem používají k ohrazení pastvin jak při zemědělské velkovýrobě, tak i u drobných chovatelů. Podle údajů z odborné zemědělské literatury je možné takto ohradit pastviny a výběhy pro zvířata - počínaje hovězím dobytkem, koňmi, přes ovce, kozy, prasata a dokonce i pro slepice a králíky.**

**Dají se také použít i pro ochranu polí před srnčí zvěří nebo divočáky. Podle toho, k čemu je ohradník využíván, se pak použije patřičný počet vodičů a různí se také výška jejich zavěšení.**

## Popis

Základem přístroje je obvod CMOS 40106, což je vlastně šest invertorů se Schmittovým klopným obvodem na vstupu.

Hradla E a D obvodu spolu s rezistorem R3 a kondenzátorem C8 tvoří oscilátor pro měnič napětí sestavený z transformátoru TR1, tranzistorů T1, T2 a rezistorů R4 a R5. Výstupní napětí ze sekundárního vinutí transformátoru TR1 je usměrněno diodami D4 a D5 a nabíjí kondenzátory C4 až C7.

Hradla A a B obvodu spolu s rezistorem R7, kondenzátorem C9 a diodou D7 tvoří opět oscilátor. Říkejme mu taktovací pro spínací obvod, který tvoří rezistory R8 a R9, tranzistor T3 a tyristor TY1. V anodě tyristoru je zapojen vn transformátor napájený napětím z kondenzátorů C4 až C7.

A konečně poslední použité hradlo obvodu IO1, hradlo F, tvoří spolu s rezistorem R6, odporovým trimrem R11 a kondenzátorem C3 jakýsi regulátor výstupního napětí měniče.

Dioda D1 chrání celé zařízení před přepólováním napájecího napětí a také slouží jako usměrňovací, když

použijeme k napájení zařízení jednoduchý síťový adaptér bez usměrňovače s výstupním st napětím asi 10 až 12 V.

Dioda D2 odděluje část obvodu tvořeného rezistorem R2, kondenzátorem C2 a Zenerovou diodou D3, který slouží ke stabilizování napájecího napětí pro integrovaný obvod IO1.

## Činnost zařízení

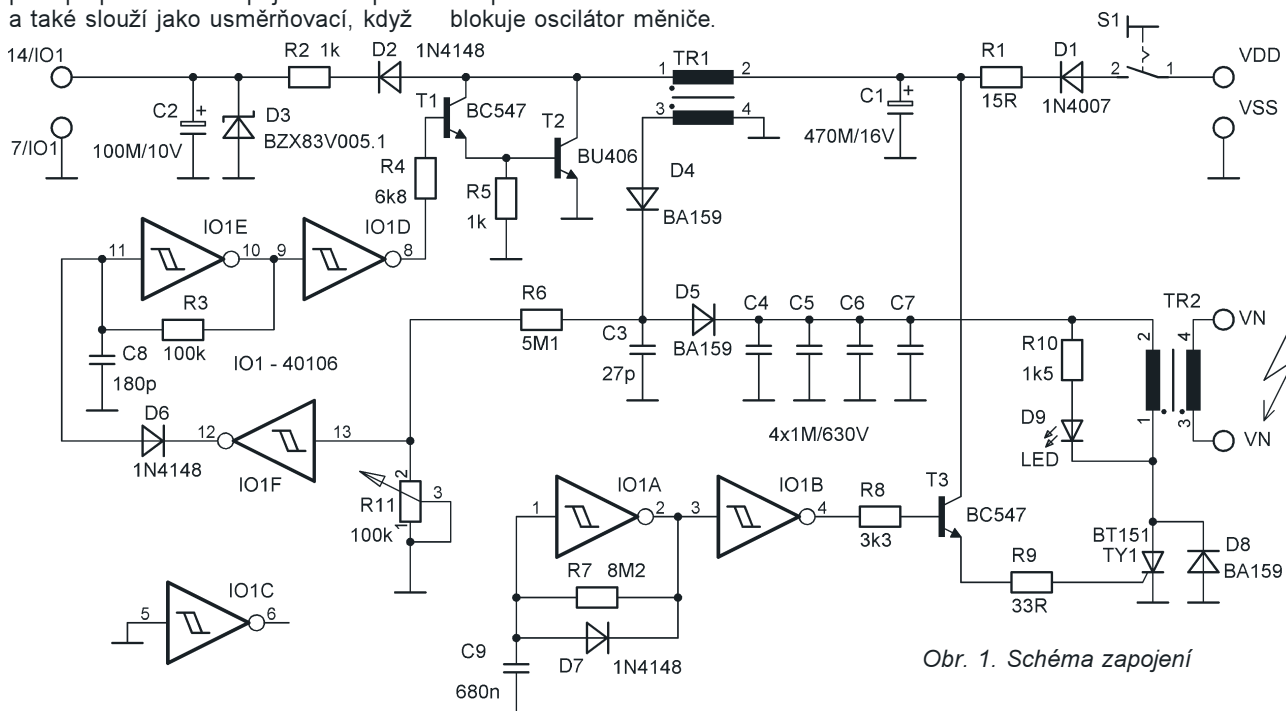
Po zapnutí spínače S1 se rozkmitá oscilátor měniče a začnou se nabíjet kondenzátory C4 až C7 na napětí asi 400 V. Maximální napětí na kondenzátorech lze nastavit odporovým trimrem R11 regulátoru napětí měniče. Ten pracuje tak, že narůstající napětí na kondenzátoru C3 je přivedeno přes dělič R6 a R11 na vstup hradla IO1F. Při dosažení prahové úrovně log. 1 na vstupu hradla se objeví na jeho výstupu log. 0 a ta přes diodu D6 zablokuje oscilátor měniče. Kondenzátory C4 až C7 jsou nabity na námi požadované napětí asi 400 V a „čekají“ na vybití do primárního vinutí vn transformátoru, pak se napětí na C3 přiblíží k nule a hradlo IO1F odblokuje oscilátor měniče.

Současně také se začne nabíjet kondenzátor C9 v obvodu druhého oscilátoru. Hodnoty součástek R7 a C9 určují jeho kmitočet a tím počet výstupních vn impulsů na ohradník. Při uvedených hodnotách je perioda asi 1,2 s, což činí asi 50 impulsů za jednu minutu. Podle odborné chovatelské literatury má být četnost 40 až 60 impulsů za minutu.

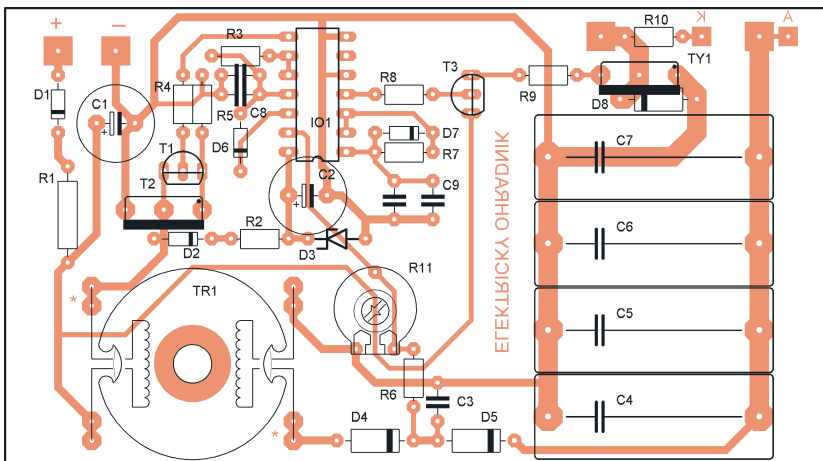
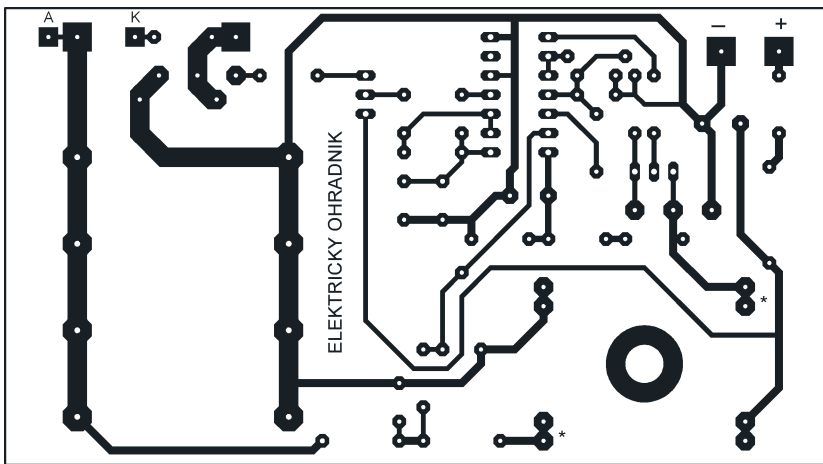
Když dosáhne napětí na kondenzátoru C9 prahové úrovně překlopení Schmittova klopného obvodu invertoru IO1A, objeví se na jeho výstupu log. 0 a na výstupu dalšího invertoru IO1B log. 1. Ta přes rezistor R8 otevře tranzistor a ten zase přes rezistor R9 přivede kladné napětí na řídicí mřížku tyristoru TY1. Ten uzemní jeden konec vn transformátoru TR2, do kterého se vybíjejí kondenzátory C4 až C7, které jsou tou dobou již nabity. Na sekundárním vinutí vn transformátoru se vytvoří vysoké napětí, asi 10 000 V, které se vybije do kondenzátoru, tvořeného drátem ohradníku a půdou, nebo do jiskřiště, které popíší dále. Napětí na kondenzátorech se zmenší na nulu a tak přestane téci udržovací proud tyristorem TY1 a ten se uzavře. Současně se také přes diodu D7 rychle vybije kondenzátor C9 (katoda diody je výstupem hradla IO1A v tom okamžiku přivedena na zem) a celý děj se opakuje.

## Stavba a oživení

Deska s plošnými spoji je svými rozměry určená k vestavbě do plastové krabičky ABB o vnitřních rozměrech 153 x 110 x 66 mm, která je běžně k dostání v prodejnách s elektroinstalačním materiálem. Je v ní umístěna nastojato, u její kratší stěny pomocí vlepených vodičků.



Obr. 1. Schéma zapojení



Obr. 2. Deska s plošnými spoji

Po vyvrtání desky s plošnými spoji ji zkontrolujeme, zda není některý spoj přerušen nebo není někde mezi spoji zkrat. Pro integrovaný obvod je vhodné použít objímku. Při osazování transformátoru TR1 dbáme na správné zapojení začátků vinutí. Na desce s plošnými spoji jsou začátky vinutí označené. Po zapájení všech součástek zkontrolujeme ještě jednou desku, zdali nám někde kapka cínu nevytvořila zkrat.

Nejprve přivedeme napájecí napětí bez osazeného integrovaného obvodu a zkontrolujeme napětí pro něj na Zenerově diodě, musí se pohybovat okolo 5 V. Pak vypneme napájení, osadíme integrovaný obvod a připravíme si jiskřiště. To uděláme tak, že na výstupní svorky vn transformátoru připájíme vodiče z tlustšího měděného drátu a vytvarujeme je tak, aby jejich konce byly od sebe vzdálené asi 5 mm. Před zapnutím napájení ještě nastavíme odporový trimr R11 do jeho pravé krajní polohy a připojíme voltmetr mezi katodu diody D5 a zem. Po zapnutí napájení a při použití kvalitních a proměřených součástek musí zařízení ihned pracovat. Zmenšováním odporu trimru nastavíme napětí na kondenzátorech C4 až C7 na asi 400 V. Již při napětí

okolo 300 V musí začít přeskačovat jiskra na jiskřišti. Dále změříme periodu výbojů (výborně se k tomu hodí digitální stopky s funkcí mezičasu), měla by být v rozmezí od 1 do 1,5 s, což odpovídá 60 až 40 impulsům za minutu. Tímto je oživení dokončeno.

Dále si ještě připravíme krabičku. Vyvrtáme do ní otvory pro spínač S1, šroubové svorky výstupního vn napětí a pro konektor napájecího napětí. Vzdálenost výstupních svorek volíme vzhledem k velikosti napětí na nich, 25 až 30 mm však postačuje. Jiskřiště, které jsme měli při ožívování, musí být i u hotového výrobku. Zhotovíme je tak, že při montáži svorek do krabičky připevníme i ke každé svorce tlustší měděný drát a jeho konce vytvarujeme podobně, jak jsme je měli při ožívování. Vzdálenost „hrotů“ nastavíme takovou, aby bez zatížení vedením ohradníku mezi nimi přeskočila jiskra a při zátěži již ne (z fotografie je patrný způsob jiného provedení jiskřiště). Jiskřiště je v zařízení proto, že za normálního provozu se vysoké napětí vybije do kondenzátoru tvořeného vedením ohrady a půdy, avšak pokud by se nám z nějakého důvodu přerušil spoj k vedení, vysoké napětí by se nemělo kde vybit, a tak by se vybil mezi vinutím trans-

formátoru takto by to transformátor nemusel dlouho vydržet.

Do víka krabičky vyvrtáme ještě díru pro diodu LED.

Do krabičky zasuneme osazenou a oživenou desku s plošnými spoji, připevníme vn transformátor, všechno vzájemně propojíme, krabičku uzavřeme a přístroj je připraven k použití.

## Použité součástky

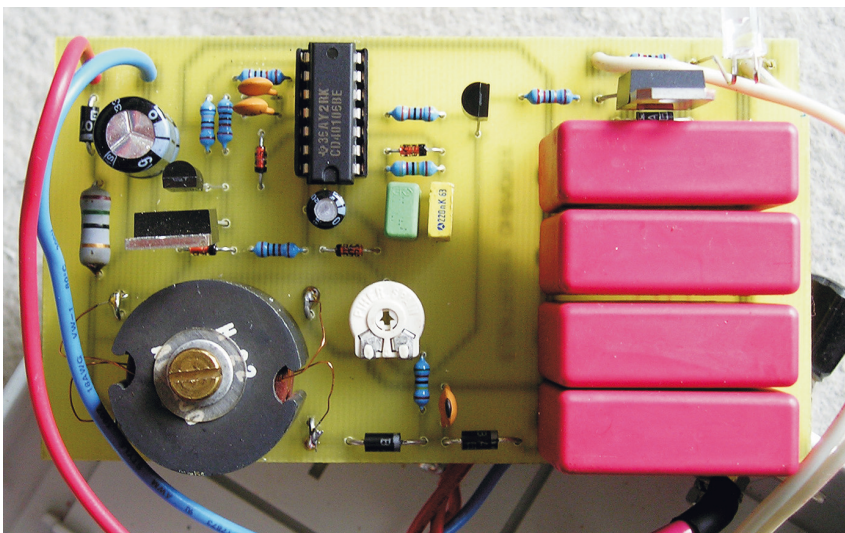
Pokud není uvedeno jinak, jsou použité součástky běžného provedení. Pouze na místě rezistoru R1 je vhodné použít typ s větším dovoleným zatížením. Při výběru kondenzátoru C3 je třeba pamatovat, že za provozu je na něm napětí až 400 V, což však kondenzátory v nabídce GM electronic s označením CK hodnota/ /500 V s rezervou splňují. Totéž platí i pro kondenzátory v nabídce GM electronic, PS electronic a GES. Odporový trimr vzhledem ke spolehlivosti zařízení a při uvážení, za jakých klimatických podmínek má zařízení pracovat, použijeme cermentový. Dioda LED se osvědčila s větší svítivostí, červené barvy a s čirým pouzdrem. Její krátký záblesk je tak výraznější.

Transformátor TR1 měnice je navinut na kostřičce do hrníčkového feritového jádra o průměru 25 mm, z materiálu H22,  $A_L = 4200$ . Primární vinutí tvoří 30 závitů drátem o průměru 0,25 mm. Sekundární vinutí je vinuto drátem o průměru 0,18 mm do plné kostřičky. Vinutí jsou od sebe oddělena izolační páskou.

Jako výstupní transformátor TR2 se osvědčil vn transformátor z BTV Tesla-Rubín. V podstatě vyhovuje jakýkoliv vn transformátor z barevné televize s větší úhlopříčkou (minimálně 55 cm) bez integrovaného násobiče napětí. Tj. vn transformátory např. z BTV Color 416, 424 a typů jim obdobově podobných. Jako primární vinutí je třeba vybrat vinutí, při kterém jiskra při výboji není příliš dlouhá, max. 6 až 8 mm a je „sytá“. Příliš dlouhá a tenká jiskra je k ničemu, výstupní napětí je sice velké, ale nemá žádnou energii. U konkrétního typu, z BTV Tesla-Rubín mi vyšlo jako nejvhodnější primární vinutí mezi svorkami 9 a 11.

Pro přivedení napájení můžeme použít vhodný konektor, to v případě, že zařízení napájíme ze síťového adaptéru. Takový způsob napájení však není vhodný, používáme-li zařízení k napájení ohrad více vzdálených od lidských obydlí, tj. když není





Obr. 3. Fotografie osazené desky přístroje

dostupná elektrická síť. V tomto případě můžeme zařízení napájet z vyřazeného autoakumulátoru. Takový akumulátor nemá dostatečnou kapacitu, aby nastartoval motor, ale k napájení ohradníku, který má impulsní odběr do 250 mA, se výborně hodí. Například akumulátor s kapacitou 40 Ah a při provozu ohradníku 14 až 16 hodin denně nabijím jednou týdně a to určitě má ještě rezervu. Při napájení přístroje z akumulátoru můžeme vyvést vodiče skrz vývodku a ukončit je velkými krokosvorkami (např. K266A SW/RT).

Pro ještě větší univerzálnost lze použít samosvorky, jaké se používají u audio zařízení k připojení reproduktorů.

### Závěr

Vlastní provedení ohrady už nechám na samotném uživateli. Ostatně ve specializovaných prodejnách se zemědělskými a chovatelskými potřebami je vše (tyčky, izolátory, vodiče) k dostání za celkem dostupné ceny. Jenom u srdce celého zařízení můžeme ušetřit řádově tisíce korun, protože podobná zařízení se prodávají za 2000 až 5000 Kč a nás stavba, když použijeme vesměs vždy dobrý vn transformátor z nefunkční televize, vyjde na asi 500 Kč za součástky a materiál.

Ostatně i nové vn transformátory do výše zmiňovaných televizorů se prodávají u specializovaných firem s TV díly za 500 až 600 Kč.

Sám tento přístroj používám již druhou sezónu k napájení ohrady, která má délku 200 m (což je asi 2500 m<sup>2</sup> ohrazené plochy), k plné spokojenosti a bez jediné poruchy za každého počasí. Samozřejmě ne v zimě. Mám vyzkoušené, že ani dvojnásobná délka vedení nijak ne-

zmenší účinnost přístroje. Při provozování je pouze nutné jednou za čas zkontrolovat, nepřerůstá-li tráva do vedení - vznikají tak svody, které zvláště za vlhkého počasí snižují účinnost zařízení.

**Na závěr chci připomenout, že pracujeme s dosti vysokým napětím, které v podobě, jaké je „vyrábíme“, není sice zdravému člověku životu nebezpečné, avšak je dost nepříjemné.**

**Proto nedoporučuji zkoušet, jestli „ohradník funguje“ přímo rukou, avšak dotykem např. přes list nějaké traviny.**

### Seznam součástek

|        |                  |
|--------|------------------|
| R1     | 15 Ω, RR W2 E015 |
| R2, R5 | 1 kΩ             |
| R3     | 100 kΩ           |

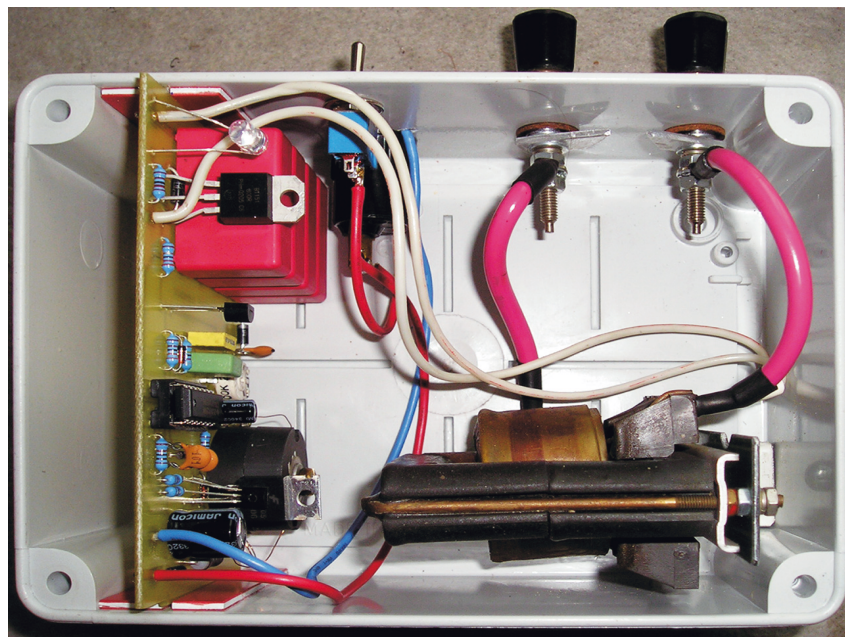
|            |                           |
|------------|---------------------------|
| R4         | 6,8 kΩ                    |
| R5         | 1 kΩ                      |
| R6         | 5,1 MΩ                    |
| R7         | 8,2 MΩ                    |
| R8         | 3,3 kΩ                    |
| R9         | 33 Ω                      |
| R10        | 1,5 kΩ                    |
| R11        | 100 kΩ, PTC10VK100        |
| C1         | 470 μF/16 V               |
| C2         | 100 μF/10 V               |
| C3         | 27 pF, CK 27P/500 V       |
| C4 až C7   | 1 μF/630 V, MKS4 1M 630 V |
| C8         | 180 pF                    |
| C9         | 680 nF, CF1-680N/K        |
| D1         | 1N4007                    |
| D2, D6, D7 | 1N4148                    |
| D3         | BZX83V005.1               |
| D4, D5, D8 | BA159                     |
| D9         | LED (viz text)            |
| T1, T3     | BC547                     |
| T2         | BU406                     |
| TY1        | BT151-800R                |
| IO1        | 40106                     |

Objímka 14 vývodů  
 TR1, TR2 - viz text  
 Krabička ABB 153 x 110 x 66 mm  
 Přístrojové šroubové svorky, 2 ks  
 Jednopolový spínač  
 Konektor - viz text  
 Krokosvorky - např. K266A SW/RT - viz text  
 Reproduktorové samosvorky - viz text

*Označení typu součástek vychází z katalogu GM electronic*

### Použitá literatura

- [1] Jedlička, P.: Přehled obvodů řady CMOS 4000, díl II. 41xx, 43xx, 45xx, 40xxx. Nakladatelství BEN-technická literatura, Praha 1994.  
 [2] Katalog součástek pro elektroniku GM electronic, 2001.



Obr. 4. Fotografie vnitřku přístroje

# Bezdrátové čidlo pohybu

Tomáš Flajzar

Popsaná konstrukce poslouží všude tam, kde potřebujeme krátkodobě střežit nějaký prostor. Souprava je přenosná, napájena bateriemi. Použití je opravdu naprosto všestranné: od hlídání dětí, aby se nedostaly do prostorů, kam nemají, nebo aby neopustily vyhrazený prostor, až po hlídání automobilu u chaty, hlídání zahrady, stanu nebo i pole či vinohradu. A to vše při maximální variabilitě a svobodě pohybu.

Popsána jsou dvě řešení: bezdrátový přenos signálu z pohybových čidel PIR a univerzální bezdrátová signalizace (místo čidel jsou na vstupu vysílače optočleny).

Protože základní konstrukce je kvůli maximální jednoduchosti a spolehlivosti navržena s procesory, uvádím zde i podobné zapojení bez procesorů, aby si na své přišli radioamatéři, kteří se procesorů stále „bojí“ nebo si chtějí provést úpravy podle svých představ.

## Technické údaje

### Vysílač:

Dosah modulu PIR:

90°, vzdálenost asi 5 m.

Dosah vysílač – přijímač: asi 150 m (antény 17 cm, viz text).

Napájení: baterie 9 V (nejlépe alkalická).

Odběr proudu v klidu

1 čidlo PIR: 0,5 mA,

2 čidla PIR: 1 mA,

bez čidla PIR: asi 5 µA.

Odběr proudu při vysílání: asi 4 mA.

Počet adres: 4 (kombinace propojek A0 a A1).

Vysílací výkon: asi 1 mW.

### přijímač:

Napájení: 6 V (4x alkalická mikrotužka AAA).

Odběr proudu v klidu: 3,5 mA.

Odběr proudu při signalizaci: max. 20 mA.

Počet kanálů: 3.

Počet adres: 4 (kombinace propojek A0 a A1).

Další funkce:

- optická i zvuková signalizace,
- hlídání dosahu vysílače,
- kontrola stavu baterie u přijímače.

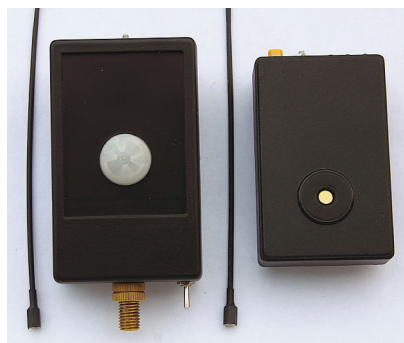
## Popis vysílače

(verze s procesorem a senzory PIR)

Ve vysílači lze použít jak jedno, tak i dvě čidla PIR. Zvažte, pro jaký účel bude signalizace sloužit. Pokud vám stačí hlídat jednu stranu v úhlu asi 90°, postačí vám jedno čidlo, pokud chcete zaznamenat pohyb zepředu i zezadu a omezeně i z boku, použijte dvě. Po oddělení diodami lze připojit i více než dvě čidla PIR. Pokud použijete pouze jeden senzor PIR, oba vstupy propojte (propájením plošek 3 a 6 – viz obr. 2 a 3).

Napájení vysílače je 9 V, proto je na vstupu stabilizátor s malým vlastním příkonem HOLTEK, typ HT1050, který stabilizuje napájení 5 V pro mikroprocesor IO1. Vysílací modul je napájen přímo z 9 V (přes diodu D1), aby bylo dosaženo maximálního výkonu a tím maximálního dosahu. Moduly PIR, i když mají rozsah napájení od 4 do 12 V, napájím také z 5 V, aby byla jejich výstupní logická úroveň přizpůsobena úrovní procesoru.

V klidu je na výstupu čidla (čidel) PIR logická 0, při zaznamenání pohybu se stav výstupu změní na log. 1. Na

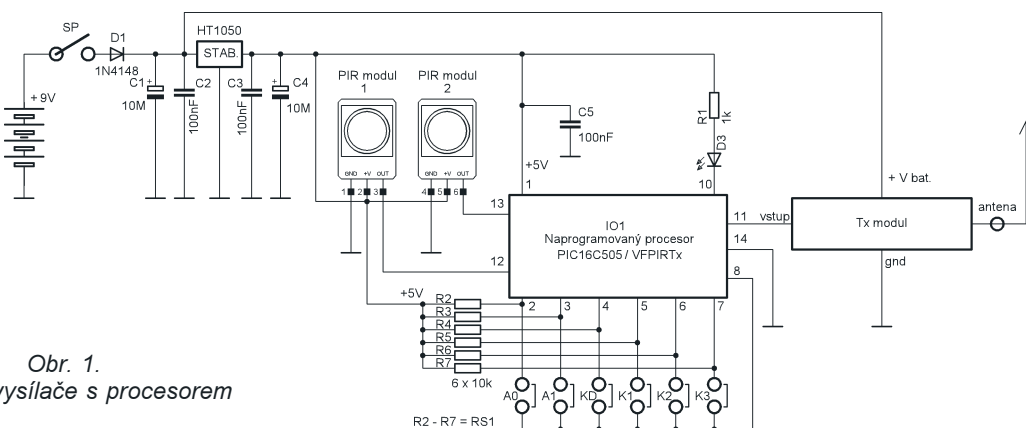


změnu úrovně reaguje procesor, který je do této doby v režimu snížené spotřeby sleep. Jakmile je na vstupu č. 13 nebo 12 zaznamenána změna stavu, ihned se probudí, přečte stav na těchto vstupech, přečte nastavení propojek (A0 až K3) a vyšle odpovídající data do vysílacího modulu. Ten pak na vzdálenost až několika stovek metrů (podle antény) předá informaci přijímači. Propojky mají následující význam:

**A0, A1** (nastavení adresy): těmito propojkami nastavíme adresování celé soupravy skládající se z vysílače a přijímače. Umožní nám používat až čtyři stejné soupravy ve vzájemném dosahu bez ovlivňování jedné druhou. Důležité je, aby v rámci jedné soupravy byly u vysílače a přijímače nastaveny stejné adresy.

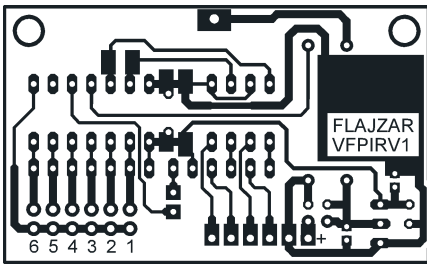
**KD** (kontrola dosahu): propojením této propojky povolíme funkci „Kontrola dosahu“. Vysílač pak každých asi 30 sekund vyšle kontrolní signál přijímači. V případě, že je na vysílači tato funkce také povolena (propojením propojky KD) a vysílač se v těchto kontrolních intervalech neozve, přijímač spustí akustickou signalizaci upozorňující obsluhu na „ztrátu“ vysílače buď vlivem vybité baterie, velké vzdálenosti, nebo prostě krádeže vysílače. Pozor, tato propojka je čtena pouze po resetu, tj. po zapnutí napájení.

**K1, K2, K3** (nastavení kanálu): propojením odpovídající propojky (vždy



Obr. 1.  
Schéma vysílače s procesorem





Obr. 2 a 3. Deska s plošnými spoji vysílače a rozmístění součástek na desce

jen jedné) přiřadíme vysílači přenosový kanál, tj. v případě aktivace bude rozsvěcovat odpovídající LED diodu na přijímači.

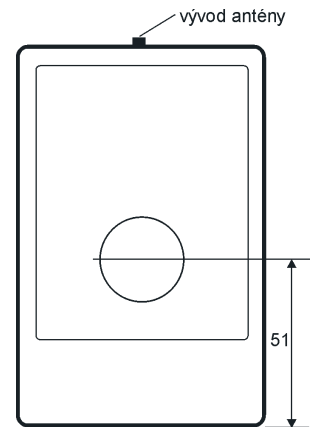
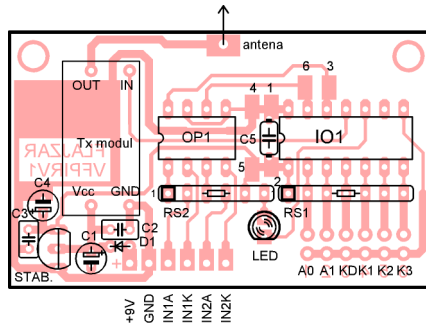
Ve vysílači může být použito jedno nebo dvě čidla. Každé je připojeno k samostatnému vstupu procesoru, aby je nebylo potřeba oddělovat diodami. Vstupy jsou v procesoru programově propojeny.

V napájení je připojena ochranná dioda D1, která zabrání poškození zařízení při přepólování baterie. Mohla být zapojena paralelně k baterii, kde by také splnila ochrannou funkci (jiný typ, dimenzovaný na větší proud) a tím by se nepatrně zvýšilo napájecí napětí pro vf modul, ale vzhledem k tomu, že již nyní je dosah dostatečný, zapojil jsem ji sériově.

Při aktivaci je na okamžik rozsvícena signalizační LED. Nastavovací propojky nejsou uzemněny trvale, ale připojuje se k nim zem z procesoru jen před vysíláním. Je to z důvodů maximální úspory energie. Pokud by totiž propojky byly trvale propojeny na zem, zbytečně by jimi protékal proud přes rezistor 10 kΩ z napájení.

Zapojení je díky mikroprocesoru velmi jednoduché. Nejprve osadte všechny součástky a objímku pro procesor. Čidla zatím nepřipojujte. Po důkladné kontrole připojte napájení 9 V a změřte na vývodech 1 a 14 objímky IO1, zda je zde napětí 5 V. Pokud ano, napájení odpojte a připojte čidla PIR. Vývody z čidel PIR se připájejí na plošky ze strany spojů. Označení plošek je ve schématu a na obrázku rozmístění součástek. Překontrolujte vše a opět připojte napájení. Čidla PIR jsou po zapnutí asi 30 s neaktivní (dávají čas na opuštění prostoru). Po této době si logickou sondou ověřte na vývodech 13 a 12 objímky IO1, zda jsou moduly PIR aktivní (změna logické úrovně z L do H). Pokud je i nyní vše v pořádku, můžete vypnout napájení a vložit procesor. Po zapnutí by nyní mělo vše fungovat, jak má (vysílání, rozsvícení LED při aktivaci).

Výhoda modulů PIR je v jejich spolehlivosti a malé spotřebě. Na druhou stranu nefungují na silném sluníčku. Je třeba je umístit do stínu nebo jinak zastínit. Uvažoval jsem o použití vf detekce pohybu s vysokofrekvenčním čidlem pracujícím na 9 GHz, ale toto čidlo má příliš velký klidový odběr.



Obr. 4. Rozměrový náčrt umístění čidla

Anténa je řešena velmi jednoduše. Postačí pevnější drát o průměru asi 2 mm a délce 17 cm. Lze použít i např. brzdové lanko na kolo, které je velmi pružné a po „obalení“ černou smršťovací bužirkou vypadá téměř jako profi anténa. Drát nebo lanko na konci opatřete malou kuličkou, abyste si nevypíchli oko.

Spínač napájení, který je vzhledem ke spotřebě nutností, není umístěn na desce s plošnými spoji, ale přímo v krabičce. Doporučuji použít malý, nenápadný posuvný přepínač a umístit jej zespodu krabičky. LED jsem ponechal na desce, aby svým blikáním neupozorňovala případného narušitele, že se něco děje. Je možné ji také vyvést a umístit zespodu.

Pro vysílač jsem zvolil krabičku, která je u některých našich prodejců označována KP-20A. Deska s plošnými spoji se přišroubuje do krabičky pomocí horních distančních sloupků. V horní části vyvrtejte díru o průměru 3 mm pro vyvedení antény. Zespodu krabičky je umístěn spínač. Ten je třeba

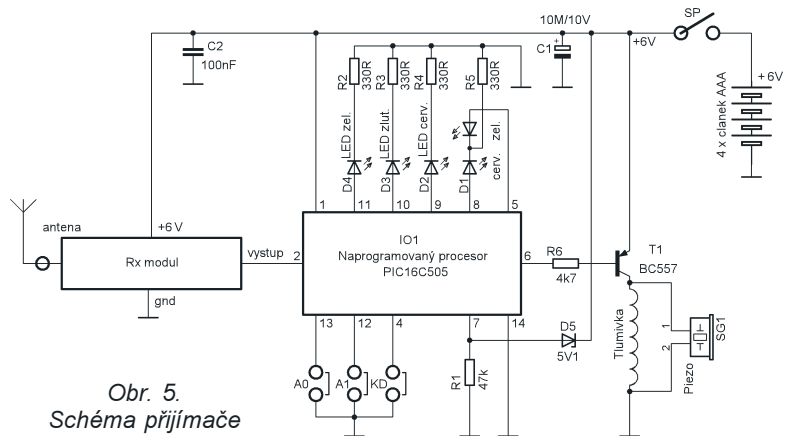
posunout co nejvíce ke kraji, aby nepřekážel baterii 9 V.

V krabičce je třeba ještě udělat otvor(y) pro čidla PIR. V případě, že budeme používat pouze jedno čidlo, umístíme ho zepředu krabičky.

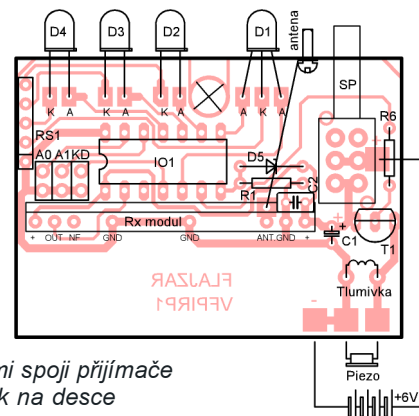
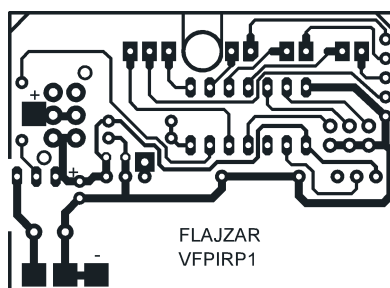
Já jsem umístit zespodu krabičky ještě šroub. Do něj zašroubuji rybářskou teleskopickou vidličku a čidlo tak mohu zapíchnout do země např. na zahradě, ve vinohradě nebo u chaty, když chci pohlídat auto.

### Popis přijímače (verze s procesorem)

Přijímač je díky mikroprocesoru také velmi jednoduchý. Data jsou přijímána modulem Rx firmy AUREL a dále přivedena na vstup mikropro-



Obr. 5. Schéma přijímače s procesorem



Obr. 6 a 7. Deska s plošnými spoji přijímače a rozmístění součástek na desce



cesoru, který je načítá. Po jejich dekódování je zjištěn stav adresových propojek a je aktivován příslušný výstup na LED a kolísavá zvuková signalizace. Přijímač má v klidu větší odběr než vysílač, neboť je neustále aktivní (asi 4 mA). Doporučuji jej tedy napájet alkalickými články. Další funkcí přijímače je kontrola baterie obvodem s rezistorem R1 a Zenerovou diodou D5. Pokud je napětí dostatečné, je ZD otevřena a na vstupu č. 7 procesoru IO1 je logická 1. Jakmile poklesne napětí baterie, změní se na vstupu logická úroveň na 0. Na to reaguje procesor změnou barvy signalizační dvoubarevné diody D1. Ta v případě dobré baterie bliká asi v sekundových intervalech zeleně, v případě slabší baterie bliká červeně a upozorňuje nás, že je třeba články vyměnit.

Kontrola dosahu je u přijímače také povolena propojením propojky KD. Spustí se vnitřní časovač, který je nulován pravidelnými kontrolními sekvencemi od vysílače. Pokud tyto kontrolní sekvence od vysílače nedorazí, čítač se nebude nulovat, přeteče a spustí zvukovou signalizaci „ztráty vysílače“ – táhlý hluboký tón a LED D1 začne blikat „oranžově“ (svítí oba čipy, červený i zelený).

Signalizace na přijímači má paměťovou funkci. Pokud nejsme přítomni a je spuštěn poplach, po ukončení kolísavé zvukové signalizace (trvajících asi 10 s) zůstane blikat odpovídající LED D2 až D4 a občas se přijímač připomene krátkým pípnutím. Zjistíme tak alespoň i se zpožděním, že byl v naší nepřítomnosti vyvolán poplach. Paměťová signalizace se zruší vypnutím a znovuzapnutím přijímače.

Podobné je to i u kontroly dosahu. Pokud byla spuštěna, LED D1 bude blikat „oranžově“ do doby, než to odsouhlasíme vypnutím a zapnutím přijímače.

Přijímač je stejně jako vysílač osazen na jednostranné desce s plošnými spoji. U přijímače osadte všechny součástky a pro procesor použijte opět objímku. Vývody LED jsou vyhnuty o 90° a LED jsou prostrčeny děrami v krabičce, stejně jako spínač. Procesor zatím nezasoubejte do objímky a

po důkladné kontrole připojte napájení. Ověřte činnost LED a činnost přijímacího modulu (logickou sondou – po aktivaci vysílače). Pokud je vše v pořádku, odpojte napájení, zasuňte procesor a znovu napájení připojte. Po nastavení správné adresy (stejně jako ve vysílači) by všechno mělo fungovat.

Přijímač byl navržen do krabičky KM-26N, kam se vejde i se dvěma plastovými držáky článků (po dvou). Anténa může být stejného provedení jako u vysílače. Pokud máte přijímač umístěn stabilně (např. hlídáte auto na parkovišti před domem) a dosah není dostačující, můžete jej prodloužit připojením směrové antény k přijímači. V tomto případě jsem spolehlivě dosáhl vzdálenosti 1 km (volný prostor). S drátovými anténami délky 17 cm je dosah ve volném prostoru zhruba 150 metrů.

### Popis vysílače s optočleny na vstupu (obr. 8)

Dalším možným použitím vysílače je jeho připojení k libovolnému čidlu nebo jinému zdroji napětí, jehož změnu chceme bezdrátově přenášet. Na vstup vysílače se tedy nepřipojí čidla PIR, ale osadí se optočlen OP1, který zabezpečí oddělení procesoru od vnějšího prostředí a tím zabrání jeho zničení. Jakmile je optočlen aktivován přivedením napětí na svorky IN1A, IN1K nebo IN2A, IN2K, je vyslán signál a vyhodnocen přijímačem stejně jako v prvním případě za použití čidel PIR. Vstupy optočlenu jsou odděleny ochrannými rezistory R8, R9 s odporem 1 kΩ, což odpovídá vstupnímu ovládacímu napětí 5 až 15 V. Pokud byste chtěli optočleny ovládat jiným napětím, je třeba tomu přizpůsobit odpor těchto rezistorů. Rezistory R8, R9 jsou spolu s předřadným rezistorem R1 pro signalizační LED součástí rezistorové sítě RS2.

I když je použit dvojitý optočlen, je vysílač vlastně jednokanálový. To znamená, že přeneše jen jeden povel na přijímač, ve kterém rozezná alarmovou signalizaci a rozsvítí odpovídající LED. Oba optočleny tedy mají stej-

nou funkci. Použil jsem dva optočleny pro případ, že bych někdy v budoucnu program přijímače a vysílače upravoval na dvoukanalový přenos.

Praktické využití této signalizace aktivované nějakým vstupním napětím je také velmi široké. Např. již zmíněné hlídání auta na parkovišti před domem, kde vysílač jednoduše napojíme na již vestavěný alarm. Navíc lze zvětšit četnost kontrolních sekvencí (úpravou programu), a i když zloděj nějakým způsobem systém přelstí nebo zastíní, díky kontrole dosahu se to také velmi brzo dozvíme.

Pozor, pro větší spolehlivost procesor reaguje na odpojení napětí od optočlenů, tj. na rozpojení smyčky. Optočleny musí být tedy v klidu pod napětím („rozsvíceny“). Na přání to mohu v programu upravit.

### Popis zapojení bez procesoru – vysílač

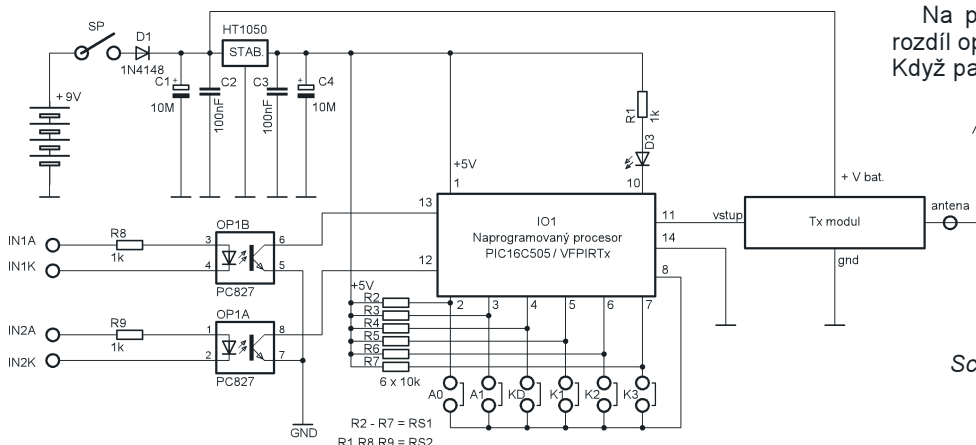
Jak jsem již zmínil v úvodu článku, ne všichni radioamatéři mají kladný vztah k mikroprocesorům a články s těmito obdivuhodnými součástkami přecházejí bez bližšího povšimnutí. Také jsem chtěl ukázat rozdíl ve složitosti a komfortu u podobných zapojení s procesory a bez nich.

Základem vysílače je kodér od firmy HOLTEK HT12E. Není zde potřeba stabilizátor napětí, neboť všechny použité součástky jsou schopny pracovat i na 9 V. Po aktivaci senzoru PIR se na jeho výstupu změní stav z 0 na 1, ten je přes oddělovací diodu a tranzistor T1 negován, protože kodér potřebuje pro spuštění log. 0. Přečte adresové a datové propojky a pošle sekvenci do vysílacího modulu. Rezistor R9 určuje rychlost přenosu dat. Protože využíváme pouze dva adresové vstupy (4 kombinace), je zbývajících 6 uzemněno (piny 4 až 9).

Vysílač ani přijímač s těmito kodéry nemá kontrolu dosahu! Zbývající vlastnosti jsou stejné jako u vysílače s procesorem. Propojka K4, tedy 4. kanál je zatím nevyužita.

### Popis zapojení bez procesoru – přijímač

Na přijímači již zřetelněji vidíme rozdíl oproti konstrukci s procesorem. Když pak ještě uvážíme, že tento při-



Obr. 8. Schéma zapojení vysílače s optočlenem

jímač nemá kontrolu dosahu, stavu baterie a kolísavý alarmový tón (pro doplnění těchto vlastností by bylo nutno přidat minimálně ještě jeden integrovaný obvod a tranzistory), je jasné, proč tak rád pracuji s procesory... Jedna jediná součástka zvládne spoustu funkcí sama s minimálním počtem externích součástek. Nicméně popíšeme si i toto složitější zapojení.

Data jsou zpracována přijímačem a přivedena na vstup dekodéru HOLTEK HT12D. Po dekodování a ověření adresy je aktivován odpovídající datový výstup (ve schématu označeny K1 až K4) a společný výstup VT. Nelze vyhodnocovat pouze datové výstupy, protože na nich zůstává poslední hodnota trvale. Na výstupu VT se změni log. 0 na log. 1 pouze po dobu vysílání. Protože potřebujeme oddělit kanály od sebe, jsou použity tři hradla NOR a jedno další k negaci výstupu VT. Vysvětlíme si to na prvním kanále. V klidu je na vývodu č. 1 hradla IO2A poslední nastavená úroveň, na vývodu č. 2 je log. 1. Jakmile se aktivuje 1. kanál, na vývodu č. 1 je log. 0 a na vývodu č. 2 je také log. 0, takže výsledná logická úroveň na výstupu hradla IO2A je log. 1, tedy kladné napětí. To je propuštěno diodou D1 a nabíjí kondenzátor C4. Na výstupu invertoru IO3A se změni logická úroveň z 1 na 0 a rozsvítí se LED. Zároveň je přes diodu D4 nabit kondenzátor C7. Na invertoru IO3D se změni

logická úroveň z 1 na 0 a odblokuje se oscilátor složený z invertoru IO3E, R8 a C8, který přes další invertor IO3F, R9 a T1 budí tlumivku a piezoměníč. Tím vzniká akustická signalizace. Jakmile vysílač přestane vysílat, kondenzátor C7 je pomalu vybíjen rezistorem R7. Po vybití C7 pod prahovou úroveň se přeplojí výstup hradla IO3B zpět do log. 1, je opět zablokován oscilátor a ukončena zvuková signalizace.

LED stále svítí, neboť kondenzátor C4 je vybíjen rezistorem s větším odporem – 10 MΩ. Po jeho vybití, tj. asi za 10 s, LED zhasíná. Stejně pracují i zbývající dva kanály.

Desky s plošnými spoji nebyly pro tuto složitější konstrukci navrženy. Předpokládám, že větší zájem bude o mikroprocesorové řešení.

### Seznam součástek

(pouze mikroprocesorová verze)

#### Vysílač:

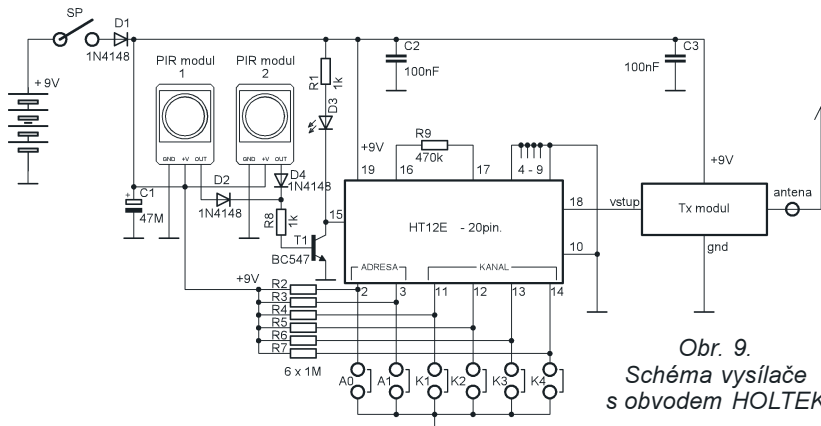
|                |                                                    |
|----------------|----------------------------------------------------|
| R1 až R3 (RS2) | 3x 1 kΩ, rezistor. síť, samostatný vývod           |
| R2 až R7 (RS1) | 6x 10 kΩ, rezistor. síť, společný vývod 10 μF/10 V |
| C1, C4         | 100 nF, rozteč 2,5 mm                              |
| C2, C3, C5     | 100 nF, rozteč 2,5 mm                              |
| D1             | 1N4148                                             |
| STAB.          | HT1050                                             |
| D3             | LED 3 mm, červená                                  |
| IO1            | PIC16C505, naprogramovaný                          |

|          |                                        |
|----------|----------------------------------------|
| Tx       | modul hybridního vysílače RT4 433 MHz  |
| SP       | páčkový nebo posuvný přepínač          |
| A0 až K3 | zkratovací kolíky a propojky (jumpery) |

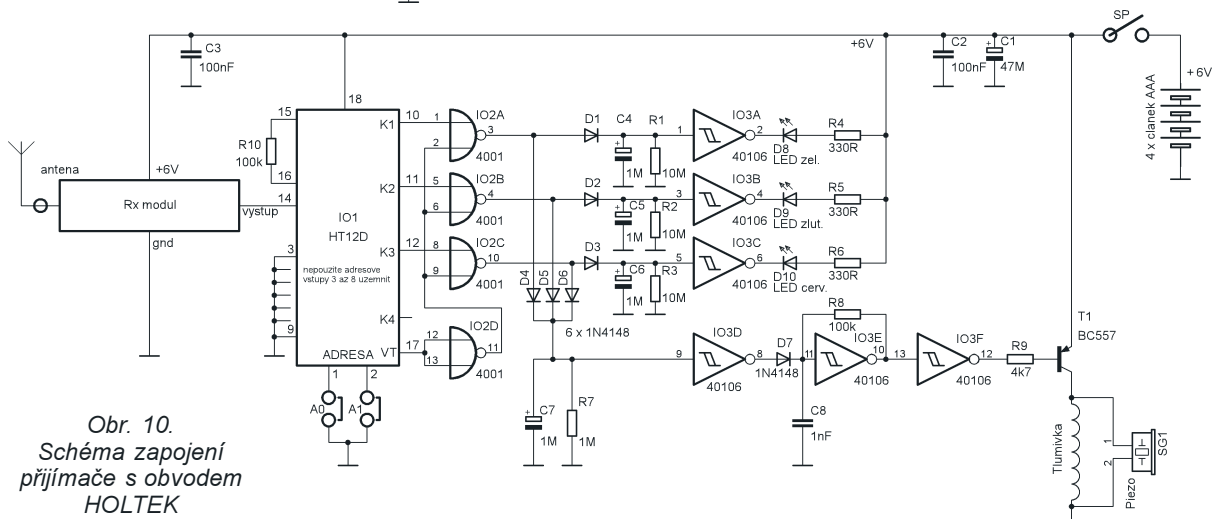
objímka DIL14 pro IO1  
baterie 9 V, nejlépe alkalická  
konektor pro baterii 9 V s vývody  
krabička KP-20A  
drát (lanko) na anténu + smršťovací  
bužírka černá (17 cm)  
modul PIR (moduly)  
deska s plošnými spoji VFPIRV1  
*U verze s optočlenem navíc:*  
OP1A, OP1B optočlen PC827  
objímka DIL8 pro optočlen

#### Přijímač:

|                |                                                                                                                                             |
|----------------|---------------------------------------------------------------------------------------------------------------------------------------------|
| R1             | 47 kΩ                                                                                                                                       |
| R2 až R5 (RS1) | 4x 330 Ω, rezist. síť, společný vývod 4,7 kΩ                                                                                                |
| C1             | 10 μF/10 V                                                                                                                                  |
| C2             | 100 nF                                                                                                                                      |
| D1             | dvoubarevná LED, (č, z), 3 mm                                                                                                               |
| D2             | LED 5 mm, červená                                                                                                                           |
| D3             | LED 5 mm, žlutá                                                                                                                             |
| D4             | LED 5 mm, zelená                                                                                                                            |
| D5             | 5V1, Zenerova dioda                                                                                                                         |
| IO1            | PIC16C505, naprogramovaný BC557 (PNP) radiální, 33 mH zkratovací kolíky a propojky (jumpery) PE2060W                                        |
| T1             | tlumivka                                                                                                                                    |
| A0 až KD       | 4x alkalický článek AAA (mikrotužka) držák článků                                                                                           |
| piezoměníč     | krabička KM-26N + klips                                                                                                                     |
| Rx             | drát (lanko) na anténu + smršťovací bužírka černá (17 cm)                                                                                   |
| SP             | deska s plošnými spoji VFPIRV1                                                                                                              |
|                | Stavebnici si můžete objednat na adrese FLAJZAR, Hlinická 262, 696 42 Vracov, tel.: 518 628 596, e-mail: flajzar@flajzar.cz, www.flajzar.cz |



Obr. 9.  
Schéma vysílače s obvodem HOLTEK



Obr. 10.  
Schéma zapojení přijímače s obvodem HOLTEK

# Regulace DC motoru pomocí PWM

Jan Aišman

Toto zapojení vzniklo na požadavek známého, který potřeboval ovládat rychlost a směr pohybu předmětů zavěšených na řetězu ve stříkacím boxu určeném pro nanášení práškové barvy a při následném vypálení ve vypalovací peci.

Stejnosemý sériový motor 24 V/100 W s převodem asi 1 : 100 je ovládán pouze jedním potenciometrem, který slouží současně pro zapnutí, regulaci rychlosti a změnu směru posuvu uvedeného řetězu. Tento způsob regulace je samozřejmě možné použít i pro jiné aplikace - například pohon medometu pro včelaře, pohon motorků pro modeláře apod.

## Popis zapojení PWM drive SC

Stejnosemý sériový motor je zapojen do úhlopříčky můstku složeného ze 4 výkonových tranzistorů. Při nastavení ovládacího potenciometru do střední (nulové) polohy jsou všechny 4 tranzistory uzavřeny. Při otáčení potenciometru na jednu nebo na druhou stranu ze střední polohy sepne jeden z tranzistorů ve spodní části můstku a druhý úhlopříčně v horní polovině můstku je řízen šířkově modulovanými pulsy. Tím je umožněno

řízení rychlosti otáčení a zároveň reverzace motoru.

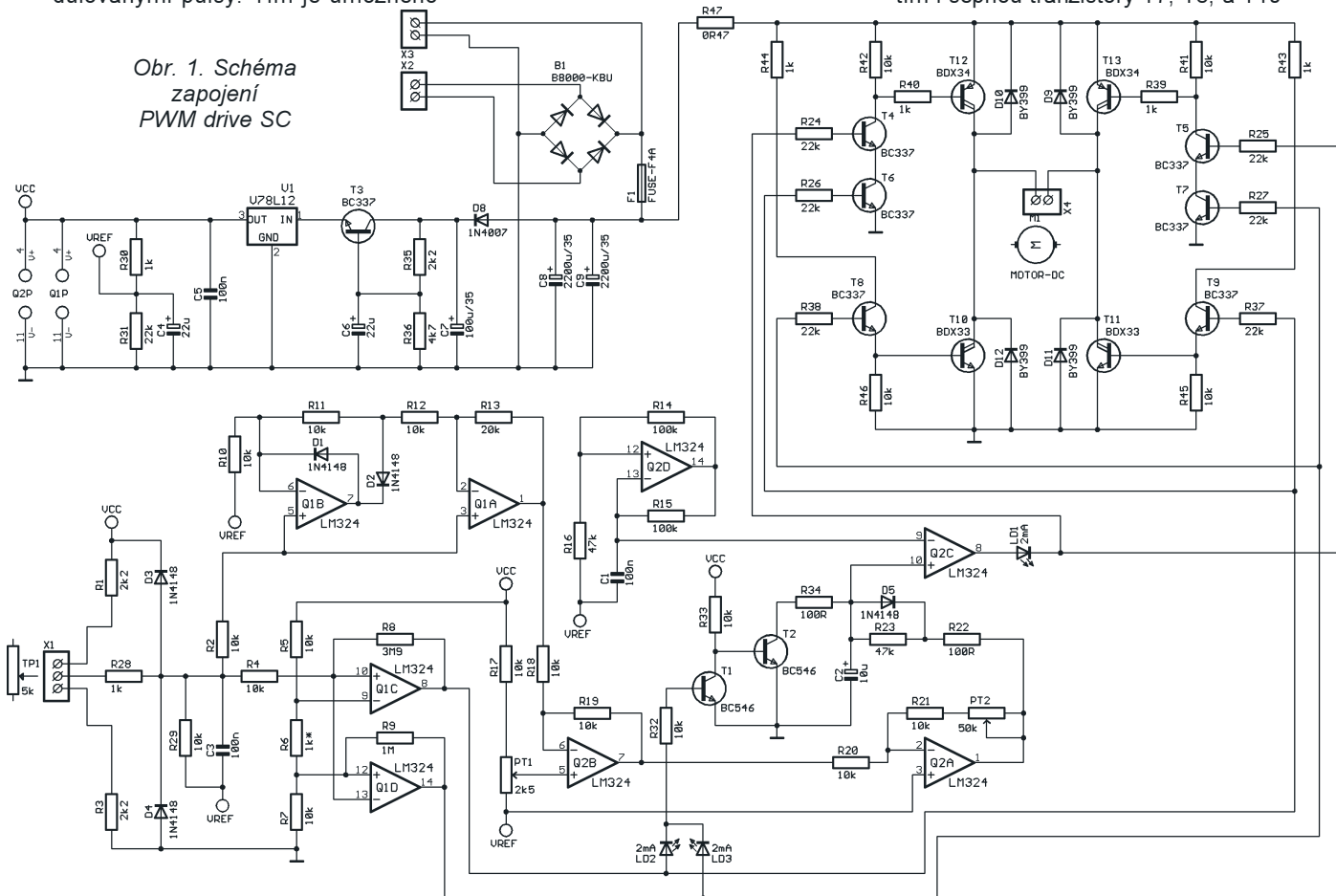
Zařízení může být napájeno z transformátoru 230 V/24 V přes konektor X2 nebo ze zdroje stejnosměrného napětí přes konektor X3. Jištění uskutečňuje pojistka F1. Kondenzátory C9 a C10 jsou filtrační. Hodnoty těchto součástek volíme podle předpokládaného odběru proudu. Dále je stejnosměrné napětí přes diodu D8 přivedeno na další filtrační kondenzátor C8 a dále na obvod T3, C7, R35, R36, který zajišťuje, aby se na stabilizátor V1 nedostalo napětí větší než

35 V, které je maximální pro tento obvod. Dělič napětí R30 a R31 vytváří umělý střed napájení OZ. V případě, že použijeme napájecí napětí nižší než 24 V, můžeme obvod T3, C7, R35, R36 vypustit a T3 nahradit drátovou propojkou. Použijeme-li pro napájení stejnosměrně stabilizované napětí v rozsahu asi 6 až 24 V, můžeme vypustit kondenzátory C6, C7, C8 a C9, rezistory R35, R36, diodu D8, tranzistor T3 a stabilizátor V1. Diodu D8, tranzistor T3 a stabilizátor V1 nahradíme drátovou propojkou.

A nyní popis vlastního regulátoru. Potenciometr regulace TP1 je umístěn externě přes svorkovnici X1, rezistory R1 a R3 omezují rozsah regulačního napětí, aby na vstupech OZ Q1 ne nastala saturace. Rezistory R28 a diody D3, D4 a kondenzátor C3 mají pouze ochrannou funkci. Rezistor R29 zajišťuje nulové napětí na vstupech OZ Q1 při odpojení potenciometru TP1 nebo při jeho poruše.

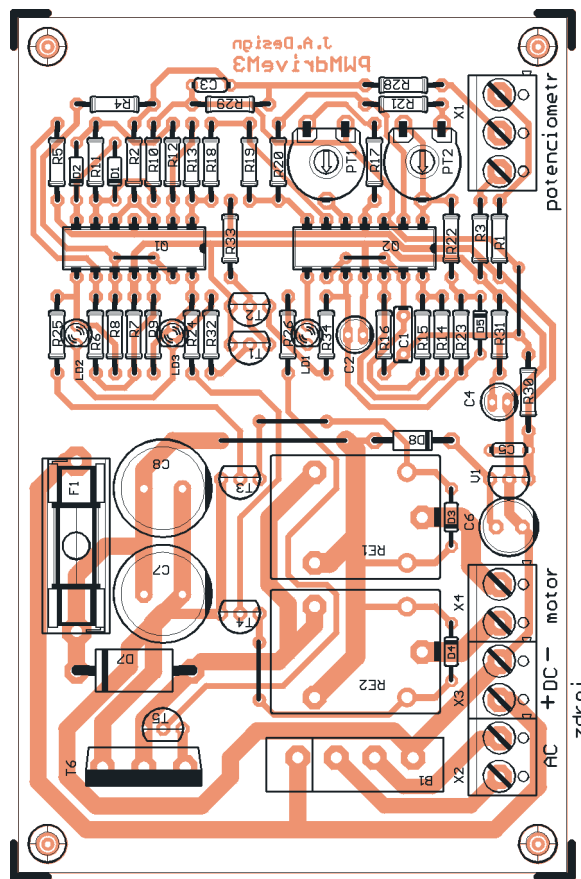
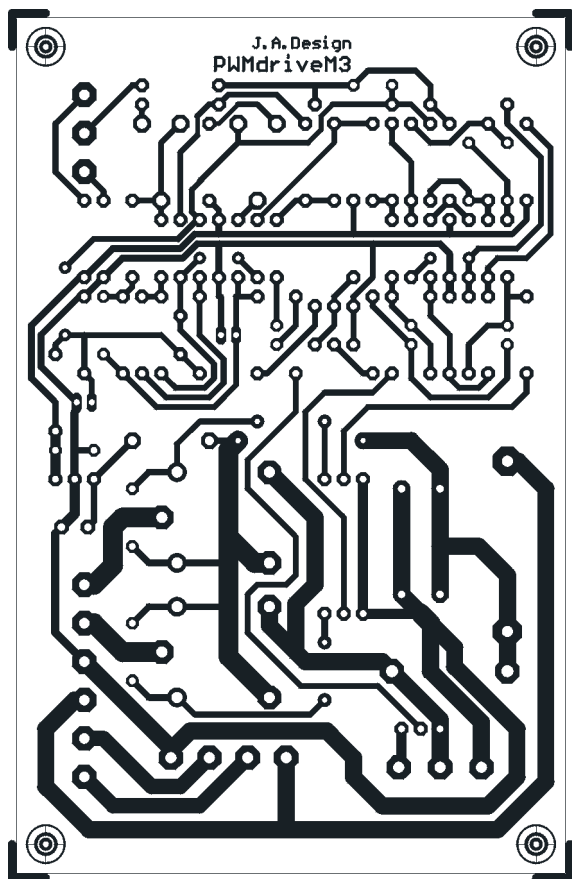
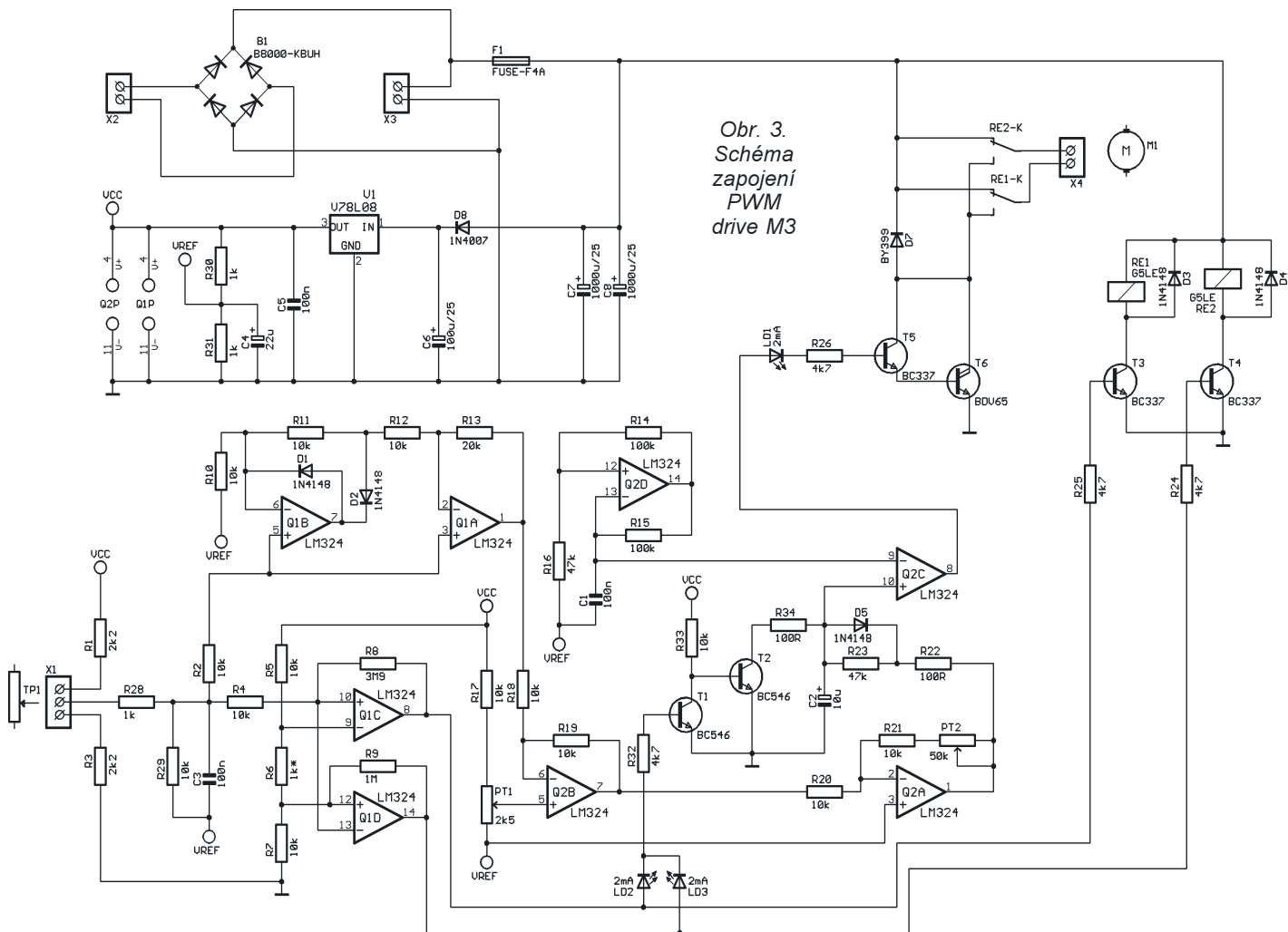
OZ Q1C a Q1D pracují jako komparátory napětí s hysterezí a podle polohy potenciometru TP1 určují, který z tranzistorů v můstku pro řízení motoru bude sepnut. V určitém rozsahu okolo střední polohy potenciometru TP1 daném hysterezí Q1C a Q1D není sepnut žádný. Při otočení potenciometru na jednu nebo na druhou stranu ze střední polohy se překlápí komparátory Q1C nebo Q1D a tím i sepnou tranzistory T7, T8, a T10

Obr. 1. Schéma zapojení PWM drive SC









Obr. 4. Deska s plošnými spoji PWM drive M3

v podstatě naprázdno). Při trvale velkých proudcích bude potřeba použít chladič přiměřeně větší a připevnit na něj i usměrňovací můstek B1. Potenciometr regulace otáček je vhodné použít se středním klikem pro zajištění nulové polohy.

### Seznam součástek SC

|     |                    |
|-----|--------------------|
| R1  | 2,2 kΩ             |
| R2  | 10 kΩ              |
| R3  | 2,2 kΩ             |
| R4  | 10 kΩ              |
| R5  | 10 kΩ              |
| R6  | 1 kΩ               |
| R7  | 10 kΩ              |
| R8  | 3,9 MΩ             |
| R9  | 1 MΩ               |
| R10 | 10 kΩ              |
| R11 | 10 kΩ              |
| R12 | 10 kΩ              |
| R13 | 20 kΩ              |
| R14 | 100 kΩ             |
| R15 | 100 kΩ             |
| R16 | 47 kΩ              |
| R17 | 10 kΩ              |
| R18 | 10 kΩ              |
| R19 | 10 kΩ              |
| R20 | 10 kΩ              |
| R21 | 10 kΩ              |
| R22 | 100 Ω              |
| R23 | 47 kΩ              |
| R24 | 22 kΩ              |
| R25 | 22 kΩ              |
| R26 | 22 kΩ              |
| R27 | 22 kΩ              |
| R28 | 1 kΩ               |
| R29 | 10 kΩ              |
| R30 | 1 kΩ               |
| R31 | 22 kΩ              |
| R32 | 10 kΩ              |
| R33 | 10 kΩ              |
| R34 | 100 Ω              |
| R35 | 2,2 kΩ             |
| R36 | 4,7 kΩ             |
| R37 | 22 kΩ              |
| R38 | 22 kΩ              |
| R39 | 1 kΩ               |
| R40 | 1 kΩ               |
| R41 | 10 kΩ              |
| R42 | 10 kΩ              |
| R43 | 1 kΩ               |
| R44 | 1 kΩ               |
| R45 | 10 kΩ              |
| R46 | 10 kΩ              |
| R47 | 0,47 Ω             |
| PT1 | 2,5 kΩ, trimr-PT10 |
| PT2 | 50 kΩ, trimr-PT11  |
| TP1 | 10 kΩ/N            |
| C1  | 100 nF, keram.     |
| C2  | 10 μF/50 V         |
| C3  | 100 nF, keram.     |
| C4  | 22 μF/50 V         |
| C5  | 100 nF, keram.     |
| C6  | 22 μF/50 V         |
| C7  | 100 μF/35 V        |
| C8  | 2200 μF/35 V       |
| C9  | 2200 μF/35 V       |
| B1  | B8000-KBUH 8 A     |
| D1  | 1N4148             |
| D2  | 1N4148             |
| D3  | 1N4148             |

|     |                                           |
|-----|-------------------------------------------|
| D4  | 1N4148                                    |
| D5  | 1N4148                                    |
| D8  | 1N4148                                    |
| D9  | BY399, rychlá                             |
| D10 | BY399, rychlá                             |
| D11 | BY399, rychlá                             |
| D12 | BY399, rychlá                             |
| LD1 | LED, 2 mA                                 |
| LD2 | LED, 2 mA                                 |
| LD3 | LED, 2 mA                                 |
| T1  | BC546                                     |
| T2  | BC546                                     |
| T3  | BC337                                     |
| T4  | BC337                                     |
| T5  | BC337                                     |
| T6  | BC337                                     |
| T7  | BC337                                     |
| T8  | BC337                                     |
| T9  | BC337                                     |
| T10 | BDX33                                     |
| T11 | BDX33                                     |
| T12 | BDX34                                     |
| T13 | BDX34                                     |
| V1  | V78L12                                    |
| Q1  | LM324                                     |
| Q2  | LM324                                     |
| X1  | ARK120-3 svorkovnice šroubovací, 3 vývody |
| X2  | ARK120-2 svorkovnice šroubovací, 2 vývody |
| X3  | ARK120-2 svorkovnice šroubovací, 2 vývody |
| X4  | ARK120-2 svorkovnice šroubovací, 2 vývody |
| F1  | pojistka + pojistkový držák               |

### Další varianta: PWM drive M3

Tento regulátor byl navržen ještě ve variantě s použitím pouze jednoho spínacího tranzistoru a dvou relé. Princip regulace je zcela stejný, pouze pro zajištění reverzace motoru není použito můstkové zapojení tranzistorů, ale zmíněná dvě relé. Není třeba mít obavy z opalování kontaktů relé, protože ta přepínají pouze při nulové šířce řídicích pulsů a s časovou prodlevou při reverzaci. Uvedený výkonný tranzistor je možné nahradit jiným typem nebo při drobné změně zapojení tranzistorem FET (například IRF520). Střídavé napájení tohoto regulátoru bylo navrženo 12 V (na konektoru X3) nebo stejnosměrné (na konektoru X2). Tomu jsou přizpůsobena relé na 12 V. Můžeme samozřejmě použít napětí vyšší nebo i nižší, jak bylo uvedeno výše. Vzhledem k tomu, že zde není použit obvod pro snížení vstupního napětí stabilizátoru V1, jako u varianty s můstkovým zapojením tranzistorů, by napájecí st napětí mělo být maximálně asi 30 V nebo ss asi 20 V tak, aby napětí na stabilizátoru V1 nepřesáhlo jeho maximální vstupní napětí 35 V. Tomuto napětí pak musíme přizpůsobit obě relé.

### Seznam součástek M3

|    |        |
|----|--------|
| R1 | 2,2 kΩ |
| R2 | 10 kΩ  |

|     |                                           |
|-----|-------------------------------------------|
| R3  | 2,2 kΩ                                    |
| R4  | 10 kΩ                                     |
| R5  | 10 kΩ                                     |
| R6  | 1 kΩ                                      |
| R7  | 10 kΩ                                     |
| R8  | 3,9 MΩ                                    |
| R9  | 1 MΩ                                      |
| R10 | 10 kΩ                                     |
| R11 | 10 kΩ                                     |
| R12 | 10 kΩ                                     |
| R13 | 20 kΩ                                     |
| R14 | 100 kΩ                                    |
| R15 | 100 kΩ                                    |
| R16 | 47 kΩ                                     |
| R17 | 10 kΩ                                     |
| R18 | 10 kΩ                                     |
| R19 | 10 kΩ                                     |
| R20 | 10 kΩ                                     |
| R21 | 10 kΩ                                     |
| R22 | 100 Ω                                     |
| R23 | 47 kΩ                                     |
| R24 | 4,7 kΩ                                    |
| R25 | 4,7 kΩ                                    |
| R26 | 4,7 kΩ                                    |
| R28 | 1 kΩ                                      |
| R29 | 10 kΩ                                     |
| R30 | 1 kΩ                                      |
| R31 | 1 kΩ                                      |
| R32 | 4,7 kΩ                                    |
| R33 | 10 kΩ                                     |
| R34 | 100 Ω                                     |
| PT1 | 2,5 kΩ, trimr-PT10                        |
| PT2 | 50 kΩ, trimr-PT11                         |
| TP1 | 10 kΩ/N                                   |
| C1  | 100 nF, keram.                            |
| C2  | 10 μF/50 V                                |
| C3  | 100 nF, keram.                            |
| C4  | 22 μF/50 V                                |
| C5  | 100 nF, keram.                            |
| C6  | 100 μF/25 V                               |
| C7  | 1000 μF/25 V                              |
| C8  | 1000 μF/25 V                              |
| B1  | B8000-KBUH 8A                             |
| D1  | 1N4148                                    |
| D2  | 1N4148                                    |
| D3  | 1N4148                                    |
| D4  | 1N4148                                    |
| D5  | 1N4148                                    |
| D7  | BY399, rychlá                             |
| D8  | 1N4007                                    |
| LD1 | LED, 2 mA                                 |
| LD2 | LED, 2 mA                                 |
| LD3 | LED, 2 mA                                 |
| T1  | BC546                                     |
| T2  | BC546                                     |
| T3  | BC337                                     |
| T4  | BC337                                     |
| T5  | BC337                                     |
| T6  | BDV65                                     |
| V1  | V78L08                                    |
| Q1  | LM324                                     |
| Q2  | LM324                                     |
| RE1 | G5LE relé - viz text                      |
| RE2 | G5LE relé - viz text                      |
| X1  | ARK120-3 svorkovnice šroubovací, 3 vývody |
| X2  | ARK120-2 svorkovnice šroubovací, 2 vývody |
| X3  | ARK120-2 svorkovnice šroubovací, 2 vývody |
| X4  | ARK120-2 svorkovnice šroubovací, 2 vývody |
| F1  | pojistka + pojistkový držák               |



# Analogový multimetr YX1000A

Vlastimil Píč

Během zahraniční stáže jsem zakoupil levný ručkový multimetr YX1000A. V následujícím textu předkládám informace o tomto přístroji a přikládám postup pro úpravu jeho napěťového rozsahu. Zapojení je pro tuto třídu typické a může být i inspirací pro konstrukci jednoduchého amatérského měřicího přístroje.

## Technické parametry

Rozsahy: 12 a poloha vypnuto.  
 Stejnoseměrné napětí: 10, 50, 250, 500 V.  
 Střídavé napětí: 10, 50, 250, 500 V.  
 Stejnoseměrný proud: 0,5, 50, 250 mA.  
 Odpor: 10 Ω až 1000 kΩ (5 kΩ ve středu stupnice).  
 Decibely: -20 až +22 dB.  
 Citlivost: 2 kΩ/V.  
 Ochrana: pojistka F 500 mA a diody.

## Popis

Plastová krabička tohoto analogového multimetru (obr. 1) má rozměry 90 x 60 x 30 mm. Na přední straně multimetru (v horní polovině) je průhledný kryt se stupnicí magnetoelektrického ručkového systému. Ve spodní polovině je 13polohový přepínač pro volbu měřeného rozsahu a dvě zdířky pro měřicí hroty.

Po odejmutí zadního krytu, přichyceného jedním šroubkem, je přístupná elektronika měřidla a prostor pro

„tužkovou“ baterii 1,5 V (obr. 2). Baterie je nutná pouze pro měření odporu. Na desce s jednostranným plošným spojem je osazeno vše mimo magnetoelektrický ručkový systém – jednoduchá elektronika, zdířky, potenciometr pro nastavení nuly ohmmetru, trimr, kontaktní plíšky k baterii a držák s trubičkovou pojistkou. Deska má na straně spojů i kontakty 13polohového přepínače. Přepínač je velmi jednoduchý – plechové raménko se dvěma kontaktními ploškami v ose, připevněné na plastový knoflík s aretující kuličkou. Elektronika multimetru je chráněna přístrojovou pojistkou F1 a křemíkovými diodami D1, D2. Diody jsou však zapojeny tak, že chrání magnetoelektrický systém proti přepětí pouze jedné polarity.

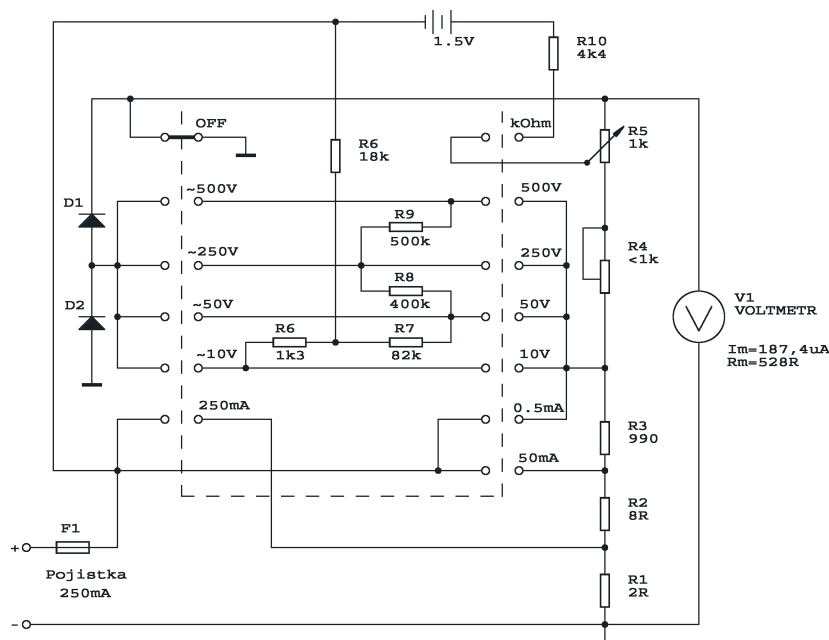
Dodávané měřicí hroty (červený a černý) s přívodními kablíky mají koncovky do panelu opatřené přesouvacím pouzdem na pružince. Pouzdro má asi zamezit náhodnému kontaktu při vytažení koncovky z měřicího přístroje, což by se mohlo stát například při pádu přístroje během měření. Sil-



Obr. 1. Multimetr YX1000A s měřícím hrotem



Obr. 2. Pohled pod zadní panel



Obr. 3. Schéma multimetru YX1000A

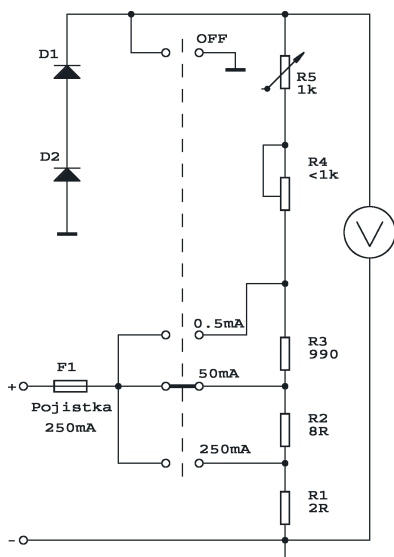
ná pružinka však způsobuje vysouvání koncovky ze zdířky multimetru během měření. Pouzdro lze aretovat jeho pootočením a kovový kolík koncovky pak zůstane nekrytý.

Schéma vnitřního zapojení přístroje je na obr. 3. Rezistor R3 má odpor 1 kΩ, údaj 990 Ω na desce s plošnými spoji je pouze teoretický.

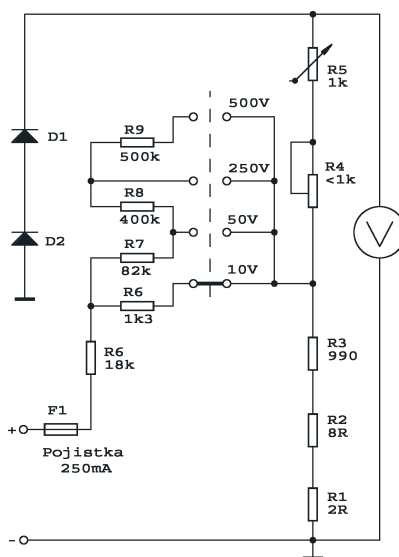
Udávaná přesnost při měření je  $\pm 4$  až  $\pm 5$  %. Uváděný údaj jsem neměl možnost ověřit. Pro srovnání lze uvést, že  $3\frac{1}{2}$  místný digitální ampérmetr má udávanou přesnost 1 %.

Jádrum multimetru je magnetoelektrický ručkový systém s odporem vnitřní 528 Ω a proudem pro plnou výchylku  $I_M = 187,4 \mu A$  ( $U_M = 98,9 mV$ ).

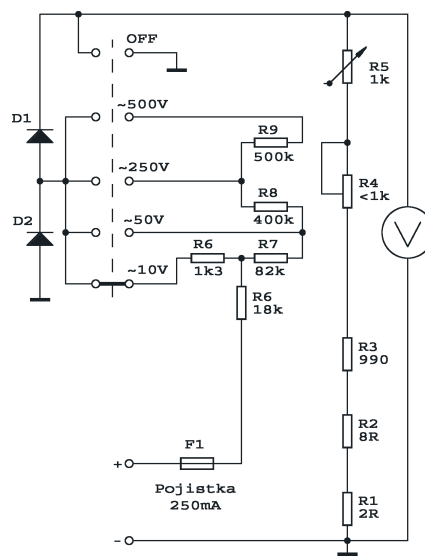
Všechny rezistory mají jmenovitý ztrátový výkon 0,125 W. Diody jsou typu 1N1448.



Obr. 4. Část zapojení multimetru pro měření stejnosměrného proudu



Obr. 5. Část zapojení multimetru pro měření stejnosměrného napětí



Obr. 6. Část zapojení multimetru pro měření střídavého napětí

### Proud stejnosměrný

Stejný proud lze měřit ve třech rozsazích: 0,5 mA, 50 mA a 250 mA. Proud prochází pojistkou, bočnickem (R1, R1 + R2 nebo R1 + R2 + R3) a jeho odpovídající část přes rezistory, trimr a potenciometr do měřicího systému. Jím lze dostavit přesně maximální výchylku. Odpovídající část zapojení z obr. 3 je na obr. 4.

### Napětí stejnosměrné (DCV)

Při měření stejnosměrného napětí se na jednotlivých rozsazích skládají předřadné rezistory.

Vstupní odpor voltmetru je 2 kΩ na každý volt zvoleného rozsahu. Na rozsahu 50 V má tedy multimetr vstupní odpor přibližně

$R_v = 50 \text{ V} \cdot 2 \text{ k}\Omega/\text{V} = 100 \text{ k}\Omega$ , což souhlasí s naměřeným údajem v tabulce 2.

### Napětí střídavé (ACV)

Stupnice je cejchovaná ve voltech i v decibelech [dB]. Pro přepočítání napětí ve voltech na dB platí následující vztah

$$L = 20 \log(U/U_0) = 20 \log(U) + 2,2 \quad [\text{dB}]$$

$U_0 = 0,7745 \text{ V}$  je referenční napětí, při kterém je výkonová ztráta na zátěži  $R_0 = 600 \Omega$  právě  $P = 1 \text{ mW}$ .

$$U_0 = \sqrt{P \cdot R_0} \quad [\text{V}; \text{W}; \Omega]$$

Přepnutím na jiný napěťový rozsah je třeba k naměřenému údaji přičíst konstantu z tabulky, která je na stupnici (viz tab. 1).

### Odpor

Jedna poloha přepínače je vyhrazena pro měření odporu v rozsahu 0 až 200 kΩ.

Odpor s velikostí do 2 kΩ lze odečíst s přesností  $\pm 100 \Omega$ . Větší odpory pak s přesností  $\pm 250 \text{ k}\Omega$ . Měřený jednobran (součástka) je zatížen proudem maximálně 308  $\mu\text{A}$  při napětí tužkového článku 1,6 V. Polarita tohoto proudu nesouhlasí se značenou polaritou zdířek na panelu.

Rozhodně nedoporučuji přepínat rozsahy při připojeném multimetru do měřeného obvodu. Mezi kontaktními ploškami přepínače u rozsahů kΩ a ~500 V je na desce veden spoj. Ten je sice pokrytý lakem nepájivě masky, ale při větších napětích se tato izolace prorazí nebo prodře a na desce vyjiskří svod.

### Změna rozsahu voltmetru

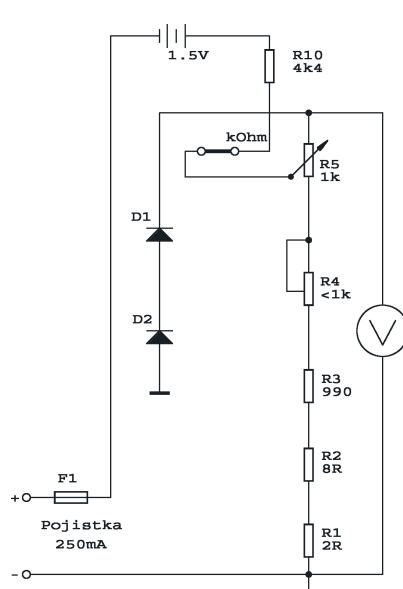
Pro některá měření může být nabízená škála napěťových rozsahů nevyhovující. Připojením předřadného rezistoru lze získat nový napěťový rozsah. Multimetr je přepnut na proudový rozsah  $I_m = 0,5 \text{ mA}$  (DCA plná výchylka), při němž je vstupní odpor  $R_v = 681 \Omega$  (tab. 2).

Tab. 1. Tabulka konstant rozsahů

| Rozsah ACV | Konstanta [dB] |
|------------|----------------|
| 10 V       | 0              |
| 50 V       | 14             |
| 250 V      | 28             |
| 500 V      | 35             |

Tab. 2. Vnitřní odpor multimetru pro jednotlivé rozsahy. Odpor měřený digitálním ohmmetrem mezi měřicími hroty multimetru

| Rozsah | $R_v$ [kΩ]                               |
|--------|------------------------------------------|
| DCV    |                                          |
| 10 V   | 20,0                                     |
| 50 V   | 101,5                                    |
| 250 V  | 505,0                                    |
| 500 V  | 1014,0                                   |
| DCA    |                                          |
| 0,5 mA | 0,681                                    |
| 50 mA  | 0,011                                    |
| 250 mA | 0,0024                                   |
| ACV    |                                          |
| 10 V   | 800,0                                    |
| 50 V   | 846,0                                    |
| 250 V  | 979,0                                    |
| 500 V  | 1016,0                                   |
| kΩ     | $I = 308 \mu\text{A}, U = 1,6 \text{ V}$ |



Obr. 7. Část zapojení multimetru pro měření odporu

Odpor předřadného rezistoru  $R_x$  pro maximální měřené napětí  $U_v$  je určen vztahem

$$R_x = U_v / I_m - R_v \quad [\Omega; \text{V}, \text{A}, \Omega]$$

Tab. 3. Odporů předřadníků

| $U_v$ [V] | $R_x$ [kΩ] |
|-----------|------------|
| 25        | 49 319     |
| 5         | 9319       |
| 2,5       | 4319       |

### Závěr

Multimetr patří do kategorie orientačních měřicích přístrojů. Je vhodný do dílny na menší měření s informací o průběhu měřené veličiny (do kmitočtu asi 10 Hz). V podobné cenové relaci lze pořídit i digitální měřicí přístroj, ten však nepopíše rychleji měřící se měřenou veličinu.

# Diaľkovo ovládaný audiopanel pre CD-ROM

Ján Kadák

**Keďže v dnešnej dobe sú mechaniky CD-ROM veľmi lacné, rozhodol som sa postaviť prehrávač zvukových CD. Bežné mechaniky majú iba jedno, nanajvýš dve tlačidlá EJECT/CLOSE a PLAY/FF. Takéto ovládanie je značne nevyhovujúce. Popísané zapojenie odstraňuje tento problém. Audiopanel je predovšetkým určený ako samostatný prehrávač k domácej audiozostave. Poskytuje podstatne komfortnejšie ovládanie aj pomocou diaľkového ovládača. Popísané zapojenie nie je zložité a stavbu zvládne aj začiatočník.**

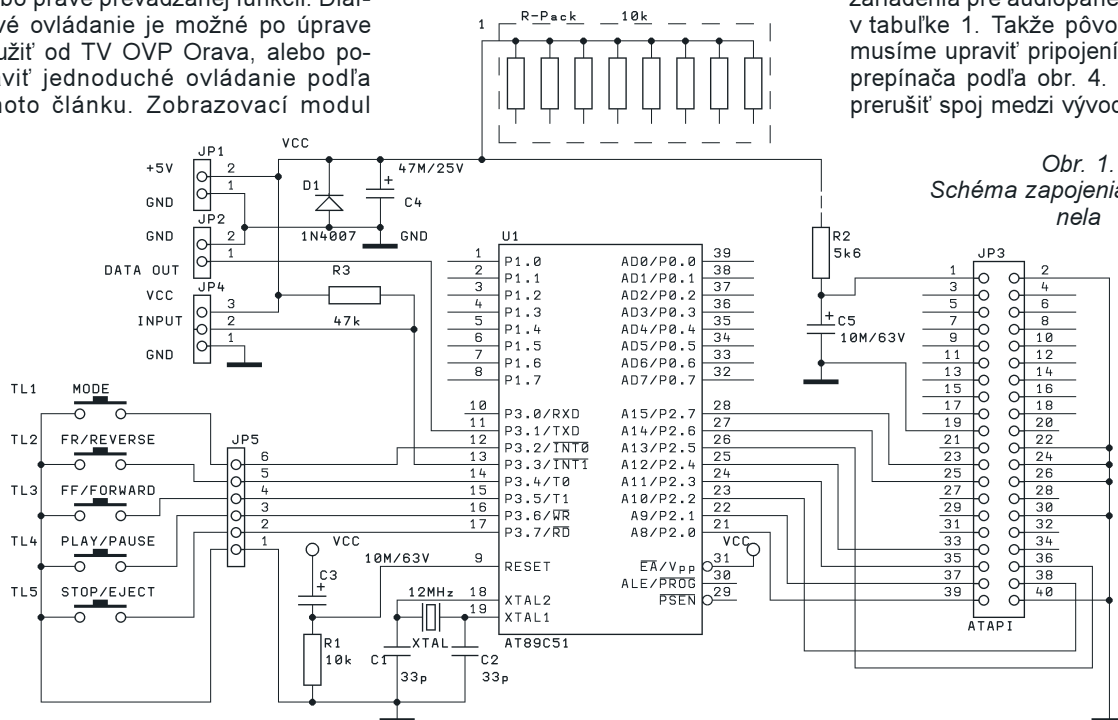
## Popis zapojenia

Celá konštrukcia sa skladá z troch častí – audiopanela, zobrazovacieho modulu a diaľkového ovládania. Takéto riešenie bolo zvolené zámerné, aby si každý záujemca mohol vybrať podľa svojich možností. Modul audiopanela je „srdcom“ celého zapojenia. Zobrazovací modul slúži na vizuálnu informáciu o čísle skladby, čase, chybe, alebo práve prevádzkanej funkcii. Diaľkové ovládanie je možné po úprave použiť od TV OVP Orava, alebo postaviť jednoduché ovládanie podľa tohoto článku. Zobrazovací modul

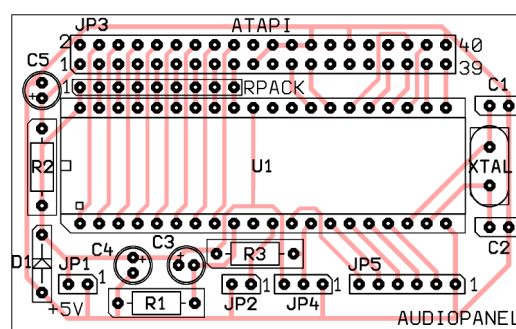
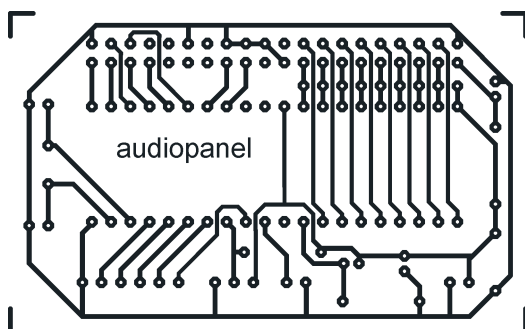
a diaľkové ovládanie sa prípadne nemusia vôbec použiť.

Schéma zapojenia audiopanela je na obr. 1. Základom celého zapojenia je 8bitový mikroprocesor od firmy Atmel 89C51. Procesor zabezpečuje komunikáciu s CD-ROM, vysielanie dát pre displej, obsluhu klávesnice a spracovanie dát od IČ ovládača. Taktovací kmitočot pre procesor bol zvolený 12 MHz. Pri nedodržaní kmitočtu

dôjde k chybnému dekódovaniu povolov z IČ ovládača. Porty P0 a P1 slúžia ako dátová zbernica. Pretože port P0 nemá pull-up rezistory, musí byť ošetrený cez rezistorové pole na +5 V. Port P2 slúži na ovládanie riadiacich signálov CD-ROM. Na časť brány P3 sú pripojené tlačidlá. Resetovacie obvody sú použité dva, jeden pre reset procesora v CD-ROM (R2, C5), druhý pre reset procesora v audiopaneli (R1, C3). Na konektor JP1 je pripojené napájacie napätie. Ako zdroj je vhodné použiť napr. starší počítačový zdroj, alebo postaviť nový zdroj podľa [5]. Konektor JP2 slúži na prepojenie audiopanela a zobrazovacieho modulu, na konektor JP3 sa pripája dátový IDE kábel z CD-ROM. V prípade použitia miestnej klávesnice sa na konektor JP5 pripojí klávesnica. Ak budeme používať IČ ovládač, pripojíme na konektor JP4 infračervený prijímač SFH506-36, alebo jeho ekvivalent. Ako IČ ovládač môže byť použitý od TV prijímačov firmy OVP Orava alebo podobných, ktoré vysielajú kódy v protokole RC-5. Takýto variant je najvýhodnejší pre majiteľov IČ vysieláčov k popisovaným TV. Aby sa neovplyvňovali pri vyzelení obidve zariadenia, bola zvolená iná adresa zariadenia pre audiopanel, uvedená je v tabuľke 1. Takže pôvodný ovládač musíme upraviť pripojením vhodného prepínača podľa obr. 4. Najprv treba prerušiť spoj medzi vývodmi č. 17 a 3



Obr. 1. Schéma zapojenia audiopanela

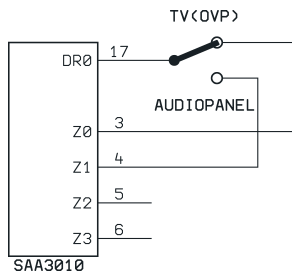


Obr. 2 a 3. Doska s plošnými spojmi audiopanela a osadenie súčastok



Tab. 1. Adresy diaľkového ovládača

| SAA3010 spojiti' vývod IO | Adresa A4...A0 | Ovládané zariadenie |
|---------------------------|----------------|---------------------|
| 17 a 3                    | 00000b         | TV                  |
| 17 a 4                    | 01000b         | audiopanel          |
| 17 a 5                    | 10000b         | ?                   |
| 17 a 6                    | 11000b         | ?                   |



Obr. 4. Úprava DO

(nastavená pôvodná adresa 0h pre prijímače OVP Orava) integrovaného obvodu SAA3010. V praxi jednoducho vždy prepne prepínač do polohy prislúchajúcej zariadeniu, ktoré chceme ovládať. Priradenie jednotlivých funkcií audiopanela tlačidlám na DO je uvedené v tabuľke 2. Ďalšia možnosť je postaviť samostatný IČ vysieláč podľa obr. 5. Táto možnosť je určená pre tých, ktorí nevlastnia DO k popisovaným televízorom. Jeho stavba je lacnejšia ako prípadná kúpa nového DO. Samozrejme, nemusíme vôbec používať DO a celé zariadenie ovládať len tlačidlami na audiopaneli.

Základom vysieláča je jednočipový mikroprocesor AT89C2051. Ako

Tab. 2. Povely DO

| Tlačidlo na DO TV OVP Orava | Kód | Funkcia audiopanel       |
|-----------------------------|-----|--------------------------|
| hlasitosť +                 | 10h | pretáčanie dopredu       |
| hlasitosť -                 | 11h | pretáčanie dozadu        |
| program+                    | 20h | posuv o 1skladbu dopredu |
| program -                   | 21h | posuv o 1skladbu dozadu  |
| normovanie/OK               | 0Eh | prehrávanie/pauza        |
| SEL(select)                 | 3Bh | zmena časového módu      |
| voľba zvuk. režimu          | 23h | zastavenie prehrávania   |
| zvukový efekt               | 24h | vyksunutie/zasunutie CD  |

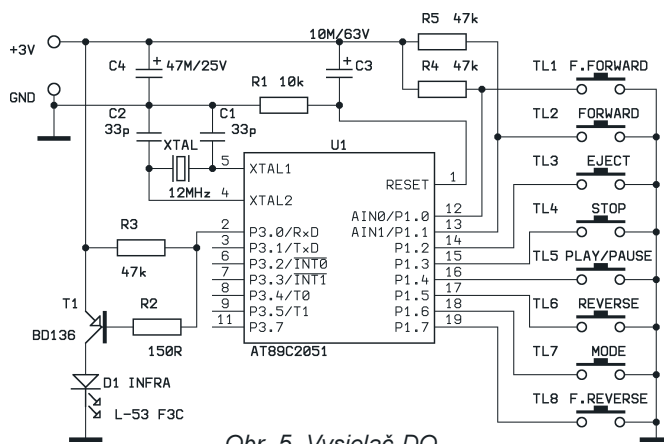
zdroj napätia slúžia dve tužkové batérie. Odber zo zdroja je pri nestlačení tlačidla približne 0,5 mA pri napätí 3 V. V zapojení sa využíva jeden z režimov pre zníženú spotrebu procesora (Idle). Bity p1.0 a p1.1 je nutné pripojiť cez rezistory na +5 V, pretože tieto bity nemajú integrované pull-up rezistory. Prvky R1 a C3 slúžia na reset procesora. Na pin p3.0 je pripojený tranzistor, cez ktorý je spínaná infračervená dióda. Vysielač má osem tlačidiel, ktorých funkcie sú popísané v schéme zapojenia. Taktovací kmitočet je 12 MHz. Pri dodržanej frekvencii kryštálu spĺňa tento ovládač protokol RC-5.

Zobrazovací modul informuje užívateľa o čísle a čase skladby, práve prevádzkanej funkcii (pauza, číta CD atd.), alebo informuje o vzniknutej chybe. Schéma zapojenia je na obr. 8. Základom zapojenia je mikroprocesor AT89C2051 s kryštálom o kmitočte 12 MHz. Reset procesora zabezpečujú prvky R1 a C3. Procesor spracúva cez sériový kanál (konektor JP2) dáta posielané audiopanelom a pomocou

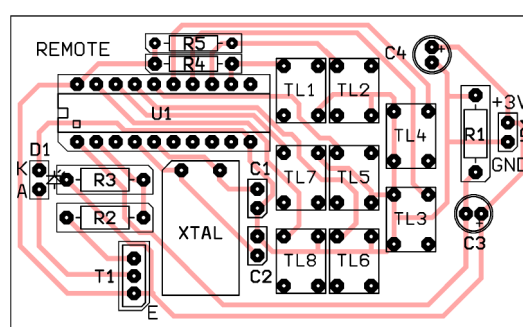
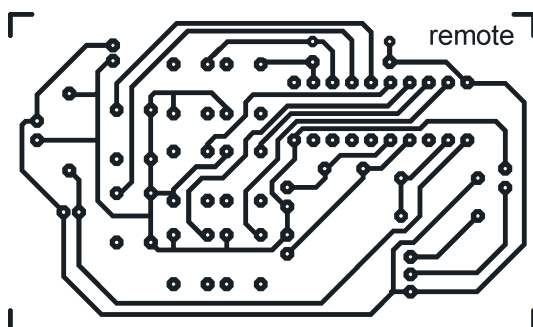
multiplexného režimu obsluhuje displej, tvorený šiestimi segmentovkami, pričom DI1 a DI2 predstavujú sekundy, DI3 a DI4 minúty a DI5 s DI6 číslo skladby. V konštrukcii sú použité 7segmentovky so spoločnou anódou. Tranzistory T1 až T6 slúžia na spínanie anód zobrazovacích prvkov (konektor JP4) a posuvný register 74LS164 bol zvolený pre nedostatok voľných pinov procesora 89C2051. Bit p1.6 tvorí sériové dáta pre posuvný register a bit p1.7 tvorí hodinový signál. Výstupy IO 74LS164 sú cez rezistory R8 až R15 vyvedené na konektor JP3. Odtiaľ sa pripájajú na katódy zobrazovacích prvkov. Keďže displej je úzko spätý s predným panelom prístroja, nie je súčasťou konštrukcie návrh dosky s plošnými spojmi pre displej. Desatinná bodka oddeľuje sekundy od minút. Pripája sa na 7segmentovku DI3. Na konektor JP1 sa pripája napájacie napätie, pričom dióda D1 slúži na ochranu modulu pred náhodným prepólovaním napájania.

### Funkcie tlačidiel

Audiopanel má len päť tlačidiel, z čoho vyplýva nutnosť použitia kombinovaných povelov. Tlačidlo MODE slúži na zmenu zobrazenia času a má význam len v prípade použitia zobrazovacieho modulu. Po resete je nastavený časový mód, pri ktorom je zobrazený čas od začiatku skladby. Po stlačení tlačidla sa zobrazuje čas do konca skladby, pri ďalšom stlačení sa zobrazí čas od začiatku celého CD a nasledujúcim stlačením čas do konca celého CD. Navyše, ak podržíme stlačené tlačidlo dlhšie ako 0,3 sekundy, zobrazí sa základný mód - čas od začiatku skladby. Jednotlivé zmeny je možno vykonať len počas prehrávania alebo pauzy. Ďalšie tlačidlo FR/



Obr. 5. Vysielač DO



Obr. 6 a 7. Doska s plošnými spojmi diaľkového ovládača a osadenie súčiastok

/REVERSE slúži na posun o 1 skladbu dozadu. Ak stlačíme tlačidlo počas prehrávania, začne sa okamžite prehrávať predchádzajúca skladba. Ak sa CD neprehráva, zobrazí sa číslo predchádzajúcej skladby a jej celkový čas v minútach a sekundách. Keď podržíme tlačidlo dlhšie ako 0,3 s, spustí sa počas prehrávania funkcia rýchleho pretáčania dozadu, pričom toto tlačidlo musíme držať, inak sa rýchle pretáčanie skončí. Keď sa CD neprehráva, je táto funkcia bez významu. Tlačidlo FF/FORWARD má rovnaký význam ako predchádzajúce tlačidlo, ale s tým rozdielom, že posúva o 1 skladbu dopredu, alebo pretáča dopredu. PLAY/PAUSE - ak sa CD neprehráva, slúži na spustenie prehrávania práve navolenej skladby. Pri stlačení tlačidla počas prehrávania dôjde k zastaveniu (PAUSE) – po ďalšom stlačení sa spustí z miesta zastavenia. Tlačidlo STOP/EJECT slúži na zastavenie prehrávania (ak sa CD prehráva). Keď podržíme tlačidlo dlhšie ako 0,3 s, dôjde k vysunutiu, resp. zasunutiu dvierok mechaniky.

### Zobrazovanie na displeji

Po pripojení napájania (a ak je pripojená mechanika) sa asi na 5 sekúnd zobrazí nápis „-----“, potom nápis „cd read“. Ak je CD v mechanike, panel skúša načítať TOC vloženého CD. Po úspešnom načítaní vypíše na displej celkový počet skladieb a celkový čas na disku. Ak do 10 s nenačíta disk, alebo nie je vložený CD, zobrazí nápis „no cd“. Pri prehrávaní sa zobrazuje číslo skladby a aktuálny čas. Pri funkcii PAUSE bliká aktuálny čas. Po zastavení disku sa zobrazí číslo a celkový čas predtým prehrávanej skladby. Pri otvorených dvierkach mechaniky sa vypíše nápis „-----“. Ak vznikne počas prehrávania napr. chyba na disku, vypíše sa „cd Err“, ak je chyba v hardware, zobrazí sa „In Err“, prípadne ak vznikne nejaká iná chyba, vypíše sa nápis „- - Err“. Počas čítania CD sa zobrazuje nápis „cd read“. Pri za-

stavenom prehrávaní a stláčaní kláves FR/REVERSE alebo FF/FORWARD sa zobrazuje číslo a celkový čas navolenej skladby. Po resete procesor skúša počas 10 s „nájsť“ mechaniku. Ak ju nenájde, vypíše sa „In Err“. Pri chybnom prepojení medzi audiopanelom a zobrazovacím modulom sa vypíše správa „no con“.

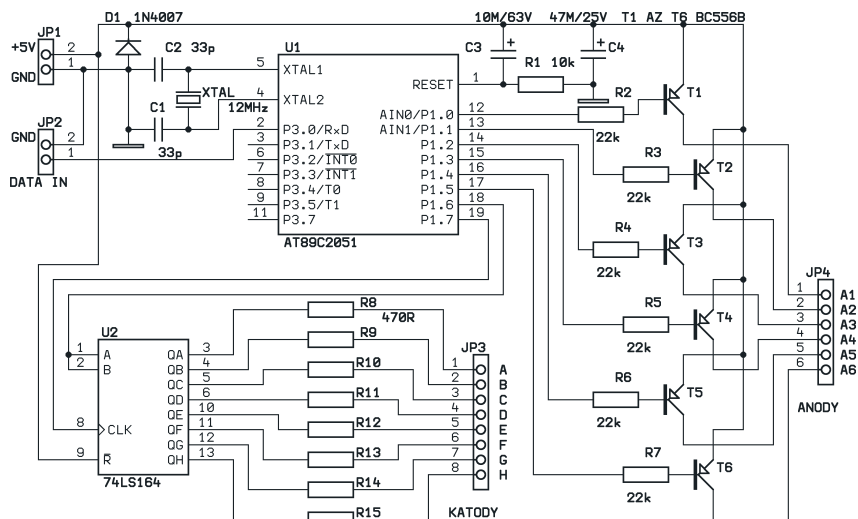
### Konštrukcia

Ako už bolo spomenuté vyššie, celá konštrukcia je rozdelená na tri moduly. Všetky dosky s plošnými spojmi sú jednostranné. Doska plošných spojov audiopanela je na obr. 2, zobrazovacieho modulu je na obr. 9. Pri stavbe je vhodné osádzať pre procesory objímky. Tlačidlá a infračervený prijímač nie sú súčasťou dosky audiopanela preto, aby mohli byť umiestnené na prednom paneli skrinky a doska niekde inde. Taktiež displej nie je súčasťou zobrazovacieho modulu. Ja som použil 7segmentovky SA56-11EWA s výškou číslic 14 mm. Samozrejme je možno použiť akékoľvek iné so spoločnou anódou. V prípade malého svitu segmentov upravíme odpor rezis-

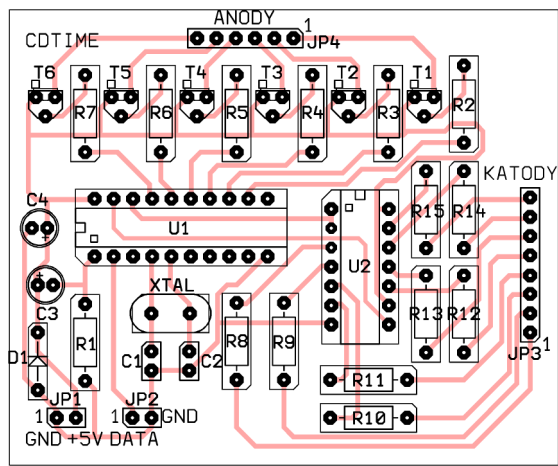
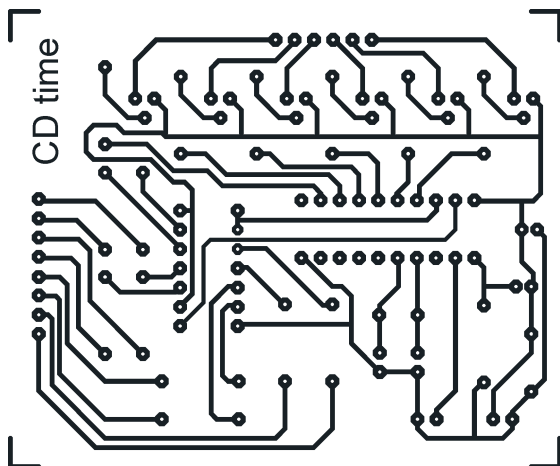
torov R8 až R15 zobrazovacieho modulu. Doska s plošnými spojmi IČ ovládača je na obr. 6. Pri stavbe treba použiť vhodnú výšku tlačidiel. Súčiastky C3, C4, T1, D1 a kryštál treba umiestniť naležato. Ako zdroj napätia použijeme dve tužkové batérie R6/AA, umiestnené vo vhodnom držiaku.

### Oživenie

Po osadení dosiek skontrolujeme správne zapojenie všetkých súčiastok a prípadne odstránime vzniknuté cínové mostíky. Najskôr je vhodné oživiť zobrazovací modul. Po zasunutí procesora do objímky a pripojení napätia +5 V na konektor JP1 by sa na displeji mal zobrazíť nápis „no con“. Pri oživovaní audiopanela vložíme procesor do objímky, pripojíme kábel od CD-ROM (musíme dávať pozor na správne zapojenie kábla a mechanika musí byť nastavená na MASTER, inak panel nefunguje!), tlačidlá, infračervený prijímač, kábel od zobrazovacieho modulu a napájací kábel. Napájacie napätie musíme priviesť na CD-ROM, audiopanel a zobrazovací modul v rovnakom čase.

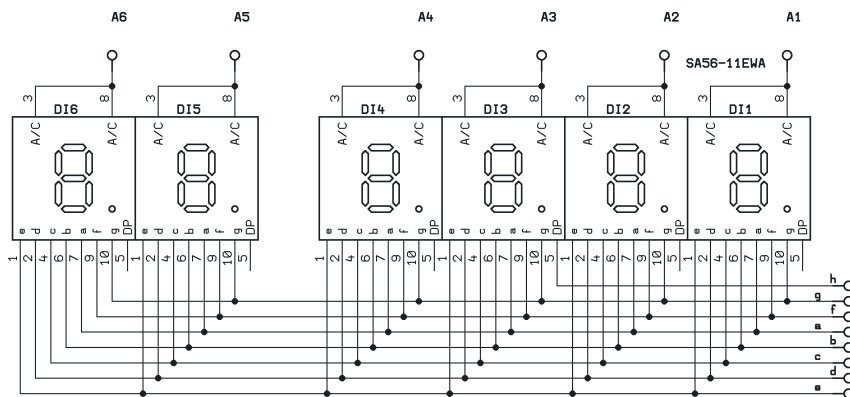


Obr. 8. Zapojenie zobrazovacieho modulu



Obr. 9 a 10. Doska s plošnými spojmi zobrazovacieho modulu a osadenie súčiastok

## Zoznam súčiastok



Obr. 11. Zapojenie displeja

Dialkový ovládač pripojíme na dve tužkové batérie a vyskúšame jeho funkciu. Ak nereaguje audiopanel na príkazy ovládača, kontrolujeme hlavne správnosť zapojenia infra diódy na vysieláča a infra prijímača na audiopaneli.

### Riadiace programy

Procesor v audiopaneli zabezpečuje komunikáciu s CD-ROM protokolom ATAPI. Špecifikácia tohto protokolu je uvedená v norme SFF-8020i. Komunikácia prebieha formou paketových príkazov nasledovne: Keď chceme poslať paketový príkaz, musíme najskôr mechaniku o tom informovať tak, že vyšleme príznak A0h a čakáme, pokiaľ mechanika nastaví príznak BUSY v STATUS registre na log. 0. Tým nás informuje, že je pripravená prijať paketový príkaz, ktorého prenos je realizovaný 16bitovo. Každý paketový príkaz je zložený z 12 byte. Prvý byte obsahuje kód príkazu a ostatných 11 byte obsahuje parametre závislé od typu príkazu. Z ERROR registra môžeme zistiť, či paketový príkaz prebehol úspešne, alebo nie. K prehrávaniu je použitý príkaz PLAY AUDIO MSF, pri ktorom treba poznať adresu začiatku skladby. Tú zistíme príkazom READ TOC. Týmto príkazom tiež zistíme počet skladieb na CD a tzv. lead out – pozíciu konca CD. Procesor počas prehrávania zisťuje každých asi 0,2 sekundy pomocou príkazu READ SUB-CHANNEL informácie o stave prehrávania, aktuálny čas od začiatku CD a od začiatku skladby. Dĺžka skladby sa vypočítava tak, že sa vždy zistí adresa nasledujúcej skladby a odčíta sa od adresy aktuálnej skladby. Pri funkcii odpočítavania času (do konca skladby) sa najskôr zistí adresa nasledujúcej skladby. Potom sa vždy odčítava od aktuálnej adresy snímačovej hlavy od začiatku CD. Pri funkcii odpočítavania času do konca celého CD sa načíta adresa konca disku a odčítava sa od aktuálnej adresy od začiatku disku. Výsledky sú po prevode z HEX kódu do BCD zobrazené na displeji ako dĺžka skladby, alebo aktuálny čas. Pre funkciu rýchleho pretá-

čania je vhodné použiť príkaz AUDIO SCAN. Tento príkaz však málokterá mechanika podporuje, takže musíme vždy k aktuálnej pozícii pričítavať (odčítavať) čas a dať príkaz PLAY AUDIO MSF od novej vypočítanej pozície.

Ďalej procesor zabezpečuje každých 0,2 s vysielanie dát zobrazovaciemu modulu cez sériový kanál. Tiež spracúva externé prerušenie od vstupu INT1, na ktorý je pripojený infračervený prijímač.

Audiopanel bol úspešne vyskúšaný s nasledovnými mechanikami: ACER 52x 52BE, CYBERDRIVE 24x 240SD, LITE-ON 52x CCD52X, TEAC 24x CD-524.

Procesor v zobrazovacom module prijíma dáta počas prerušenia od sériovej linky a po spracovaní ich posielala na displej, ktorý je riadený multiplexne. Frekvencia „vykresľovania“ je asi 70 Hz. Vzhľadom na to, že rýchlosť prijímania dát od sériovej linky je odvodená od frekvencie kryštálu, musíme túto frekvenciu dodržať. Inak bude prijímanie dát chybné a na displeji sa zobrazia nepravdivé údaje.

Program IC ovládača číta cez prerušenie od časovača 0 (asi každých 0,115 s) klávesnicu. Ďalej zabezpečuje vysielanie dát cez infračervenú diódu do okolia. Pretože ovládač je napájaný z batérii, bol zvolený (Idle) mód pre zníženú spotrebu procesora. Pri tomto móde sú všetky činnosti jadra procesora zastavené. Oscilátor a ostatné periférie ostávajú v činnosti. Obsah celej RAM je tiež zachovaný. Tento mód je možno opustiť napr. prijatím nezamaskovaného prerušenia od nejakej periférie (napr. od č/č 0 – obsluha klávesnice), alebo resetom procesora. Tento mód bol zvolený aj z dôvodu uchovania toggle bitu v RAM. Tento bit je špecifikovaný v protokole RC-5 ako informačný bit, ktorý mení svoju hodnotu vždy po stlačení tlačidla (iného alebo toho istého). Keď napríklad stlačíme a držíme dlhšie tlačidlo, majú vysielané toggle bity rovnakú hodnotu. Toto sa využíva napr. pri funkcii forward, kde sa pri stlačení a držaní tlačidla posunie vždy len o 1 skladbu dopredu.

### Audiopanel

|            |                                |
|------------|--------------------------------|
| R1         | 10 kΩ                          |
| R2         | 5,6 kΩ                         |
| R3         | 47 kΩ                          |
| R-Pack     | 8x 10 kΩ, odporová sieť        |
| C1, C2     | 33 pF, keramický               |
| C3, C5     | 10 μF/63 V, elektrolyt.        |
| C4         | 47 μF/25 V, elektrolyt.        |
| XTAL       | kryštál 12 MHz HC49U           |
| D1         | 1N4007                         |
| U1         | AT89C51, naprogramovaný        |
| TL1 až TL5 | tlačidlo                       |
| JP1, JP2   | konektor 1x 2 pin              |
| JP3        | konektor 2x 20 pin (IDE ATAPI) |
| JP4        | konektor 1x3 pin               |
| JP5        | konektor 1x6 pin               |
|            | objímka DIL40                  |

### Zobrazovací modul

|            |                                            |
|------------|--------------------------------------------|
| R1         | 10 kΩ                                      |
| R2 až R7   | 22 kΩ                                      |
| R8 až R15  | 470 Ω                                      |
| C1, C2     | 33 pF, keramický                           |
| C3         | 10 μF/63 V, elektrolyt.                    |
| C4         | 47 μF/25 V, elektrolyt.                    |
| XTAL       | kryštál 12 MHz HC49U                       |
| D1         | 1N4007                                     |
| T1 až T6   | BC556B (pnp)                               |
| U1         | AT89C2051, naprogram.                      |
| U2         | 74LS164                                    |
| DI1 až DI6 | 7segmentovky napr. SA56-11EWA, spol. anóda |
| JP1, JP2   | konektor 1x2 pin                           |
| JP3        | konektor 1x8 pin                           |
| JP4        | konektor 1x6 pin                           |
|            | objímka DIL20                              |

### Dialkový ovládač

|            |                                       |
|------------|---------------------------------------|
| R1         | 10 kΩ                                 |
| R2         | 150 Ω                                 |
| R3, R4, R5 | 47 kΩ                                 |
| C1, C2     | 33 pF, keramický                      |
| C3         | 10 μF/63 V, elektrolyt.               |
| C4         | 47 μF/25 V, elektrolyt.               |
| T1         | BD136-16                              |
| D1         | dióda infra, napr. L-53 F3C           |
| U1         | AT89C2051, naprogram.                 |
| XTAL       | kryštál 12 MHz HC49U                  |
| TL1 až TL8 | tlačidlo                              |
|            | držiak na dve R6/AA (tužkové) batérie |

### Literatúra

- [1] Norma ATAPI SFF-8020i
- [2] WWW.HW.CZ
- [3] Datasheet SAA3010
- [4] Ing. Poucha, Novák: CD-ROM jako samostatný přehrávač zvukových CD, PE5/99
- [5] Hankovec: Audiopanel pro CD-ROM, PE9/02
- [6] Manuál k TV OVP Orava

V súčasnosti sú uvoľnené programy len pre zobrazovací modul a dialkový ovládač, ktoré nájdete na stránkach PE. V prípade záujmu môžem poskytnúť naprogramovaný procesor pre audiopanel za 400 Sk na adresu: e-mail: [jan.kadak@post.sk](mailto:jan.kadak@post.sk).



# Voltmetr a vybíječ článků řízený počítačem PC

Vlastimil Vágner, Jaromír Fiala

**V článku jsou popsány dva jednoduché přípravky. Jeden umožňuje měřit stejnosměrná napětí od 0 do 5 V a od 0 do 50 V, druhý vybíjet články NiCd a NiMH. Přípravky jsou vyrobeny každý zvlášť a při vybíjení se propojují kablíkem. V případě potřeby mohou být vyrobeny i na jedné desce s plošnými spoji. Vybíječ je určen k vybití článků na stejné napětí před nabíjením.**

## Popis přípravků

Voltmetr je tvořen jedním integrovaným obvodem, osmibitovým převodníkem A/D TLC549 připojeným k sériovému portu COM. Ovládání převodníku zajišťuje počítač výstupy DTR a RTS. Výstup DTR je připojen přes rezistor R3 a stabilizační diodu D1 na vstup 7 (CLK) IO TLC549. Dioda D1 upravuje vstupní napětí z vývodu DTR na napětí do 5 V, rezistor R3 omezuje proud tekoucí diodou D1. Výstup RTS je připojen přes rezistor R4 a stabilizační diodu D2 na vstup 5 (CS) IO. Tento vstup přepíná mezi režimy čtení a převodu, rezistor R4 a dioda D2 má stejnou funkci jako R3 a D1. Měřené napětí je snímáno počítačem na vstupu CTS. Vstup kladného referenčního napětí IO TLC549 na vývodu 1 je spojen s napájecím napětím +5 V, vývod 8. Vstup záporného referenčního napětí (vývod 3) je spojen se společným vodičem, stejně jako vývod 4 pro napájení IO. Tím je zvolena i rozlišovací schopnost převodníku na přibližně 0,02 V.

Převodník je napájen stabilizovaným napětím 5 V ze stabilizátoru 7805. Vstup měřeného napětí je veden na

přepínač, kterým se přepínají rozsahy 0 až 5 a 0 až 50 V. Při rozsahu do 5 V je vstupní napětí přivedeno z přepínače na vstup IO (vývod 2) přes rezistory R1 a R2. Při rozsahu 0 až 50 V je měřené napětí přivedeno z přepínače rozsahů nejdříve na trimr TP1 a z něho na rezistor R1. Trimr TP1 s rezistorem R1 tvoří při rozsahu 0 až 50 V napěťový dělič. Schéma zapojení voltmetru je na obrázku 1.

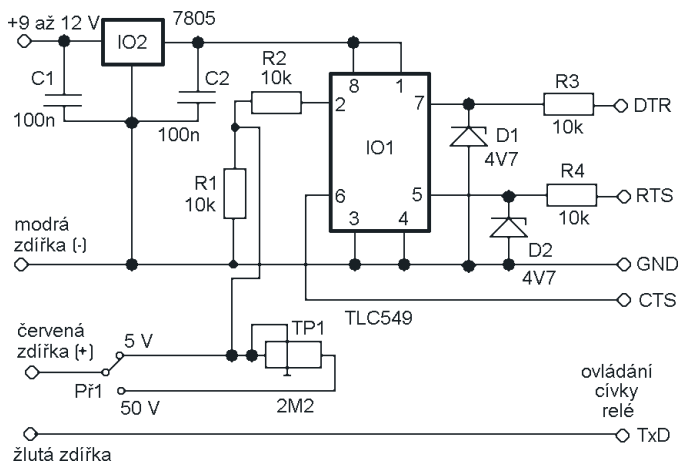
Vybíječ část tvoří relé RE1, potenciometr P1 a ampérmetr. Dále ji tvoří ovládací elektronika pro cívku relé RE1. Výstup z počítače je veden přes rezistor R5 na bázi tranzistoru T1. Signalizace zapnutí výstupu TxD z počítače a tím i zapnutí relé RE1 je tvořena rezistorem R6 a LED D5. Dále je zde i blokovácí dioda D3 v bázi tranzistoru T1. Cívka relé je také blokována diodou D4. Vybíječ dále tvoří propojovací kabel k voltmetru a zdířky (červená a modrá) pro připojení vybíjené baterie. Propojovací kabel je třížilový, zakončený banánky. Napájení z externího stejnosměrného zdroje 12 V je zvoleno podle cívky relé RE1. Schéma zapojení vybíjecí části je na obr. 2.

Přípravek voltmetru je umístěn v krabici spolu s baterií 9 V. Pokud je použit společně s přípravkem na vybíjení článků, je napájen ze společného zdroje 12 V. Na krabici jsou umístěny tři zdířky. Do červené se připojuje kladný pól měřené baterie, do modré se připojuje záporný pól měřené baterie a do žluté se připojuje vodič, který ovládá cívku relé ve vybíječi. Barvy jsou zvoleny tak, aby se zmenšilo riziko špatného připojení vodičů. Dále je na krabici spínač napájecího napětí a přepínač, kterým se přepínají rozsahy 5 a 50 V. Z krabičky je dále vyveden kablík na propojení voltmetru s počítačem. Kablík je zakončen koncovkou 9 nebo 25 pinů podle použitého sériového portu. Přípravek na vybíjení článků je umístěn v krabici, na níž jsou dvě zdířky. Jedna je červená pro kladný pól vybíjené baterie, druhá (modrá) pro záporný pól. V krabici je ampérmetr pro měření vybíjecího proudu, jehož velikost se nastavuje potenciometrem. Z krabičky je vyveden i kablík, který propojuje vybíječ s voltmetrem.

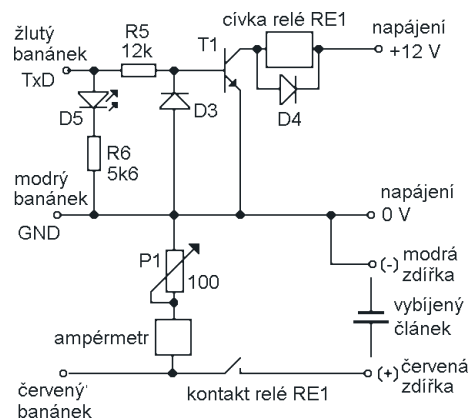
## Smontování a nastavení převodníku

Po osazení součástek voltmetru např. na kousek univerzální desky s plošnými spoji si vyrobíme propojovací kabel mezi voltmetrem a počítačem. Kabel připájíme do desky voltmetru podle schématu a desku omyjeme lihem. Na druhý konec kabelu zapojíme konektor. Podle konektoru COM na počítači zvolíme konektor CANNON, který má 9 nebo 25 pinů. Z vybíječe si také vyvedeme kabel a osadíme banánky. Po montáži spínače, přepínače a zdířek v krabici voltmetru je propojíme s deskou voltmetru, stejně postupujeme i při výrobě vybíjecí části.

Po ukončení montáže a propojení desek si připravíme regulovatelný zkušební zdroj alespoň do napětí 20 V a digitální multimetr (voltmetr) pro kalibraci měřených napětí. Trimr TP1 vy-



Obr. 1. Schéma zapojení voltmetru



Obr. 2. Schéma zapojení vybíjecí části

točíme na největší odpor, voltmetr připojíme na napájecí zdroj a propojíme voltmetr s počítačem zapojením kabelu do volného sériového portu. Na zkušebním zdroji nastavíme podle (kalibračního) multimetru 1 V, zapneme vyrobený voltmetr a přepínač rozsahů přepneme na rozsah 0 až 5 V. Na počítači spustíme program *dmm.exe*. Podle nápovědy zvolíme sériový port, na který jsme připojili kabel z voltmetru, a zvolíme rozsah „Do 5 V“. Tuto volbu provedeme stiskem klávesy „D“. Do zdířek voltmetru připojíme měřené napětí ze zkušebního zdroje. Na monitoru se zobrazí údaj o velikosti měřeného napětí, který by měl být shodný s údajem na kalibračním voltmetru. Nyní zvětšíme napětí na zkušebním zdroji asi na 3 V a na monitoru by se mělo zobrazit shodné. Nyní nastavíme maximální velikost napětí (na tomto rozsahu to je 5 V) a znovu porovnáme. Po této kontrole odpojíme voltmetr od zkušebního napětí a na zkušebním zdroji nastavíme 10 V podle kalibračního voltmetru. Stiskem mezerníku na klávesnici počítače ukončíme měření na rozsahu do 5 V a stiskem klávesy N zvolíme rozsah do 50 V („Nad 5 V“). Přepínač rozsahů na voltmetru také přepneme na rozsah 50 V a nastavené napětí ze zkušebního zdroje připojíme na voltmetr. Trimrem TP1 nastavíme podle kalibračního voltmetru

shodný údaj na monitoru počítače. Po tomto nastavení již můžeme měnit na zkušebním zdroji napětí a jeho velikost se bude zobrazovat na monitoru počítače. Maximální napětí, které můžeme na tomto rozsahu připojit, je 50 V. Tím je nastavení a kalibrace voltmetru hotova a můžeme ho používat. Při měření neznámého napětí je vhodné začít na rozsahu 50 V, a pokud je měřené neznámé napětí menší jak 5 V, tak přepnout na rozsah do 5 V.

### Popis programů

Programy jsou určeny pod operační systém MS-DOS.

Ovládání programu *dmm.exe* začíná volbou portu. Stiskem klávesy s číslicí 1 volíme port COM1, stiskem klávesy 2 port COM2 atd. Po volbě portu již volíme rozsah měření klávesou D (rozsah do 5 V) nebo klávesou N (rozsah do 50 V). Měření na zvoleném rozsahu ukončíme mezerníkem, teprve pak můžeme zvolit druhý rozsah. Program ukončíme klávesou ESC.

Program *vybijeni.exe* umožňuje s popsáním přípravkem vybití baterie. Po volbě portu (stejně jako u programu *dmm.exe*) zadáváme jméno souboru, kam se budou ukládat naměřené údaje z průběhu vybíjení. Zadáme vypínací napětí, tj. napětí, při kterém bude ukončeno vybíjení baterie. Dále zadáme v sekundách časový interval pro ukládání naměřených údajů do souboru. Pro interval 5 minut zadáme 300. Nyní se již po stisku ENTER zobrazuje napětí vybíjené baterie.

Při vybíjení baterií je třeba propojit oba přípravky (vybíječ i voltmetr). Program po zadání parametrů sleduje napětí baterie, a pokud se napětí zmenší pod nastavenou velikost, ukončí její

vybíjení (vypne relé) a ukončí se. Program můžeme ukončit i dříve stiskem mezerníku. Uložené naměřené údaje napětí v souboru lze zobrazit v jakémkoliv manažeru (M602, Volkov, NC) klávesou F3.

Program *test.exe* umožňuje testovat baterii na vybíjení při zatížení. Zatížení měníme při připojené baterii potenciometrem P1 a napětí sledujeme na monitoru počítače.

### Seznam součástek

**Voltmetr**  
R1 až R4 10 kΩ  
TP1 2,2 MΩ, víceotáčkový cermetový trimr 64Y nebo 64Z  
IO1 TLC549  
IO2 MAA7805  
D1, D2 BZX54C004V7 (nebo jiná Zenerova dioda 4,7 V/0,25 W)  
C1, C2 100 nF  
spínač modelářský  
přepínač modelářský  
kabel pětižilový 2 m  
zdířky modrá, červená a žlutá  
konektor s krytem CANNON 9M nebo CANNON 25M (podle sériového portu)

**Vybíječ**  
P1 100 Ω/2 W, potenciometr (odpor zvolíme podle požadovaného vybíjecího proudu)  
R5 12 kΩ  
R6 5,6 kΩ  
T1 KF507 (BC639)  
D3, D4 KA261, KA207, 1N4007  
D5 LED  
RE1 relé 12 V

Bližší informace na tel.: 603 340 132 (p. Vágnér) nebo 603 746 434 (p. Fiala).

Tabulka 1. Popis vývodů na počítači

| Signál | Konektor 9 pinů | Konektor 25 pinů |
|--------|-----------------|------------------|
| DTR    | 4               | 20               |
| RTS    | 7               | 4                |
| CTS    | 8               | 5                |
| TxD    | 3               | 2                |
| GND    | 5               | 7                |

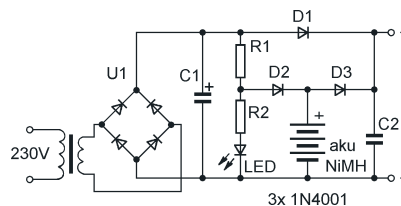
## Zálohované napájení

Často je třeba zajistit napájení nějakého přístroje i v případě výpadku síťového napětí.

Na obr. 1 je zapojení záložního zdroje s olověným akumulátorem. Napětí stabilizátoru je zvětšeno Zenerovou diodou na 14,1 V. Akumulátor se nabíjí „konstantním“ napětím asi 13,5 V, což je napětí z výstupu stabilizátoru zmenšené o úbytek na D1. Toto napětí je zároveň výstupním na-

pětím zdroje. Při výpadku síťového napětí je zařízení napájeno přímo z akumulátoru. Maximální nabíjecí proud je omezen stabilizátorem. Podle odběru připojeného zařízení dimenzujeme transformátor na 5 až 20 VA. LED1 indikuje přítomnost síťového napětí a nabíjení akumulátoru, LED2 přítomnost výstupního napětí zdroje.

Zdroj na obr. 2 je zálohován akumulátorem NiCd nebo NiMH. Za normálních okolností je na výstup přivedeno napětí z usměrňovače přes D1. Současně se trvale dobíjí akumulátor malým proudem přes R1 a D2. Odpor R1 volíme tak, aby nabíjecí proud



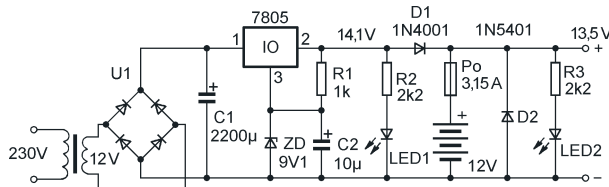
Obr. 2. Zálohovaný zdroj s akumulátorem NiCd nebo NiMH

byl 0,03 až 0,05 C, nejvýše však 0,1 C. (Miníme zde číselné vyjádření proudu ve vztahu ke kapacitě. Nabíjecí proud 0,05 C je např. u akumulátoru 600 mAh rovný 30 mA.) Trvalé nabíjení větším proudem zkrátí dobu života akumulátoru. Při výpadku je zařízení napájeno z akumulátoru přes D3. LED indikuje přítomnost síťového napětí. Odpor R2 volíme podle napětí akumulátoru a použité LED.

VH

(podle různých zdrojů z Internetu)

Obr. 1. Zálohovaný zdroj s hermetickým olověným akumulátorem



# Vysílací sestava QRP 517

Luboš Matyásek, OK1ACP

**QRP 517 není žádný nový typ radiostanice nějaké renomované firmy, ale zakódovaná informace, že jde o pět wattů s jednou anténou na sedmi pásmech. Těch 5 W pochází v mém případě z radiostanice YAESU FT-817 (obr. 1), anténa, transmatch a indikátor ČSV (PSV) budou samostatnými kapitolami, jak pěstovat romantiku zvanou QRP na pásmech 7, 10, 14, 18, 21, 24, a 28 MHz.**

Ačkoliv jsem se stejnou anténou navázal řadu spojení také v pásmu 50 MHz, šlo o záležitost spíše mimořádnou. Během ročního provozu (od června 2003 do června 2004) jsem uskutečnil bez jakékoli účasti v závodech zhruba 700 spojení CW i SSB, z nichž náhodně vybírám:

**7 MHz:** RW1, UR5, RA2, LY2, EW6, UA4 atd.

**10 MHz:** 3A2, ZA1, K2, RW1, UR5 ...

**14 MHz:** SM, 5B4, W1, SX8, TM6 ...

**18 MHz:** KC7, 3V8, OD5, YI9, KZ1 ...

**21 MHz:** 5X4, W5, KF3, 3B9, K8, OD5, N2, KK4 ...

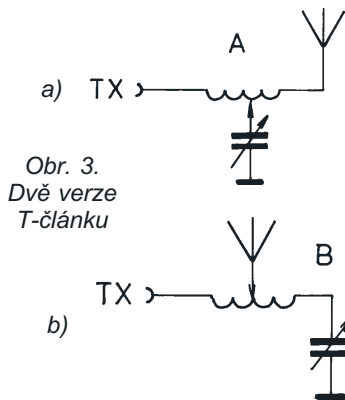
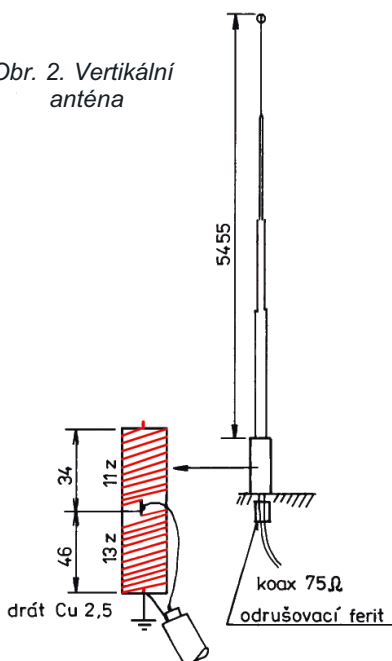
**24 MHz:** A45, K2, 3B9, ET3, OD5 ...

**28 MHz:** 4Z4, V51, W3, JY, PP5, LW9, 5X1, K4, VO1, 9G4, 9K2, CO, C5 ...

**50 MHz:** IT9, LZ, F, 9A4, SX2, YO ...

Poměr mezi voláním vlastní výzvy a odpovědí na výzvu byl tak 1:100, a to z toho důvodu, že se lze vyhnout opakovaným spojeními na základě jednoduché papírové evidence, kterou lze během trvání cizí výzvy bezpečně ověřit, že jde o první spojení. Sám jsem převážnou většinu spojení uskutečnil pouze na základě jediného zavolání vlastní značky po skončené výzvě. Výjimkou byly dotazy jako QRZ PSE AGN?

Obr. 2. Vertikální anténa



Obr. 3. Dvě verze T-čláčku

Tolik úvodem, aby mohla být představena první kapitola:

## Anténa

Vertikální anténa (obr. 2) o celkové délce 5455 mm na střeše panelového domu, 25 m nad okolním terénem, je profesionální výrobek, typ Sirtel GPS 27 1/2, zkrácená na hodnotu PSV 1:1 na kmitočtu 28,1 MHz, aby bylo možno ji přímo provozovat v pásmu 10 m. Původní napájecí zelený koaxiální kabel 75  $\Omega$   $\varnothing$  7,5 mm s pěnovým dielektrikem PE  $\varnothing$  5,5 mm a vnitřním vodičem  $\varnothing$  1,2 mm jsem ponechal. V katalogu pro tuto impedanci a dielektrikum se uvádí kapacita 54,7 pF, a protože jsem naměřil celkovou kapacitu 1893 pF, vychází vydělením celková délka 34,6 m. Druhý způsob zjištění délky lze odvodit z měření rezonance kabelu na konci zkratovaného a na vstupním konektoru opatřeného jedním závitěm pro vazbu s GDO. V mém případě byl použit GDO PHILIPS GM3121 a rezonanční kmitočet při „dipu“ kontrolován na digitální stupnici přijímače ATS803A. Naměřená frekvence byla 3,488 MHz a při použití v literatuře uváděného zkracovacího koeficientu pro toto dielektrikum 0,81 vychází délka kabelu 34,8 m a to je shoda s předchozím výpočtem velmi uspokojivá.

Abych trochu znesnadnil „courání“ v proudě po opletení koaxiálního kabelu, zaklapnul jsem intuitivně a celkem oprávněně těsně pod PL konektor odrušovací toroid, používaný u síťových přívodů počítačů. Ve snaze najít nejvhodnější přizpůsobovací obvod jsem měřil impedanci systému



Obr. 1. Vysílací pracoviště OK1ACP. Transceiver FT-817 uprostřed, nad ním anténní členy, nahoře napájecí zdroj a reproduktor; pod ním transceiver Cleanstone pro CB a 28 MHz a stanice TESLA VR-20

na jednotlivých pásmech pomocí „Měřiče ČSV“ dle AR A 6/1995, s. 30 a zjistil, že přizpůsobení je optimální pouze na pásmech 10 a 28 MHz a ostatní impedance se pohybují od 100 do 200  $\Omega$ , takže je nutné použít obvod s transformací směrem nahoru.

Na střeše je anténa připevněna asi 30 cm nad odsávacím potrubím, které je pospojováno s hromosvodem, takže anténa je bezpečně na zemním potenciálu. Vyzařovací úhel nebyl nijak měřen, ale vzhledem k dosaženým DX spojeními je patrně dost nízký.

## QRP transmatch

Krátce po instalaci FT-817 jsem laboroval s různými přizpůsobovacími články. Teprve dvě varianty T-čláčku, znázorněné na obr. 3 a, b splnily moje očekávání.

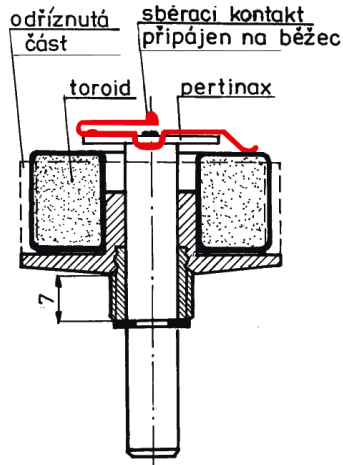
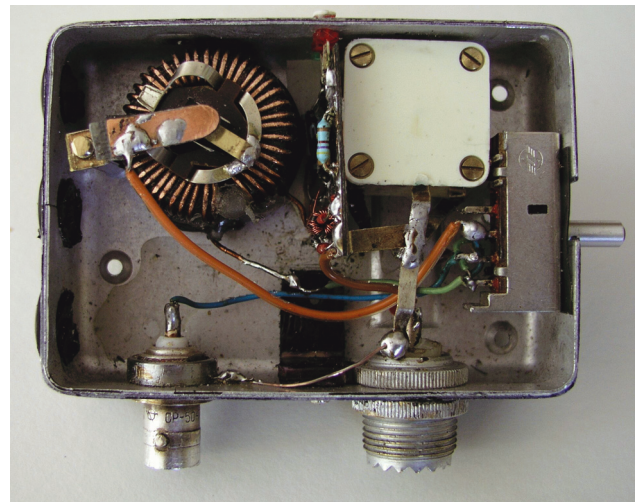
Varianta A je používána pro přizpůsobení na pásmech 7 až 21 MHz, varianta B pro pásma 24 a 28 MHz a pro přizpůsobení 80 m antény delta loop, používané pro pásma 160 a 80 m.

Praktické provedení spočívá v tom, že cívku s proměnnou indukčností zhotovíme na toroidním feritovém jádru z materiálu N01 o rozměrech 26/16/9,5 mm navinutím 40 závitů měděného lakovaného vodiče o  $\varnothing$  0,8 mm. Po navinutí stáhneme ve svěráku mezi prkénky čela toroidní cívky, tím vytvoříme rovnou plochu, kterou na rovné desce smrkovým plátnem zbavíme laku a máme připravenou dráhu pro běžce. Nyní potře-





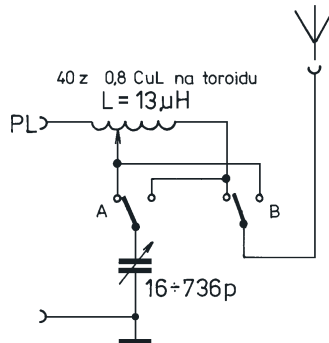
Obr. 4. a) Pohled na hotový transmatch (vlevo); b) vnitřní uspořádání (vpravo)



Obr. 5. Úprava potenciometru na cívku s proměnnou indukčností

bujeme starý drátový potenciometr WN 691 70 (obr. 4, 5), který vysunutím „sérovky“ rozebereme a pilkou na železo uřízneme těsně nade dnem válcovou část po obvodu. Řez začistíme pilníkem a dále ještě zkrátíme hliníkový závit M10 na délku přibližně 7,5 mm. Nyní do vrtačky upneme tento polotovár za vnitřní bakelitový náboj 12 mm a jemným pilníkem začistíme čelní plochu závitu na rozměr 7 mm, aby po opětovém sestavení „sérovka“ nedrhla při otáčení hřídele. Pak nasuneme navinutou toroidní cívku a na dno přilepíme třeba pomocí tavných tyčinek. Do ložiska vsuneme hřídel s běžcem, který přihneme tak, aby správně klouzal po očistěné čelní ploše, a zasuneme „sérovku“. Mezi poslední závity cívky z obou stran uděláme kapku z tavné tyčinky jako doraz, aby se běžec netočil kolem dokola. Zbývá zabezpečit beze-ztrátový přenos z běžce na přepínač pomocí krátkého kousku z pérového bronzového svazku relé, přihnutého, jak je z obr. 5 zřejmé, a doléhajícího na stabilní protikus zhotovený z oboustranně plátovaného kuprexitu a připevněný na distanční sloupek. V místě styku s pérovým svazkem kuprexit silně pocinujeme.

Abych získal přehled o průběhu indukčnosti na toroidu od jednoho dorazu ke druhému, připevnil jsem



Obr. 6. Schéma zapojení transmatche

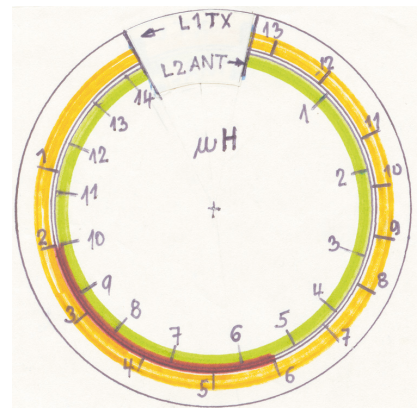
na panel karton se stupnicí o průměru 75 mm. Na ni jsem pomocí knoflíku s ručičkou vynášel naměřené indukčnosti jednak s počátkem u anténního vývodu, ale také druhou stupnicí s počátkem u vysílačového vývodu, protože v důsledku kvadratické závislosti indukčnosti na počtu závitů nejsou tyto stupnice shodné. Sympatické ovšem bylo zjištění, že pro přizpůsobení na pásmech od 7 do 21 MHz v zapojení T-článku typu A se potřebné indukčnosti vyskytují v intervalech 2 až 5,5 a 6,5 až 10  $\mu\text{H}$ , kde je chyba na součet 12  $\mu\text{H}$  z celkové délky stupnice pouze 4,7 %. Na obr. 6. je celé zapojení včetně přepínání mezi variantou A a B. Ladicí kondenzátor je běžný duál z tranzistorového přijímače, zapojený paralelně. Tabulky 1 a 2 dávají přehled o všech parametrech transmatche na jednotlivých pásmech. Indukčnosti

Tab. 1. Zapojení transmatche A:

| pásmo MHz | L1            |                | L2            |                | C   |                |
|-----------|---------------|----------------|---------------|----------------|-----|----------------|
|           | $\mu\text{H}$ | $X_L [\Omega]$ | $\mu\text{H}$ | $X_L [\Omega]$ | pF  | $X_C [\Omega]$ |
| 7         | 4             | 175            | 8             | 350            | 340 | 67             |
| 10        | 4,5           | 280            | 7,5           | 470            | 250 | 64             |
| 14        | 5,2           | 457            | 6,8           | 600            | 90  | 126            |
| 18        | 4,5           | 508            | 7,5           | 850            | 60  | 147            |
| 21        | 2             | 260            | 10            | 1318           | 50  | 151            |

Tab. 2. Zapojení transmatche B:

|    |      |    |      |      |    |     |
|----|------|----|------|------|----|-----|
| 24 | 0,25 | 44 | 13,5 | 2370 | 20 | 283 |
| 28 | 0    | 0  | 14   | 2462 | 20 | 283 |



Obr. 7. Stupnice

byly měřeny digitálním měřičem TESLA BM 514.

Stupnice z toroidní cívky transmatche je k dispozici na obr. 7.

Popisování dalších podrobností technického řešení bych považoval za degradaci fantazie a „zlatých českých ručiček“ případných následovníků.

Z fotografií je zřejmé, že jsem použil hliníkovou krabičku od mikrofonu k radiostanicím TESLA PR11 - PX25. Po propojení anténního konektoru s transmatchem zjistíte, že hrubé nastavení optimálního přizpůsobení se projeví při příjmu největší hlasitosti a po zaklíčování vysílače už jen během několika vteřin jemně doladíte na nejmenší hodnotu PSV na displeji FT-817 a současně na maximální výchylku ampérmetru na napájecím zdroji.

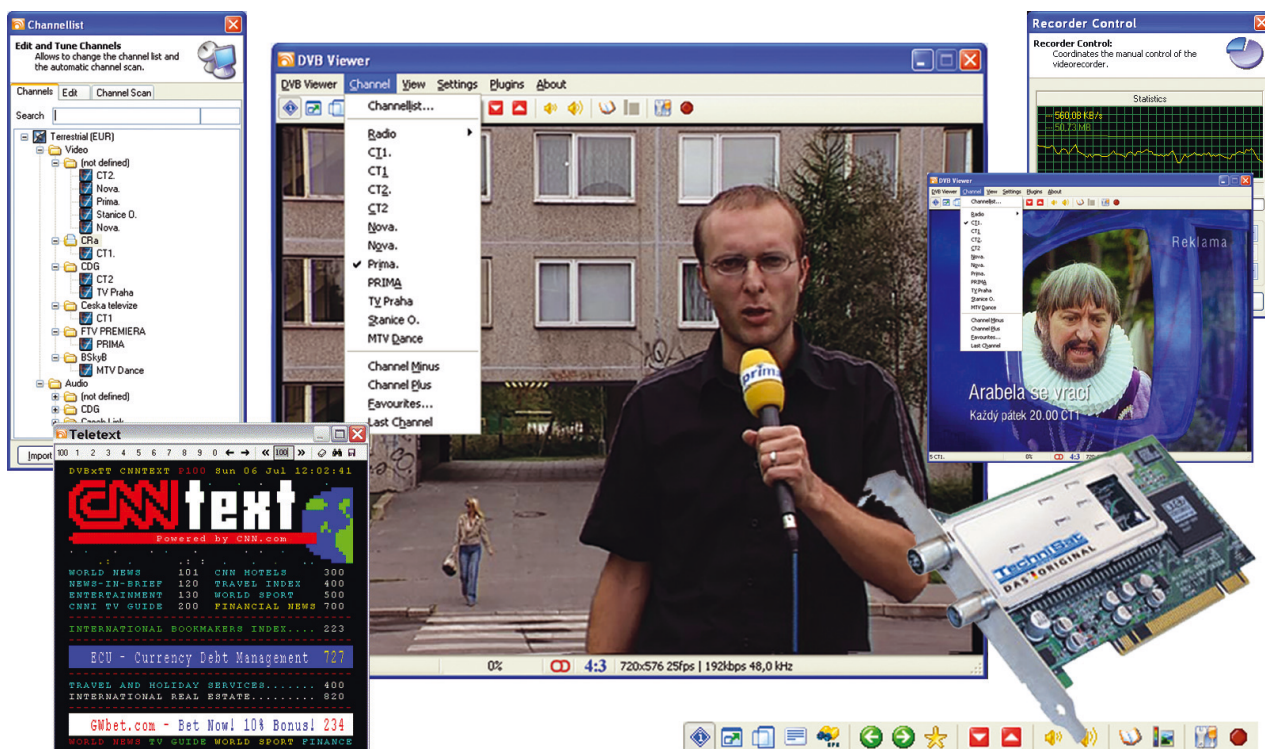
Abyste nevnikli dojem, že popisovaný transmatch je použitelný jen s popsanou anténou a uvedenou délkou koaxiálního kabelu, připravil jsem si umělé anténní zátěže s bezindukčními rezistory od 10 do 500  $\Omega$  a opět jsem s uspokojením konstatoval, že na všech pásmech bylo dosaženo PSV 1:1.

(Dokončení příště)



# POČÍTAČE a INTERNET

Rubriku připravuje ing. Alek Myslík, INSPIRACE, alek@inspirace.cz



## DIGITÁLNÍ TELEVIZE - DVB VIEWER

V článku o příjmu pozemního digitálního vysílání televize a rozhlasu v minulém čísle jsme se zmínili o softwaru *DVB Viewer* s příslibem podrobnějšího popisu – ten zde tedy přinášíme. *DVB Viewer* je ve zjednodušené verzi, tzv. TE, *TechniSat Edition*, dodáván spolu s hardwarem TechniSat pro příjem digitální televize (pozemní i satelitní). Pro běžné použití jsou jeho funkce dostačující, je ale vhodné si za 30 Euro (cca 500 Kč) pořídit plnou verzi programu, která má mnoho dalších příjemných funkcí a za uvedený peníz určitě stojí. Popis vychází z plné verze programu ([www.dvbviewer.com](http://www.dvbviewer.com)).

**DVB Viewer** je moderní multimediální aplikace, která zajišťuje příjem a nahrávání digitálního televizního vysílání z pozemních i satelitních vysílačů v operačním systému MS Windows. Mezi jeho hlavní možnosti patří kvalitní příjem digitální TV v DVD kvalitě s možností plynulé změny velikosti obrazu, správa přijímaných kanálů v přehledném systému s vytvářením kategorií a adresářů, rychlé skenování a vyhledávání všech vysílačů (programů) v předvoleném pásmu, nahrávání televizního a rádiového signálu na pevný disk počítače bez jakéhokoliv snížení původní kvality, komfortní teletext s pamětí všech stránek, hypertextovými odkazy a možností ukládání, EPG - elektro-

nický průvodce programy (*Electronic Program Guide*), který zobrazuje různé informace o vysílaných programech a umožňuje komfortní programování nahrávání ve stanovenou dobu, přehrávání jakýchkoliv multimediálních souborů (pokud jsou v počítači instalovány příslušné dekodéry), umístění televizního obrazu přímo na pracovní plochu (aktivní desktop), tzv. *TimeShift*, umožňující přerušit sledování aktuálního programu (telefon, návštěva ...) a jeho nahrávání, takže lze ve sledování pokračovat po určité době v místě přerušení (o nic nepřijedete), obraz v obraze (PIP) – sledování dalšího programu vysílaného ve stejném datovém streamu v samostatném okénku, podpora

AC3 (*Dolby Digital*), atraktivní OSD (*On Screen Display*) pro ovládání z klávesnice nebo dálkového ovladače, přehrávání DVD, používání pluginů. Pro *DVB Viewer* je k dispozici i lokalizace do mnoha jazyků včetně češtiny.

### Co je k příjmu zapotřebí

Program je určen pro karty *TechniSat* – pro příjem pozemní digitální televize (DVB-T) je to karta PCI *AirStar 2* a pro satelitní příjem karta *SkyStar2*. Existují i externí USB verze těchto karet. Samozřejmě potřebujete i vhodnou anténu, pro příjem pozemní digitální TV je to běžná anténa, kterou jste používali dosud, pro satelitní příjem anténa parabolická.



Počítač by měl mít alespoň procesor Pentium III na 700 MHz, lepší je ale počítač výkonnější. Měl by mít grafickou kartu s alespoň 8 MB paměti, zvukovou kartu, která umí zpracovat zvuk vzorkovaný s kmitočtem 48 kHz, operační paměť RAM nejméně 128 MB, pevný disk dostatečně velký, pokud chcete hodně nahrávat.

### Typy a velikosti souborů

Při u nás nejčastěji užívaném televizním signálu ve formátu 720 x 576 pixelů lze počítat s asi 700 kB na vteřinu nahrávky, což znamená asi 2,5 GB na hodinový pořad. Pokud se vám to zdá hodně, mějte na paměti, že jde o nekomprimovaný záznam nahraný ve stejné kvalitě, v jaké byl odvysílán – pokud chcete, můžete si ho následně zkomprimovat do některého z oblíbených formátů (DivX, XviD ap.). Dnešní pevné disky jsou tak velké a levné, že nahrávání nikterak neomezují – na co je ale zapotřebí dát pozor jsou omezení operačního systému pokud jde o velikost souborů. Staré operační systémy jako MS DOS nebo Windows 95 se souborovým systémem FAT16 mají omezenou velikost souboru na maximálně 2 GB, Windows 98/ME na 4 GB. Systémy Windows NT, 2000 a XP nemají velikost souboru (při využití souborového systému NTFS) nikterak omezenou. Pokud chcete záznam dále zpracovávat, musíte ale vzít v úvahu i případná omezení softwaru, který ke zpracování použijete. Pro všechny uvedené případy je v *DVB Vieweru* zabudována funkce rozdělení nahrávaného programu do několika souborů stanovené velikosti.

### Instalace

*DVB Viewer* je prakticky v jediném souboru, používá ale řadu datových, konfiguračních a jazykových souborů a tzv. *pluginů* (soubory .DLL) pro různé funkce (všechny jsou pouze v adresáři *DVB Vieweru*). Do systému Windows zasahuje instalace pouze zápisem několika filtrů pro *DirectShow* do registrů. Při instalaci do Windows XP je zapotřebí být přihlášen jako administrátor.

### Základní funkce

Všechny základní funkce *DVB Vieweru* lze spustit z hlavního nástrojového panelu (obr. 2):

#### Stavový řádek

Zobrazení/skrytí pruhu na spodní straně zobrazovacího okna (obr. 1) – stavový řádek zobrazuje:

- název přijímaného kanálu,
- relativní sílu přijímaného signálu, uplynulou část sledovaného programu (v %) a čas, zbývající do konce sledovaného programu (lze přepínat



Obr. 1. Stavový řádek programu *DVB Viewer*



Obr. 2. Nástrojový pruh programu *DVB Viewer*

řuknutím na příslušné políčko ve stavovém řádku - obr. 4),

- typu audio signálu (mono/stereo),
- poměr stran obrazu (4:3, 14:9, 16:9),
- rozlišení v pixelech a počet obrázků za vteřinu u videosignálu,
- datový tok a vzorkovací kmitočty u audiosignálu.

#### Celooobrazovkové zobrazení

V tomto zobrazení (tzv. *fullscreen*) nejsou vidět žádné ovládací prvky, program lze ovládat buď z klávesnice, nebo dálkovým ovládatím, nebo z kontextového menu, které se zobrazí po řuknutí pravým tlačítkem myši na obrazovce.

#### Skrytí všech ovládacích prvků

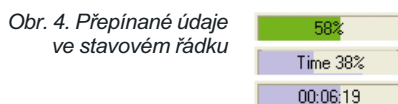
Obraz zůstane v okně, ale zůstane jen tenký rámeček okna a všechny ovládací prvky se skryjí.

#### Teletext

Otevře teletextové okno. Tam lze volit stránku řuknutím na číselnou stupnici (číslo stránky lze volit i z klávesnice počítače), pokud je v textu číslo jiné stránky, lze na něj řuknout a funguje jako hypertextový odkaz, lze listovat dopředu a dozadu jak v hlavních stránkách, tak i v podstránkách, zobrazenou stránku lze uložit na disk v grafickém (*jpg*, *bmp*, *png*) i textovém (*txt*) formátu. Jsou-li v teletextu titulky k probíhajícímu programu, *DVB Viewer* je umí vložit přímo do televizního obrazu. V teletextu lze i vyhledávat.



Obr. 3. Okno teletextu v programu *DVB Viewer*



Obr. 4. Přepínané údaje ve stavovém řádku

#### Electronic Program Guide

Nová služba, umožněná právě digitálním vysíláním televize. Stanice, vysílající televizní program, vysílá zároveň i informace o pořadech a jejich časovém harmonogramu i na týden dopředu. Okno EPG (obr. 5) tyto informace přehledně zobrazí ve třech volitelných pohledech – jednak si můžete zvolit v levé části stanici (kanál) a zobrazí se chronologicky všechny pořady zvolené stanice, pak lze zvolit zobrazení všech pořadů, které jsou v danou chvíli vysílány (všemi stanicemi) a nakonec lze zobrazit i časovou přímku (*timeline*), kde jsou programy a jejich délky a návaznosti zobrazeny graficky. Vybraný pořad lze jedním řuknutím přenést do programování nahrávání, nebo se nechat na jeho začátek pouze upozornit a přepnout v potřebnou dobu na odpovídající stanici. Údaje EPG lze převést i do HTML a pak si třeba televizní program vytisknout.

#### Volba kanálu

předchozího/následujícího v seznamu všech naladěných kanálů.

#### Favourites

Vytvoření a editování seznamu preferovaných stanic, které se objeví v jednoduše přístupném menu.

#### Volba stanice

předchozí/následující v seznamu vybraných stanic (*Favourites*).

#### Nastavení hlasitosti

řuknutím na malý/velký reproduktorek lze snížit/zvýšit hlasitost reprodukce.

#### Seznam kanálů

V seznamu lze všechny přijímané kanály řadit do kategorií, měnit jejich pořadí, editovat jejich detailní vlastnosti a skenovat určený rozsah kmitočtů pro automatické naladění všech stanic ve zvoleném pásmu (obr. 7).

Do seznamu lze importovat i kompletní seznamy stanic (pro satelity), zveřejňované pravidelně na některých webech na Internetu.

#### Nastavení obrazu

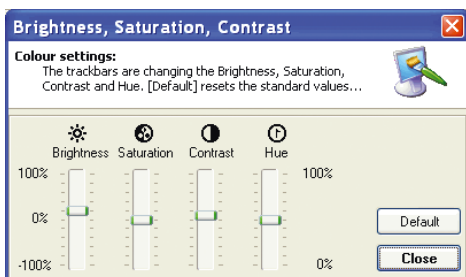
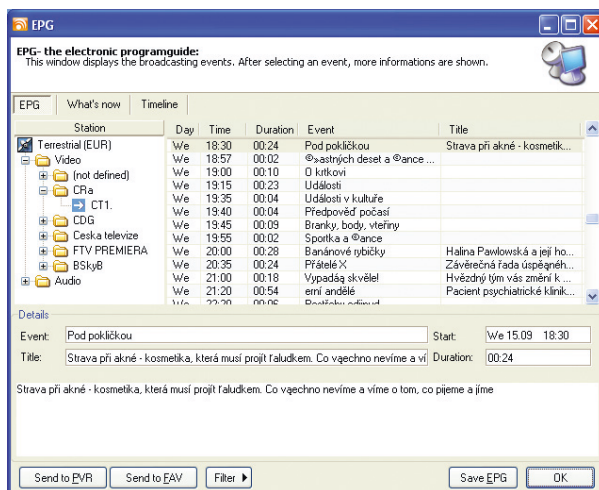
Otevře okénko (obr. 6) se čtyřmi posuvníky pro nastavení jasu, saturace, kontrastu a sytosti (*hue*) televizního obrazu.

#### Nastavení nahrávání

Zobrazí okno (obr. 8) s některými doplňkovými informacemi a nastavení-



Obr. 5. Okno EPG se seznamem všech programů zvolené stanice na sedm dní

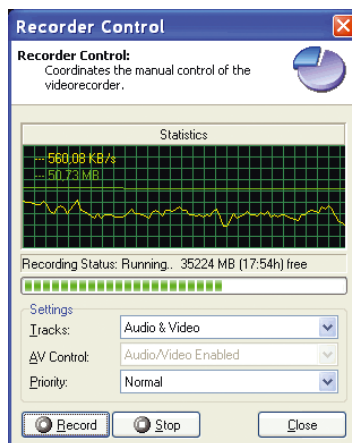


Obr. 6. Dialogové okno k nastavení parametrů televizního obrazu - jasu, saturace, kontrastu a sytosti

mi pro nahrávání – grafickým zobrazením přenosové rychlosti v kB (a úložné kapacity potřebné pro 1 s záznamu), volného místa na disku (a související maximální možné doby nahrávání), volbu společného nebo odděleného nahrávání video/audio, nastavení priority nahrávání pro procesor počítače.

### Start/Stop nahrávání

Jednoduché přímé ovládání nahrávání obrazu nebo zvuku – ťuknutím spustit, dalším ťuknutím zastavit.



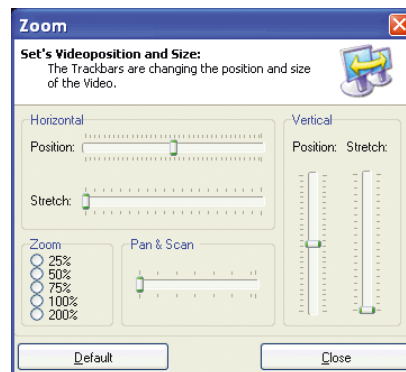
Obr. 8. Dialogové okno s doplňkovými informacemi a nastaveními pro nahrávání

### Nastavení obrazu

V menu *DVB Vieweru* jsou i další funkce k nastavení obrazu televizního vysílání. Můžete skrýt nebo zobrazit nástrojový pruh i stavový řádek, nastavit že okno zůstane vždy „nahoře“ (nepřekryté oknem jiné aplikace), nastavit poměr stran obrazu (4:3, 14:9, 16:9,

automaticky nebo vůbec – pak se mění poměr stran podle toho, jak nastavíte velikost okna myši na obrazovce). Funkce *Zoom* vyvolá dialogové okno (obr. 9), ve kterém lze nezávisle nastavit vertikálně i horizontálně pozici obrazu v okně a jeho případné roztažení (stlačení).

Protože různé grafické karty v počítači mají různé vlastnosti, lze pro získání optimálního obrazu volit i různé filtry a kombinovat je mezi sebou.



Obr. 9. Dialogové okno Zoom pro nastavení umístění a rozměru obrazu

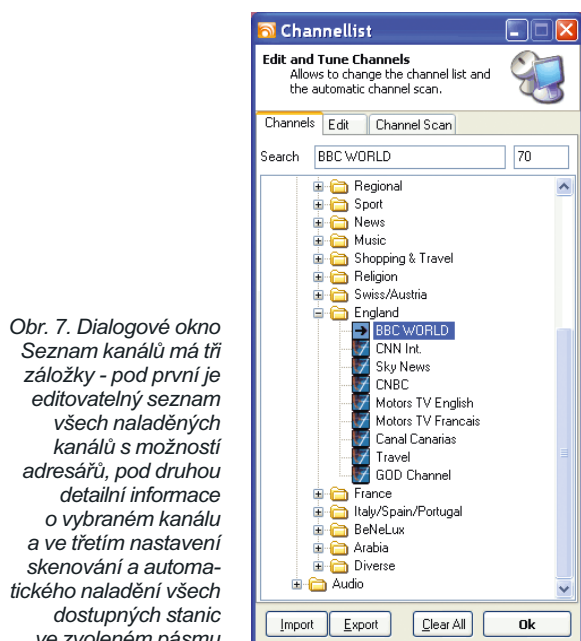
### Záznam a přehrávání

Kromě přijímaného televizního signálu umí *DVB Viewer* přehrávat libovolný videosoubor, tedy nejen ty, které sám nahrál (je k tomu zapotřebí vždy příslušný kodek). Umí přehrávat i DVD.

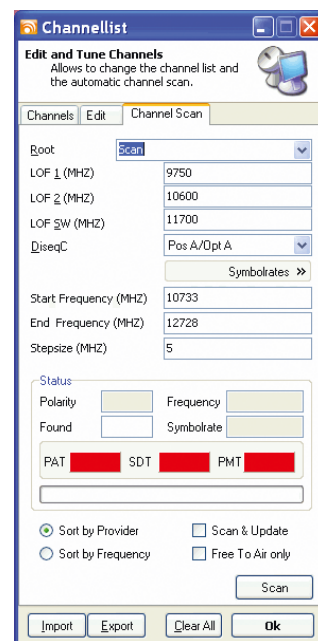
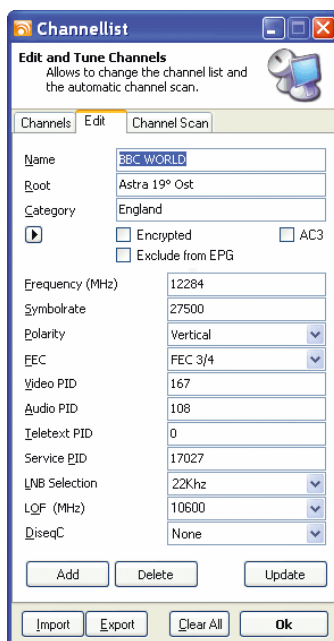
Stejně dobře lze samostatně nahrávat a přehrávat i zvukové soubory a vytvářet tzv. *playlisty*.

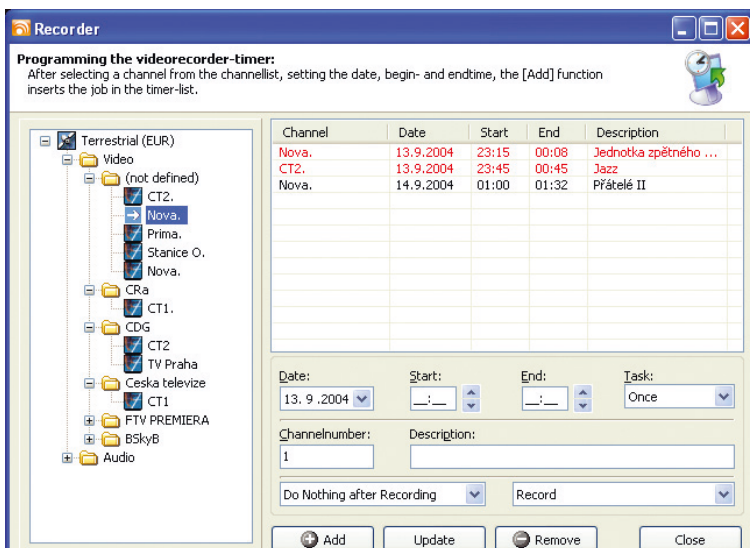
Nahrávání lze pohodlně programovat (obr. 10). Můžete i nastavit, co má program po ukončení nahrávání udělat (např. vypnout nebo „uspat“ počítač).

K pohodlnému sledování pořadů slouží tzv. *TimeShift* – pokud vás něco vyruší a musíte na chvíli od obrazovky odejít (telefon, návštěva nebo jídlo na

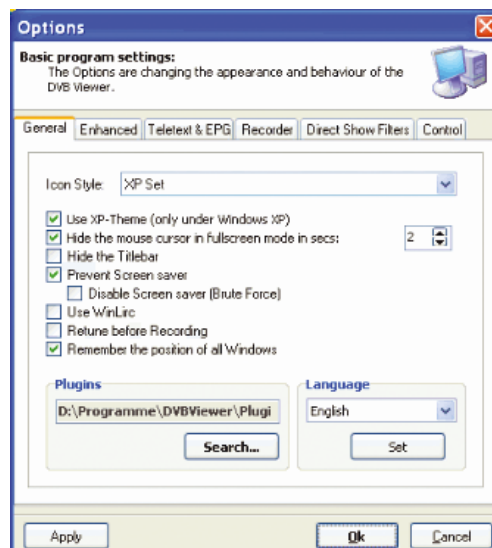


Obr. 7. Dialogové okno Seznam kanálů má tři záložky - jedna první je editovatelný seznam všech naladěných kanálů s možností adresářů, pod druhou detailní informace o vybraném kanálu a ve třetí nastavení skenování a automatického naladění všech dostupných stanic ve zvoleném pásmu



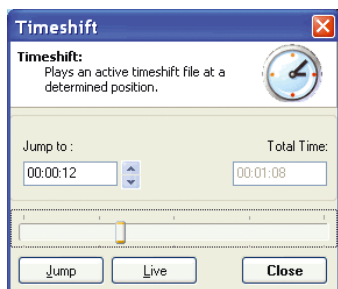


Obr. 10. Dialogové okno k programování nahrávání



Obr. 13. Základní nastavení má 6 záložek

plotně), spustíte *TimeShift* a pořad se začne nahrávat na pevný disk počítače (obr. 11). Po návratu stisknete tlačítko a pokračujete ve sledování pořadu přesně tam, kde jste přestali (pořad se stále nahrává, o nic jste nepřišli).



Obr. 11. Nastavení funkce TimeShift

### Základní nastavení

Dialogové okno pro základní nastavení *DVB Vieweru* (obr. 13) má celkem šest záložek – obecné, speciální, teletext a EPG, nahrávání, filtry *DirectShow* a ovládání. Lze zde např. nastavovat i *skin*y (vzhled přehrávače), sady ikon v nástrojovém pruhu, způsob zobrazení ovládání na obrazovce (OSD), různé technické parametry (vyžadující už hlubší technické znalosti), možnosti EPG, nastavení zobrazení teletextu (lze volit i font a jazyk, nicméně čeština zatím moc dobře nefunguje).

### Jiné způsoby ovládání

Kromě popisovaného ovládání myší z nástrojového pruhu a menu lze *DVB Viewer* ovládat i z klávesnice, z menu na obrazovce (OSD) a dálkovým ovládáním.

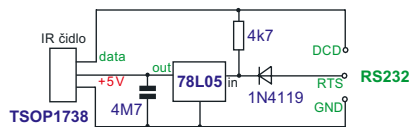
Ovládání z klávesnice je pro časté používání mnohem rychlejší a pohodlnější, než ovládání myší. Všem funkcím můžete přiřadit klávesy podle vlastní volby v základním nastavení – je to celkem téměř 100 funkcí.

Lze zde nastavit i funkci rolovacího kolečka na myši (změnu rozměru nebo

poměru stran obrazu, pohyb v seznamu kanálů nebo vybraných stanic, hlasitost).

Ze stejné tabulky lze přiřadit klávesy i pro vyvolání a ovládání menu na obrazovce (tzv. OSD, *On Screen Display*). Toto menu v obraze se dá ovládat nejen z klávesnice, ale i dálkově z infračerveného ovladače.

K dálkovému ovládání *DVB Vieweru* lze použít známý program *WinLIRC* ([winlirc.sourceforge.net](http://winlirc.sourceforge.net)), se kterým spolupracuje. Program lze ovládat prakticky libovolným dálkovým IR ovladačem, přičemž jednotlivým jeho tlačítkům můžete přiřadit kterékoliv funkce. Zapojení jednoduchého rozhraní pro připojení IR čidla k sériovému portu počítače (dostačující pro funkci *WinLIRC*) je na obr. 12.



Obr. 12. IR přijímač pro WinLIRC

### Network streaming

Tento anglický výraz je asi pro ty, koho by to mohlo zajímat, srozumitelnější, než nějaký jeho český překlad. Jde o skvělou funkci s mnoha možnostmi. Televizní signál můžete totiž pouštět do počítačové sítě LAN a všechny počítače v síti, vybavené *DVB Viewerem*, ho mohou sledovat. A to dokonce více různých stanic (z jednoho multiplexu). Je k tomu vedle TCP možné použít i protokol UDP. Jako příklad použití si představte např. domácí bezdrátovou síť WiFi (i její základní přenosová rychlost 11 Mb/s je dostačující), do které pustíte televizní signál z počítače a pak kdekoli v domě nebo na zahradě můžete sledovat televizní vysílání např. na běžném notebooku (ale s vhodným programem třeba i na PDA).

### Pluginy

Velkým přínosem plně verze *DVB Vieweru* je používání tzv. *pluginů*. Mnoho je jich k dispozici zdarma k plně verzi, další si lze zdarma nebo za poplatek stáhnout z Internetu. Zdarma je k dispozici i SDK (*Software Developer Kit*) pro tvorbu těchto *pluginů*, takže si můžete naprogramovat i svoje vlastní. Jenom velmi stručně popis několika základních *pluginů*:

*Audio Recorder* – umožňuje nezávisle na vestavěných funkcích *DVB Vieweru* přímo nahrávat audio z televizního nebo rozhlasového vysílání do formátu MP3 nebo WAV, ale i z jakéhokoliv přehrávaného souboru (lze ho tedy použít i jako konvertor).

*DVB Task Scheduler* – automaticky konvertuje naprogramované nahrávání do *Plánovače úloh* ve Windows, takže lze např. v určitý čas „probudit“ počítač, spustit *DVB Viewer* a zahájit nahrávání.

*Graph Selector* – umožňuje grafické nastavování a sestavování filtrů pro přehrávání videa.

*SleepTimer* – umožňuje naprogramovat *DVB Viewer*, aby v určitém čase vykonal zvolené funkce.

*TransEdit* – umí editovat editovat a překonvertovat některé populární formáty seznamů stanic ze satelitů pro import do *DVB Vieweru*.

*VideoRecorder* – umí několik speciálních nahrávacích funkcí, zejména nahrávání video/audio ve formátu TS (*transportstream*), což umožňuje např. nahrávat dva i více pořadů současně z různých stanic (jsou-li vysílány ve stejném multiplexu), nahrávat video se dvěma zvukovými doprovody, nahrávat pořad současně se sledováním jiné stanice ap. Patří k němu i *TSPlayer* pro pohodlné přehrávání formátu TS a jeho komponentů.

*PiP Preview* – obraz v obraze, otevře další okno a lze sledovat dvě různé televizní stanice současně (pokud vysílají ve stejném multiplexu).

# VŠE O LCD DISPLEJÍCH

Malé LCD displeje se obvykle používají u jednoúčelových zařízení, jako zobrazovací jednotky mikro-počítačů k jednoduché komunikaci s uživatelem. Jsou jich stovky různých typů a stejně tak je mnoho různých typů integrovaných obvodů, používaných k jejich buzení. Na CD-ROM o inteligentních LCD displejích (z [hw.cz](http://hw.cz)), je shromážděno velké množství informací pro práci s těmito elektronickými prvky.



CD-ROM o LCD sestavil a vydal HW server ([hw.cz](http://hw.cz)) a najdete na něm:

## Teorie LCD displejů

(vývoj LCD, technologie LCD, TN, STN, DSTN, barvy v LCD, typy řídicích matic, druhy podsvícení LCD, řadič, kontrolér a kontrolér/řadič, značení pohledového úhlu, rozdělování LCD dle vlastností).

## Aplikace a příklady zapojení

(řízení kontrastu LCD, napájení a typy podsvícení, testování modulů LCD, rozhraní H8/3334Y a HD44780, proč je vhodné pro mnoho textových aplikací použít grafické displeje, nábojová pumpa, sériová komunikace s LCD, připojení LCD displeje a klávesnice pomocí sériové komunikační linky, příklad komunikace LCD a RS232, připojení LCD na sběrniceový systém, přímé připojení LCD na I/O porty CPU, připojení LCD na paralelní port, vlastní fonty s HD44780).

## Rutiny pro obsluhu LCD

(hlavně s řadiči HD44780 pro PIC, x51, AVR či paralelního portu PC).

**Kompletní popis nejrozšířenějšího řadiče** znakových LCD displejů - HD44780.

**Katalogové listy** nejpoužívanějších LCD displejů.

**Katalogové listy** nejrozšířenějších řídicích obvodů LCD displejů.

**Odborné konference** (internetové) zabývající se problematikou LCD displejů.

**Kompletní HW konference** (do dubna roku 2002).

**Programy** pro práci s CPU řady x51 či AVR, off-line server o mikroprocesorech x51.



CD-ROM o LCD displejích je možné zakoupit v internetovém obchodě na adrese [obchod.hw.cz](http://obchod.hw.cz) za 283 Kč.

## Dělení LCD displejů

podle nejmenší rozbražované jednotky:

- znakové
  - jednořádkové
  - víceřádkové
- grafické
  - kombinace čísel
  - aktivní řídicí matice
  - pasivní řídicí matice

podle podsvícení displeje:

- nepodsvícené
- podsvícené
  - podle druhu podsvícení:
    - LED
    - EL
    - CCFL
  - podle barvy podsvícení

podle druhu zobrazení displeje:

- TN (Twisted Nematic)
- STN (Super Twisted Nematic)
- FSTN (Film-compensated STN)
- negativní
- pozitivní

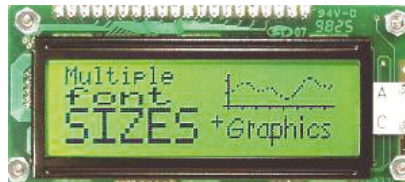
podle typu zdroje světla:

- transparentní (u přenosných PC)
- reflexní (hodinky, kalkulačky)
- projekční (projektory s LCD)

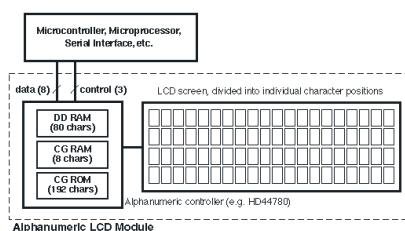
podle druhu konektoru na displeji:

- tištěný spoj s otvory v desce
- pin konektor přímý
- pin konektor 90°

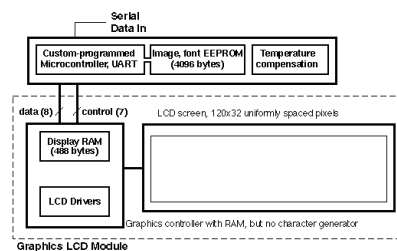
podle druhu řadiče displeje



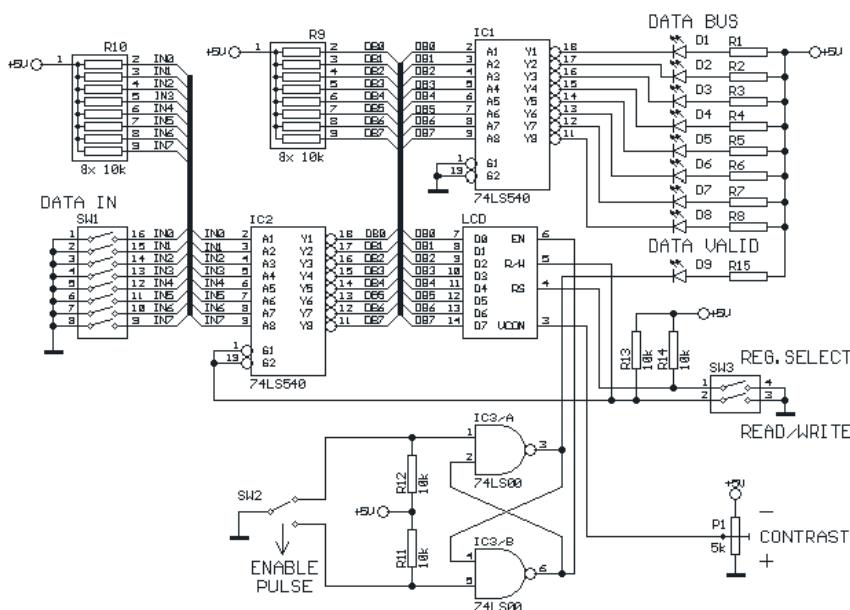
Příklad grafického LCD displeje



U znakových (tzv. alfanumerických) displejů je nejmenší zobrazitelnou jednotkou znak, jejich tvary jsou uloženy obvykle v paměti, která je součástí zobrazovacího modulu



U grafických displejů je nejmenší zobrazitelnou jednotkou jediný bod (pixel). Zobrazení znaků musí řešit software mimo zobrazovací modul (jako součást aplikace)



Zapojení pro testování zobrazovacích LCD modulů



# VHF/UHF TV MODULÁTOR

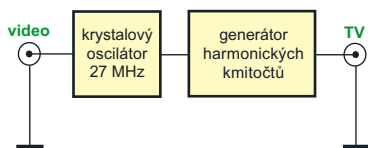
Televizní přijímač byl před dvaceti lety obvykle jediným možným monitorem k dostupným malým počítačům jako ZX Spectrum, Atari, Didactic ap. I dnes je ale často vítáno, ne-li zapotřebí, když jde počítač k televizoru připojit. Hodí se to při přehrávání filmů, hraní některých her, prohlížení obrázků z dovolené ap. Popisovaný jednoduchý UHF TV modulátor pochází z časopisu *Elektr* té doby před 20 lety, nicméně svoji funkci úspěšně jistě splní i dnes.

Televizní modulátor je v podstatě vysílač – velice malý a „slabý“. Obvykle (i v případě tohoto konstrukčního návodu) to je jednoduchý oscilátor, který generuje kmitočet někde v oblasti VHF nebo UHF. Oscilátor je modulován videesignálem z počítače a takto vzniklá modulovaná nosná vlna se pak přivádí souosým kabelem do anténního vstupu televizního přijímače. Televizor je pak nutné naladit na kmitočet signálu z TV modulátoru.

## Funkce

Ve skutečnosti to zase až tak jednoduché není, i malý vysílač musí splňovat určité požadavky. Jeho kmitočet musí být dostatečně stabilní, aby byl zaručen stabilní a kvalitní příjem televizního obrazu. Požadovanou stabilitu kmitočtu vysílače zajišťují krystalový oscilátor a pečlivě vypočítané a vybrané součástky v jeho zapojení.

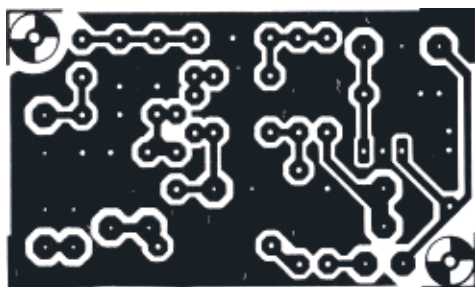
Důležitým parametrem je kmitočet generovaného signálu. V případě krystalového oscilátoru je kmitočet konstantní a nelze ho (prakticky) měnit. Přesně doladit je tedy nutné televizor a problém nastává, když se zjistí, že na (jediném) kmitočtu, který je tímto k dispozici, již nějaká televizní stanice vysílá. Výhodnější by bylo, kdyby vý-



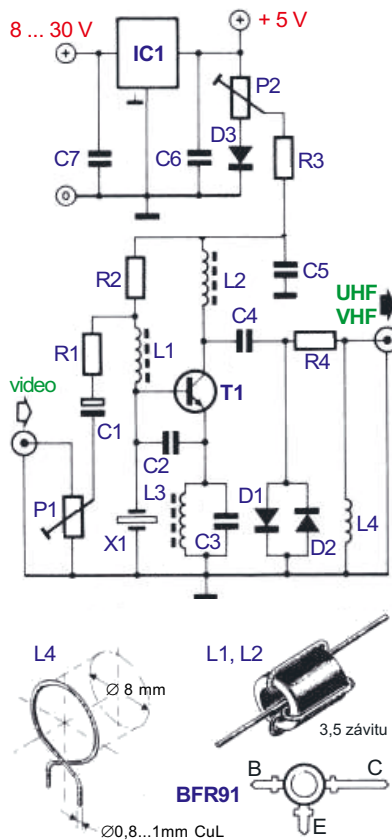
Obr. 1. Blokové schéma TV modulátoru

stupní signál modulátoru obsahoval více kmitočtů, z kterých by bylo možné si vybrat.

Blokové schéma na obr. 1 znázorňuje, jak je toho dosaženo. TV modulátor je sestaven ze dvou částí – modulovatelného krystalového oscilátoru a generátoru harmonických kmitočtů.



Obr. 3. Obrazec plošných spojů a rozmístění součástek na destičce s plošnými spoji TV modulátoru



Obr. 2. Schéma zapojení TV modulátoru, konstrukční uspořádání cívek L1, 2 a 4, zapojení vývodů tranzistoru BFR91

Oscilátor pracuje na kmitočtu 27 MHz (krystaly pro tento kmitočet jsou velmi rozšířené a levné). Generátor harmonických kmitočtů vytváří ze signálu oscilátoru kmitočtové spektrum, obsahující všechny násobky základního kmitočtu 27 MHz až asi do 1800 MHz. Výstupní signál TV modulátoru tvoří pak mnoho malých dílčích signálů (každý obsahuje kompletní modulaci). Ale spoň jeden z těchto signálů zcela jistě bude v pásmu I (kanály VHF 2-4), jeden bude v pásmu III (VHF kanály 5 – 12)

## Seznam součástek

### Rezistory:

|        |             |
|--------|-------------|
| R1, R2 | 4,7 kΩ      |
| R3, R4 | 56 Ω        |
| P1     | trimr 100 Ω |
| P2     | trimr 500 Ω |

### Kondenzátory:

|    |                 |
|----|-----------------|
| C1 | 4,7 μF/16 V     |
| C2 | 10 pF           |
| C3 | 220 pF          |
| C4 | 47 pF           |
| C5 | keramický 47 nF |
| C6 | 100 nF          |
| C7 | 330 nF          |

### Cívky:

|        |                      |
|--------|----------------------|
| L1, L2 | 3,5 z vodičem 0,2 mm |
| L3     | 1 μH                 |
| L4     | 1 z vodičem 0,8-1 mm |

### Polovodiče:

|        |        |
|--------|--------|
| D1, D2 | 1N6263 |
| D3     | 1N4148 |
| T1     | BFR91  |
| IC1    | 7805   |

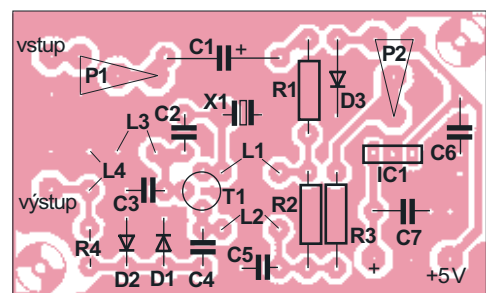
### Různé:

|    |                |
|----|----------------|
| X1 | krystal 27 MHz |
|----|----------------|

a mnoho jich bude v pásmech IV a V (UHF kanály 21 až 69).

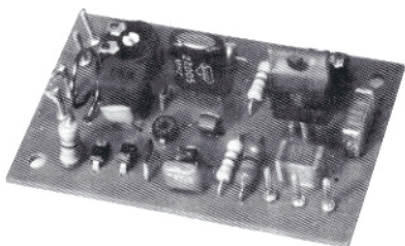
## Zapojení

Krystalový oscilátor je osazen kvalitním vf tranzistorem BFR91 (T1), který zajišťuje i amplitudovou modulaci. K jeho správné funkci je zapotřebí dodržet přesně hodnoty všech součástek v zapojení. Generátor harmonických kmitočtů tvoří dvě Schottkyho diody (D1 a D2). Tyto diody musí velmi rychle spínat v rytmu signálu 27 MHz, takže produkují silné harmonické kmitočty až do gigahertzového rozsahu. Hloubku modulace lze nastavit potenciometrem P1, napájecí napětí oscilátoru lze měnit potenciometrem P2. Kombinací těchto



# ABACUS

dvou nastavení lze vytvořit pozitivní nebo negativní amplitudovou modulaci. To je důležité proto, že na tom závisí množství generovaných harmonických kmitočtů. Zapojení lze napájet buď z libovolného nestabilizovaného stejnosměrného zdroje 8 až 30 V nebo ze stabilizovaného zdroje +5 V (to můžete vzít z počítače a v tomto případě lze napájecí obvod s IC1 vypustit).



Obr. 4. Osazená destička TV modulátoru

## Konstrukce

Malá destička s plošnými spoji, navržená pro tento obvod, je na obr. 3, její vzhled po osazení součástkami na obr. 4. Destička je jednostranná a proto není těžké si ji zhotovit svépomocí doma. Osazení destičky je snadné a nepřináší žádné problémy. I cívky, které často konstrukce ztěžují, jsou jednoduché. L1 a L2 jsou tvořeny 3,5 závitů smaltovaného měděného drátu o průměru asi 0,2 mm na feritovém válečku o průměru 3,5 mm, samonosná L4 má jediný závit měděného drátu o průměru 0,8 až 1 mm na průměru 8 mm. V obvodu bude pracovat každý harmonický krystal mezi 25 a 30 MHz. V dnešních podmínkách nejsou problémem ani v dřívějších dobách poměrně vzácné diody D1 a D2 – musí to být UHF Schottkyho diody, na typu nezáleží.

## Nastavení

Nastavení modulátoru i televizního přijímače je nutné věnovat určitou péči, nestačí jen obvyklé „nastavit vše do střední polohy“. Závisí na tom, kolikátý harmonický kmitočť oscilátor použijete. Postupujte takto:

- Nastavte televizor na maximální jas a kontrast. Přiveďte do modulátoru videosignál z počítače a propojte výstup modulátoru s anténním vstupem televizoru.

- Nastavte P2 do střední polohy a P1 na minimální odpor.

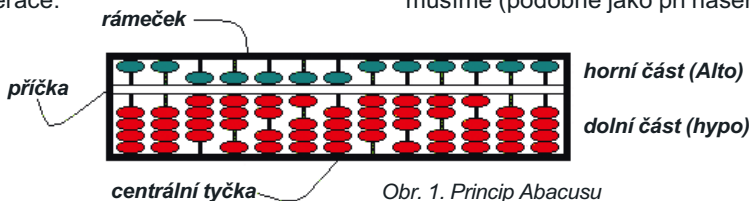
- Naladte televizor na některý z harmonických kmitočtů, nejlépe v některém z VHF pásem (kanály 2 až 12). Naladění je přesné v okamžiku, kdy zmizí „šum“ z obrazovky a obrazovka ztmavne.

- Otáčejte velmi pomalu s P1, dokud nezačne být něco vidět.

- Nastavte P2 na nejlepší možný obraz. Pokud vás výsledek neuspokojuje, pootočte P1 o kousek dál a znovu nastavte P2. Pokud ani teď není obraz vyhovující, zkuste některý další harmonický kmitočť TV modulátoru.

Slovo *Abacus* vám asi každému coss říká – je to nejstarší známý nástroj pro počítání. Byl vynalezen v Číně někdy okolo roku 500 před naším letopočtem a z určitého hlediska je tak předchůdcem našich dnešních počítačů. Japonská verze čínského Abacusu byla vytvořena asi o 2000 let později. Název *Abacus* je odvozen z řeckého *abax*, což znamená počítací destičku. Zkuste si jeho softwarovou verzi.

*Abacus* je jednoduchý dřevěný rámeček s paralelními tyčkami, na kterých jsou navlečeny korálky (obr. 1). Dříve byl ale tvořen i jen jako řádky naznačené v písku, ve kterých byly umístěny kamínky nebo lasturky. Umístění korálku (kamínku, lasturky) určuje jeho hodnotu. V tomto systému stačí poměrně malý počet korálků k vyjádření i velkých čísel. Manipulací s korálky lze vykonat všechny běžné aritmetické operace.



Obr. 1. Princip Abacusu

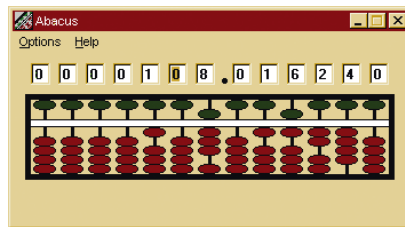
Čínská i japonská verze *Abacusu* mají dvě oddělené oblasti oddělené příčkou. Čínská verze má dva korálky v horní části a 5 v dolní části. V japonské verzi je v horní části jeden korálek (*alto*), který má hodnotu 5, a v dolní části jsou čtyři korálky (*hypo*), každý s hodnotou 1. Korálky se započítávají jejich posunutím směrem k příčce, ostatní se nepočítají. Centrální tyčka reprezentuje jednotky a používá se k vyjádření čísel 1 až 9. Tyčky vlevo od středu (včetně té centrální) se používají k vyjádření celé části čísla, přičemž každá další tyčka násobí číslici o jednotku vyšší mocninou deseti (střední tyčka je  $10^0$ ). Tyčky vpravo od středu se používají k vyjádření desetinné části čísla, přičemž každá další tyčka násobí číslici o jednotku vyšší zápornou mocninou deseti. Snadno tedy už zjistíte, že na obr. 1 je zapsáno číslo 98765,4321.

*David Brown* z Indianapolisu naprogramoval softwarovou verzi *Abacusu* (obr. 2) podle jeho japonské varianty. Korálky posouváte tak, že na ně kliknete levým tlačítkem myši. Je-li zvolený korálek neaktivní, tak se včetně všech dalších, které jsou nad ním, přisune k příčce. Je-li naopak v tu chvíli aktivní, tak se včetně všech dalších, které jsou pod ním od příčky odsune. Nad jednotlivými tyčkami s korálky jsou vidět nastavené číslice (tuto funkci samozřejmě originální *Abacus* nemá ...). Softwarový *Abacus* má ještě další pomůcku (obr. 3) – jsou to tzv. *Cheats* („šidítka“) a pak čísla zadáváte do okénka a ťukáte na operátory jako na obyčejném kalkulátoru. Korálky se podle toho pohybují. Ale to už nepočítáte na *Abacusu* ...

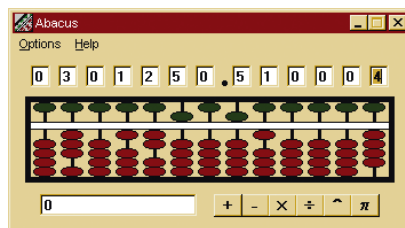
*Jak se na Abacusu počítá?*

Při sčítání i odčítání se postupuje vždy zleva doprava. Budeme-li sčítat  $13+21$ , nastavíme nejdříve číslo 13 (tři korálky na centrální tyčce a jeden na první vlevo), a pak přidáme 21 (další 1 na centrální tyčce a 2 na první vlevo). Výsledek je jasný – 4 korálky na centrální tyčce a 3 na první vlevo, tj. 34. To bylo jednoduché. Složitější je to, když už tolik korálků není k dispozici. Potom musíme (podobně jako při našem sčítání pod sebou na papíře) převést jednotku o řád výše. To je vždycky „za 10“, takže musíme potom upravit počet korálků na původní tyčce tak, aby vše souhlasilo.

Při odčítání se postupuje podobně. Budeme-li odčítat  $24-19$ , nastavíme nejdříve číslo 24 (čtyři korálky na centrální tyčce a dva na první vlevo) a pak ubereme 19. To už není tak jednoduché, na centrální tyčce není tolik korálků, abychom jich mohli 9 ubrat. Takže ubereme celých deset, tj. ubereme 1 korálek z první další tyčky vlevo, a na centrální tyčce jeden přidáme. Z první tyčky vlevo pak ubereme ještě jeden další (za desítky z čísla 19). Zůstalo nám 5 korálků na centrální tyčce a jinak nic, výsledek je tedy 5 – bravo. Měli to dříve jednoduché, že ...



Obr. 2. Softwarový Abacus ...



Obr. 3. ... a zobrazená „šidítka“

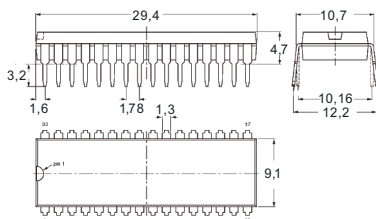
# USB z dvoudrátové sběrnice I<sup>2</sup>C

**Integrovaný obvod PDIUSB11 se sériovým rozhraním I<sup>2</sup>C od firmy Philips Semiconductor umožňuje doplnit k prakticky jakémukoliv mikropočítači (mikrořadiči) rozhraní USB (má čtyři výstupní porty USB).**

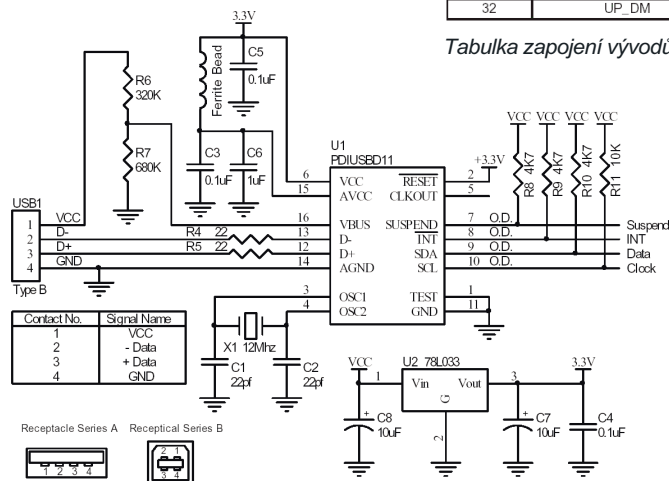
Zajišťuje všechny typy USB přenosů (*Control, Bulk a Interrupt*) kromě isochronního. Jeho rozhraní I<sup>2</sup>C lze časovat maximálně na 1 Mb/s s teoretickou maximální rychlostí přenosu 568 kB/s, což znamená, že komunikace mezi mikropočítačem a PDIUSB11 je poněkud pomalejší než 12 Mb/s, dosažitelných u zařízení s USB 1.0.

Kromě zmíněných rozhraní USB 1.0 a I<sup>2</sup>C splňuje obvod specifikace pro *USB Human Input Device* a *Monitor Control Class*.

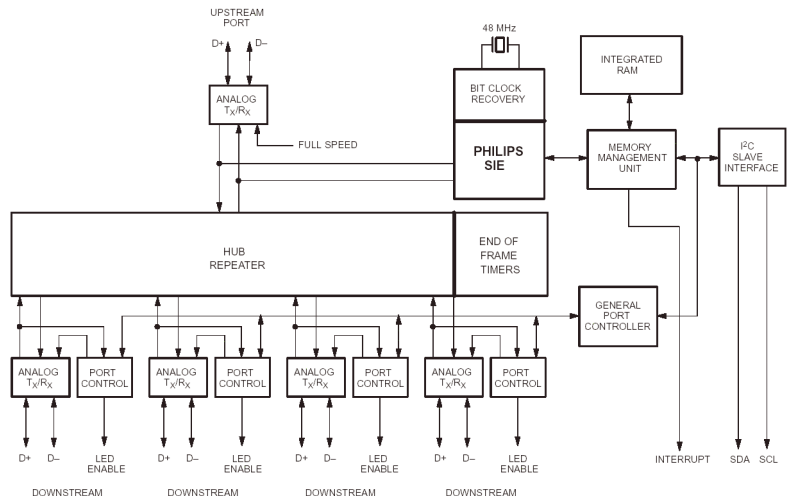
Integrovaný obvod PDIUSB11 je napájen napětím 3,3 V, ale může pracovat i s logickými úrovněmi 5 V. Jediné, co je tedy zapotřebí pro připojení k TTL logice (5 V), je malý stabilizátor napájecího napětí na 3,3 V (který se připojí na +5 V mikropočítače). Vývody I/O jsou s otevřeným kolektorem, takže při odporech připojených na napájení 5 V jsou výstupy v TTL logice. K vytvoření hodinového kmitočtu 48 MHz se používá krystal 12 MHz a zabudovaná PLL. Je to levnější, než krystal 48 MHz a snižuje se i nežádoucí vyzařování. Spotřeba obvodu během normálního provozu je 25 mA.



Obr. 1. Rozměry pouzdra PDIUSB11



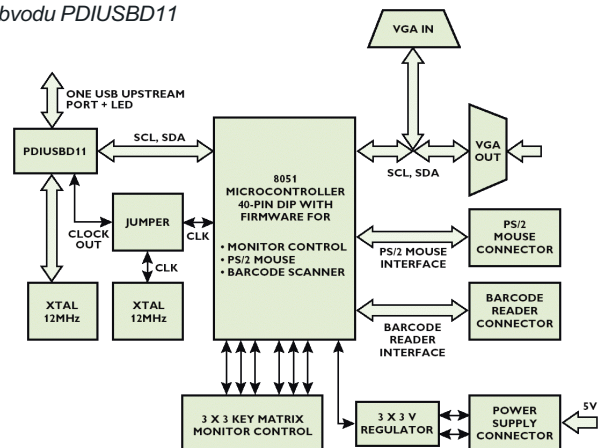
Obr. 2. Příklad konkrétního zapojení s obvodem PDIUSB11



Obr. 3. Blokové schéma vnitřního zapojení integrovaného obvodu PDIUSB11

| PIN NO | PIN SYMBOL       | I/O   | DRIVE | NAME AND FUNCTION                           |
|--------|------------------|-------|-------|---------------------------------------------|
| 1      | TEST1            | I     |       | Connect to Ground                           |
| 2      | TEST2            | I     |       | Connect to Ground                           |
| 3      | TEST3            | I     |       | Connect to Ground                           |
| 4      | RESET_N          | I     | ST    | Power-on reset                              |
| 5      | GND              | POWER |       | Ground reference                            |
| 6      | XTAL1            | I/O   |       | Crystal connection 1 (48MHz)                |
| 7      | XTAL2            | I/O   |       | Crystal connection 2 (48MHz)                |
| 8      | CLK12MHZ         | O     | 2mA   | 12MHz output clock for external devices     |
| 9      | V <sub>CC</sub>  | POWER |       | Voltage supply 3.3V ± 0.3V                  |
| 10     | OCURRENT_N       | I     | ST    | Over-current notice to the device           |
| 11     | SWITCH_N         | O     | OD8   | Enables power to downstream ports           |
| 12     | SUSPEND          | O     | 4mA   | Device is in suspended state                |
| 13     | DN2_EN_N         | O     | OD8   | Downstream port 2 LED enable indicator      |
| 14     | DN3_EN_N         | O     | OD8   | Downstream port 3 LED enable indicator      |
| 15     | DN4_EN_N         | O     | OD8   | Downstream port 4 LED enable indicator      |
| 16     | DN5_EN_N         | O     | OD8   | Downstream port 5 LED enable indicator      |
| 17     | INT_N            | O     | OD4   | Connect to microcontroller interrupt        |
| 18     | SDA              | I/O   | OD4   | I <sup>2</sup> C bi-directional data        |
| 19     | SCL              | I/O   | OD4   | I <sup>2</sup> C bit-clock                  |
| 20     | GND              | POWER |       | Ground reference                            |
| 21     | DN5_DP           | A/I/O |       | Downstream port 5 D <sup>+</sup> connection |
| 22     | DN5_DM           | A/I/O |       | Downstream port 5 D <sup>-</sup> connection |
| 23     | DN4_DP           | A/I/O |       | Downstream port 4 D <sup>+</sup> connection |
| 24     | DN4_DM           | A/I/O |       | Downstream port 4 D <sup>-</sup> connection |
| 25     | DN3_DP           | A/I/O |       | Downstream port 3 D <sup>+</sup> connection |
| 26     | DN3_DM           | A/I/O |       | Downstream port 3 D <sup>-</sup> connection |
| 27     | DN2_DP           | A/I/O |       | Downstream port 2 D <sup>+</sup> connection |
| 28     | DN2_DM           | A/I/O |       | Downstream port 2 D <sup>-</sup> connection |
| 29     | AGND             | POWER |       | Analog Ground reference                     |
| 30     | AV <sub>CC</sub> | POWER |       | Analog voltage supply 3.3V ± 0.3V           |
| 31     | UP_DP            | A/I/O |       | Upstream D <sup>+</sup> connection          |
| 32     | UP_DM            | A/I/O |       | Upstream D <sup>-</sup> connection          |

Tabulka zapojení vývodů obvodu PDIUSB11



Obr. 4. Blokové schéma připojení PDIUSB11 k mikropočítači

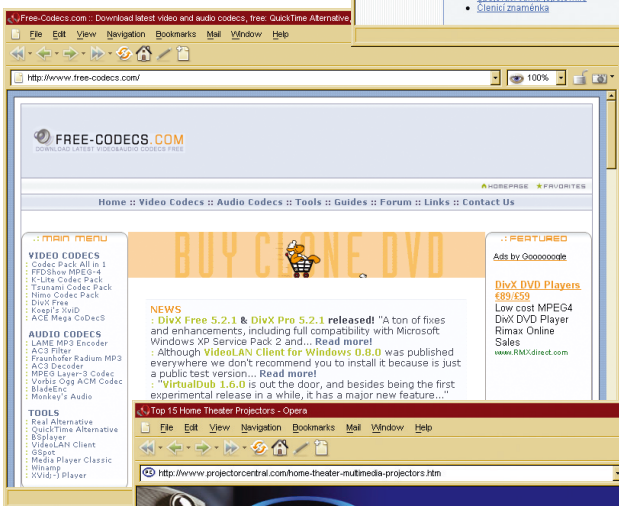


# ZAJÍMAVÉ WEBY

Přinášíme další várku webových adres, které by se vám mohly hodit. *The Funfactory (továrna na legraci)*, provozovaná známým autorem freewaru holanďanem Janem Verhoevenem na adrese <http://jansfreeware.com/funfactory> je plná odkazů na zdarma dostupné flashové hry a emulátory herních konzolí. Na stránkách [www.pravidla.cz](http://www.pravidla.cz) se kdykoliv dozvíte, jak se slovo správně česky píše a říká, na [www.planetky.cz](http://www.planetky.cz) zase kdy se konečně se Zemí srazí nějaký asteroid (ne, je to seriózní astronomický web o malých tělesech v naší sluneční soustavě). Nejnovější kodeky pro



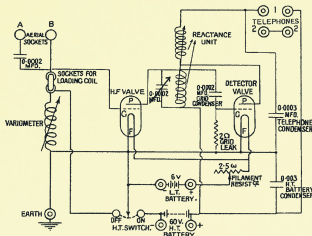
*Pravidla.cz vám kdykoliv poradí s českým pravopisem*



přehrávání videa a audia v nejrůznějších formátech najdete zase zdarma na stránkách [www.free-codecs.com](http://www.free-codecs.com). Možná uvažujete o tom, že byste si k letošním vánocům nadělili datový videoprojektor - potom na webových stránkách [www.projectorcentral.com](http://www.projectorcentral.com) najdete podrobný přehled projektorů podle účelu i výrobců i možnost mezi sebou zvolené typy pohodlně porovnávat na jedné stránce.



*Přehled DLP i LCD projektorů najdete na Projector Central*



# RÁDIO „HISTORIE“

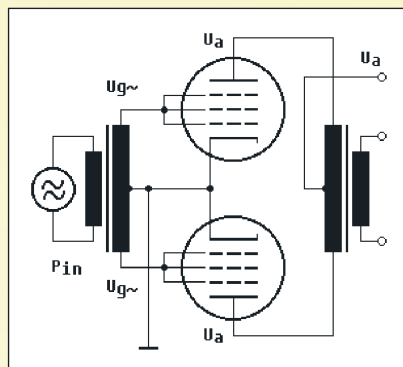
## Elektronka RL12P35

Adam Němček, OK2-36091

O této 180gramové elektronce již bylo napsáno mnoho, také na Internetu jsou zajímavé odkazy na tuto součástku. V tomto článku se ji pokusím představit poněkud jinak. V dnešní době lze tuto elektronku získat především z inkurantních radiostanic nebo také koupit např. na internetovém aukčním portálu eBay (ceny kolem 50 \$), popř. u některého ze sběratelů. Předchůdcem této elektronky byl typ RS287.

Přesto získat ucelené katalogové údaje, popř. doporučené schéma zapojení pro různé použití je dnes velký problém. Nepředpokládám, že si dnes někdo tyto elektronky sežene a

bude se s nimi snažit něco postavit, nicméně kdo má jako já nějaké zařízení, které je obsahuje, jistě rád uvítá následující informace i příklad. Hodně informací o válečných elektron-



Obr. 2. Blokové schéma koncového stupně ve třídě B2

kách lze najít pomocí [1], jedním z výsledků je [2], kde jsem taky začal. Takže uvádím tab. 1 základních parametrů RL12P35, jak jsem je získal pátráním na Internetu a měřením, mnohdy je však elektronka provozována za jiných podmínek. Pokud máte zájem o katalogové listy těchto elektronek v PDF, stáhněte si je z [4].

Předpokládám, že se vyskytnou (mnohé) výhrady k uvedeným informacím, a rád uvítám každý komentář.

### RL12P35 jako nízkofrekvenční zesilovač

Tyto elektronky byly určeny především pro PA stupně do vysílačů. Ovšem jak se po válce objevily jako dostupné inkuranty, začaly se využívat i mimo původní oblast určení. Místo popisu rádiového přístroje se budu věnovat historickému nf zesilovači, který jsem před časem získal a který se mi podařilo restaurovat. Kromě koncového stupně s dvě-

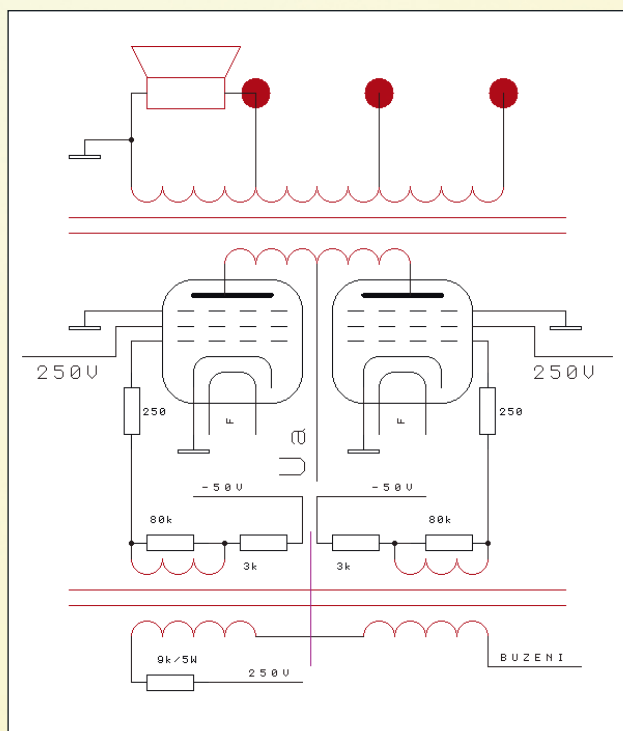


Obr. 1. Fotografie mého historického nf zesilovače s elektronkami RL12P35

Obr. 3. Schéma zapojení koncového stupně (vpravo)

Tab. 1. Parametry RL12P35 - vysílací a modulační nepřímohřevné pentody

| parametr        | popis                                         | hodnoty                                 |
|-----------------|-----------------------------------------------|-----------------------------------------|
| $U_i$           | žhavení, nepřímé                              | 12,6 V<br>(max. 13,5 V) 0,63 A          |
| $U_a$           | anodové napětí                                | typ. 600 V<br>(800 V dle druhu provozu) |
| $I_a$           | anodový proud                                 | typ. 60 mA                              |
| $U_s$           | napětí na stínící mřížce                      | 200 V                                   |
| $I_s$           | proud stínící mřížkou                         | 6 mA                                    |
| $P_s$           | dovolená ztráta na stínící mřížce             | 5 W                                     |
| $I_k$           | katodový proud                                | 150 mA                                  |
| $R_k$           | katodový odpor                                | 570 $\Omega$                            |
| $R_v$           | vnitřní odpor systému                         | typ. 30 k $\Omega$                      |
| $U_g$           | předpětí řídicí mřížky                        | -28 až -32 V                            |
| $S$             | strmost                                       | 3,4 mA/V                                |
| $\lambda_{max}$ | max. vlnová délka                             | do 4,5 m                                |
| $U_{kf}$        | max. rozdílové napětí mezi katodou a žhavením | max. 100 V                              |





ma elektronkami RL12P35 obsahuje i některé další zajímavé elektronky, které se pokusím také trochu přiblížit.

V [2] je např. zmíněno použití RL12P35 jako zesilovače ve třídě B2 (obr. 2), jenž je schopen dodat až 225 W výstupního výkonu při  $U_a = 1250$  V a  $P_{in} = 5$  W, což by určitě stálo za vyzkoušení, nicméně se obávám čistoty (zkreslení) zvuku.

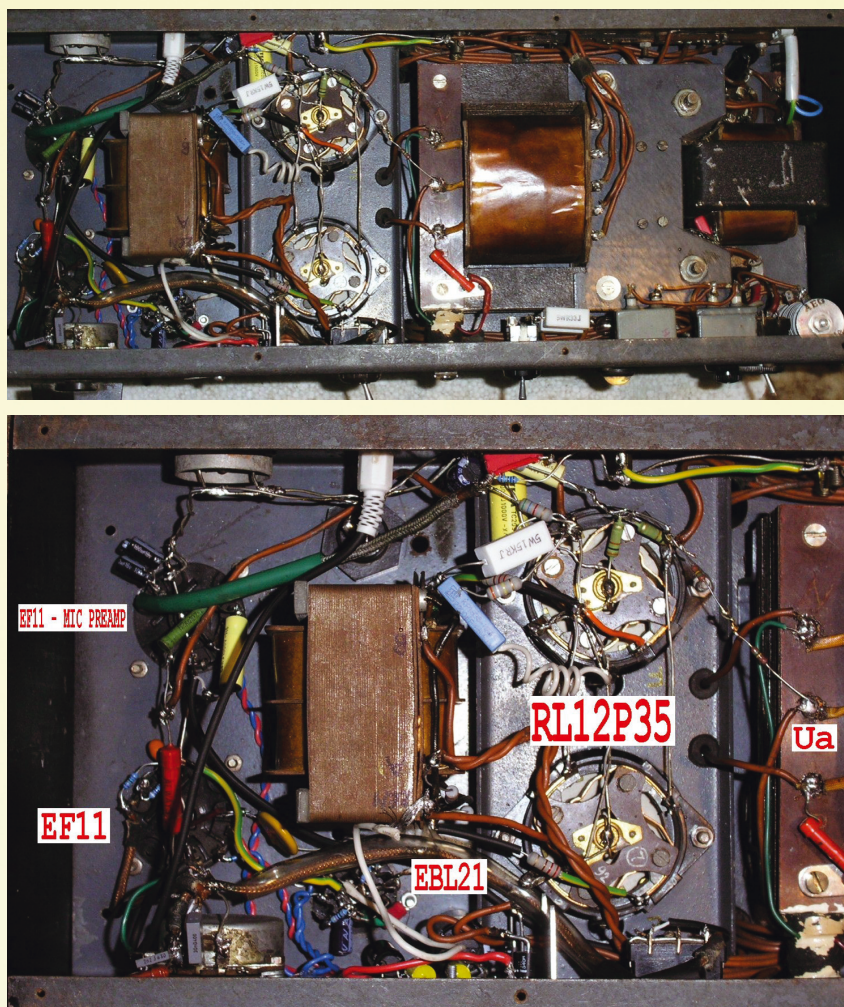
Toto zapojení jsem nezkoušel, zato jeho poměrně upravenou verzi ano. Základní princip je však zachován, pouze jsem určil pracovní bod elektronek a zavedl 250 V na střední mřížku. Také je zajímavěji vyřešeno buzení elektronek, na jejich řídicí mřížku je trvale přiváděno záporné předpětí (každá má svůj samostatný nastavitelný zdroj), které je modulováno transformátorem, čímž je vtipně vyřešeno buzení každé elektronky jen půlvlnou. Transformátor je buzen z předcházejícího zesilovacího stupně (viz dále). Předpětí je získáváno usměrněním ze síťového transformátoru, a to pomocí selenového sloupce od firmy AEG.

Podle katalogu pro RL12P35, oddíl 6 (Gitterspannungsmodulation) by mělo být předpětí od  $-60$  V do  $-100$  V, já jsem zvolil  $-60$  V. Amplituda nf signálu by měla být 25 V. Proud je asi 4 mA. Podle katalogu lze dosáhnout výkonu od 12 do 50 W s jednou elektronkou (obr. 3). Je pravděpodobné, že takovýto zesilovač si po válce mohl postavit ne jeden radioamatér, který se dostal k potřebným součástkám.

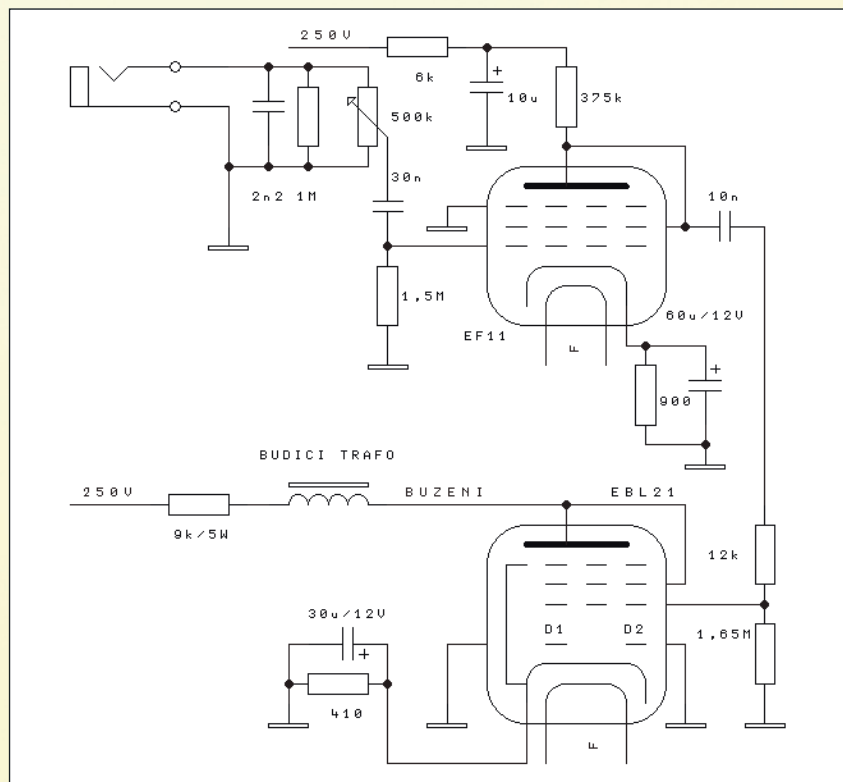
Další konstrukční zajímavostí je budič transformátor. Obsahuje dva cívkové oddíly na společném jádře EI, tak jak je vidět na schématu (odděleny fialovou čarou). Navíjecí předpis transformátoru nemám k dispozici, jediné dostupné údaje jsou na něm uvedené: *Zub. Bv. 7134129 / Ausg. III*. V principu jde o to, že budič transformátor je rozdělen na dvě sériově propojené části, kde každá má vazbu s jí příslušející cívkou, která už moduluje předpětí přiváděné na elektronku RL12P35. Vhodným způsobem vinutí a zapojením začátků a konců cívek se dosáhlo toho, že koncové elektronky dostávají jen příslušnou část signálu.

Tento transformátor je buzen elektronkou EBL21, kterou vyráběla továrna Philips a později také TESLA. Jedná se o koncovou pentodu (zesilovač třídy A) v kombinaci s dvěma diodami (určené zřejmě jako detektor pro AGC). V mém případě je elektronka provozována pouze jako zesilovač, dodávající potřebný výkon pro buzení. Předchází jí ještě předzesilovač s EF11 (obr. 5).

Katalogový list pro elektronku EF11 není problém sehnat, stačí použít [1]. Pro elektronku EBL21 jsem jej nenalezl.

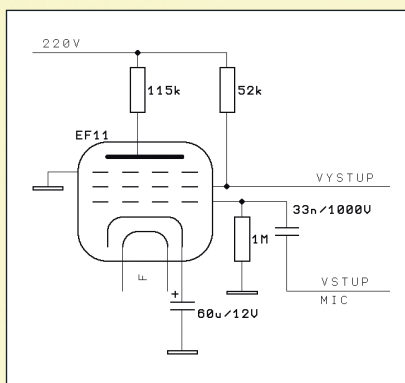


Obr. 4. Pohled zespu na šasi nf zesilovače - celkový (nahore) a detail s ob-  
jimkami elektronek (dole)

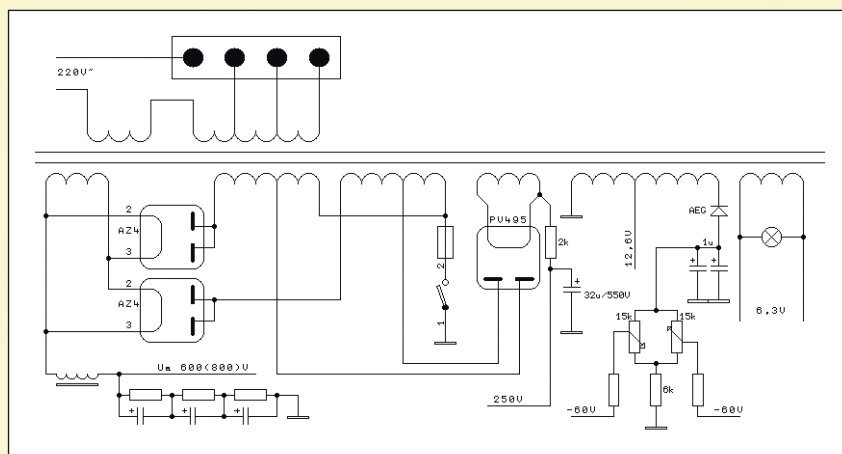


Obr. 5. Schéma předzesilovače s elektronkou EF11 a budiče s EBL21





Obr. 6. Schéma zapojení mikrofonního předzesilovače s elektronkou EF11



Obr. 7. Schéma zapojení napájecího zdroje

Další částí zesilovače je předzesilovač pro mikrofon, včetně zvláštního konektoru. Předzesilovač je osazen opět elektronkou EF11 a jeho výstup je přes přepínač G/M přiveden přímo na vstup potenciometru pro nastavování hlasitosti (obr. 6).

Odběr zesilovače je 80 W při zhavení a po zapojení anodového napětí (sepnutí spínače, který připojí zem k vinutí transformátoru) odběr stoupne asi na 130 W.

Zdroj je napájen jediným transformátorem, který je rozdělen na dvě sekce z důvodu velkého počtu jednotlivých vinutí. Anodové usměrňovací elektronky jsou dvě A24 a pomocné anodové napětí usměrňuje PV495, což je baryový usměrňovač od firmy Tungstam, žhavený 4 V a anodové napětí může mít až 300 V. Transfor-

mátor obsahuje celkem 13 vinutí (obr. 7).

Zesilovač funguje i po letech výborně, ale jeden problém je se stárnutím kondenzátorů a druhý se současným zvýšeným napětím v síti. První z problémů byl poněkud oříšek, protože skoro všechny kondenzátory měly kapacitu, která dnes není v řadě. Některé kondenzátory se mi nepodařilo identifikovat, některé vyrobila firma Bosch anebo například Always. Někde pomohlo použití nejbližšího z řady a přepočítání následujícího rezistoru a u filtračních kondenzátorů to bylo nejjednodušší. Druhý problém způsobil přesycování jádra síťového transformátoru (je navrhnutý na 220 V), což zapříčinilo jednak mnohem větší vztlčení všech napětí a

také vznik mechanických vibrací, což se obojí projevilo na průniku brumu do výsledného zesíleného signálu. Pomohla dodatečná filtrace anodového napětí, stabilizace žhavicího napětí a konečně umístění budicího transformátoru na silentbloky z tvrdé pryže. Přesto se mi nepodařilo úplně eliminovat vliv vibrací na brum.

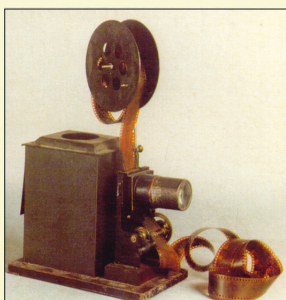
E-mail na autora článku:  
icansoft@seznam.cz

### Prameny

- [1] <http://www.google.com>
- [2] <http://www.ginko.de/user/franz.hamberger/roehren/>
- [3] Články R. Balka (PE, AR 1999).
- [4] <http://tubes.zde.cz>

## Výstava „Historické ucho“ 14.-17. 10. 2004

- starožitné rádiá
- kotúčové magnetofóny
- dobové premietačky
- 100 ročný gramofón a ďalšie kľukové gramofóny
- starodávna rozhlasová ústredňa
- hracie strojčky
- starožitné trojkolky



Dekorační obrázky jsou převzaty z italského časopisu *Antique radio* č. 32/199 a 52/02. Vlevo promítač Messner (Viedeň, 1904), nahore dáma u italského přijímače Siare 404A z r. 1940. Viz [www.antiqueradio.it](http://www.antiqueradio.it)



IV. ročník výstavy „Historické ucho“ sa koná v Novej Dubnici (u hraníc s ČR) v budove Požiarnej zbrojnice v dňoch: 14. 10. (11-18 h), 15. 10. (9-18 h), 16. 10. (9-18 h) a 17. 10. (10-16 h). Viac informácií na [www.lord.sk](http://www.lord.sk) alebo na telefónnom čísle 042/44 33 051.

## Pravidelná setkání radioamatérů a příznivců CB v Kladně

V restauraci U Dvořáků na Kladně se konají pravidelné radioamaterská a CB setkání, vždy **třetí sobotu v měsíci** (kromě června, července a srpna). Vstup je volný, začátek ve 13 hodin místního času. Koncem prosince se pak koná tradiční předsilvestrovské kladenské radioamaterské setkání.

Restaurace U Dvořáků je v ulici Cyrila Boudy, č. 1647. Mapky s vyznačením polohy restaurace U Dvořáků najdete na <http://www.qsl.net/ok1dub/setkani>. Navigace na kmitočtu 145,4125 MHz nebo na mobilním telefonu +420 602 380 503.

Pokud chcete být pravidelně informováni o konání těchto setkání e-mailem, SMS zprávami nebo via paket rádio, napište na

[ok1dub@volny.cz](mailto:ok1dub@volny.cz)

nebo paketem na

[OK1DUB@OK0PPL.#BOH.CZE.EU](mailto:OK1DUB@OK0PPL.#BOH.CZE.EU)

případně SMSkou na

**+420 602 380 503**

a budete zařazeni do mail-listu.

Silva, OK1CEP, a Mirek, OK1DUB

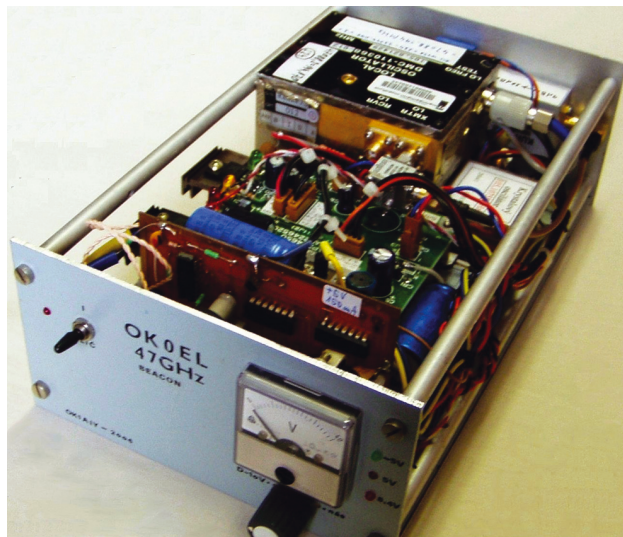
## Třetí „kontrolní den“ na mikrovlnách – tentokrát v pásmu 47 GHz

Pavel Šír, OK1AIY



Obr. 1. Z mikrovlnného setkání na Kozákově 2004. Parabola vlevo je Ø 25 cm (OK1UFL), modrá vpravo Ø 45 cm u zařízení OK1FPC (vše pro pásmo 47 GHz)

Obr. 2. Maják OK0EL pro pásmo 47 GHz, konstrukce OK1AIY z r. 2004, vysílá na kmitočtu 47 088,200 MHz, umístěn na kótě Žalý v lokátoru JO70SQ (vpravo)



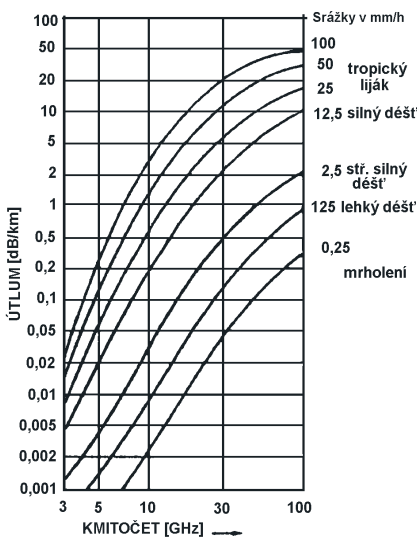
Nejlepší způsob, jak otestovat různá zařízení, je kromě přesného proměření na odpovídajících přístrojích praktické srovnání v terénu. Prováděli jsme to v minulosti již několikrát a další náhodná možnost se naskytla 24. 4. 2004 při příležitosti radioamatérského setkání na Kozákově. Valná většina účastníků sem přijíždí proto, aby se potkali se „spřízněnými dušemi“ či nakoupili nebo prodali nějaký ten více či méně kvalitní „šrot“, ale je tu i příležitost z hezkého kopce např. poslechnout nějaký ten maják a provést výše uvedené praktické pokusy.

Tentokrát to bylo v mikrovlnném pásmu 47 088 MHz. Pásmo o vlnové délce 0,64 cm není nové. S OK1UFL na něm pracujeme již 9 let a prakticky v každém závodě navazujeme soutěžní spojení. Pracujeme SSB nebo CW podle potřeby, překlenuté vzdálenosti byly nanejvýš 13 km, protože použité výkony jsou vzhledem k jednoduché konstrukci jen řádu jednotek či desítek mikrowattů. Technika jde ale kupředu opravdu mílovými kroky, což vidíme například v pásmu 24 GHz, kde rovněž býval úplný klid a při závodě se dělalo zprvu jen jedno spojení. V posledních několika letech nastoupil boom i v tomto pásmu, a protože jsou k dispozici větší výkony a zařízení si lze i koupit celé či v dílech, stalo se pro více zájemců dostupné a dokonce se zde pracuje i EME.

Je předpoklad, že podobně tomu bude i v pásmu 47 GHz a soustavná práce vyžaduje potřebné přístroje a pomůcky. Nejeфекtivnější takovou pomůckou je maják – tak jako na všech ostatních nižších pásmech, který by umožnil trvalé sledování alespoň v okruhu několika kilometrů. Takové zařízení bylo kolektivně zhotoveno a spuštěno zkušebně 22. 4. 2004 na kótě Žalý – 1021 m n. m. Výkon větší než 10 mW byl pomocí jen několika centimet-

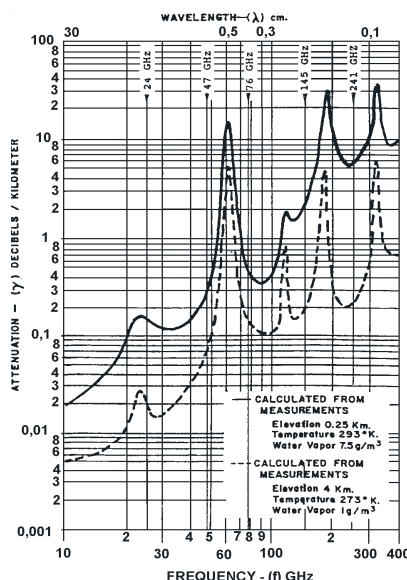
rů dlouhé antény typu „horn“ vyslán právě ve směru ke Kozákovu.

Signál jsme poslouchali na 3 různá zařízení v uspokojivé úrovni, vyzkoušeli stabilitu kmitočtů a během několika minut i pozorovali změnu signálu v závislosti na počasí, které zrovna příznivé nebylo. V průběhu několika dalších dnů bylo možné beze spěchu provést řadu velmi užitečných pokusů. Překvapením bylo, že maják byl slyšitelný v různých silách i tam, kam zmíněná horna ani nemířila – např. z úhlu 90° z boku, v horském údolí 3 km daleko, jen ve výšce 500 m n. m. a dokonce v místech krytých kamennou zdí. Prakticky byl signál registrovaný všude, odkud bylo na vrch kopce vidět. Další pokus byl z jedoucího auta. Poslech signálu byl doprovázen odpovídajícím Dopplerovým jevem, ale pokus bude ještě zo-



Obr. 3. Vliv deště na šíření mikrovln

pakován za současného srovnání s pásmo 10 a 24 GHz. Chyběla totiž stále alespoň jedna ruka. Přímou senzací bylo sledovat rain scatter ze vzdálenosti asi 7 km. Na úbočí Žalého přšlo, mraky typu fractocumulus (neboli cumulus fractus, „zlámané“ mraky) se pomalu pohybovaly a bylo vidět i pouhým okem, co se na trase přesně děje. Ve chvíli, kdy mrak zakryl vrchol kopce, zmizel zcela přímý signál a převládal typický rozptýlený. Čitelnost byla výborná, i když je klíčování F1 (odskok kmitočtů asi 5 kHz). Pak se v mraku objevila skulina a opticky bylo možné vrch kopce vidět – ihned se objevil přímý signál a rozptýl bylo slyšet zleva i zprava a bylo si možné vybrat místo odrazu. (Dalekohledem přípevněným k transvertoru.)



Obr. 4. Vliv obsahu vodní páry a kyslíku v atmosféře na útlum v šíření mikrovln



# Počítač v ham-shacku XIV

(Pokračování)

## Logovací režim a ovládání programu

Již bylo řečeno, že ovládání programu musí být intuitivní a nesmí operátora zaměstnávat či rozptylovat jeho pozornost. Je třeba mít na paměti, že na program se operátor (možná i mimoděk) bude dívat dlouhé hodiny. Obrazovka hřící barvami může být někdy na závadu, zvláště pokud od ní bolí oči. Poměrně protichůdný je požadavek na to, aby deník kdykoli poskytoval on-line informace nejrůznějšího druhu a operátor je neměl zdlouhavě hledat.

Práce s deníkem musí mít svoji logiku. Primárním cílem je logování s minimem psaní na klávesnici. Právě logovací režim, resp. ovládání programu však obsahuje zpravidla nejvíce nedostatků. Je nejdůležitější částí programu a měl by umožňovat zadávání dat dvěma způsoby – zadávání dat v reálném čase a dodatečný zápis dat a jejich změny (editační režim).

## Zadávání dat v reálném čase

Slouží k zadávání dat během spojení. Zásadou by mělo být, že se wpisují jen údaje, které nelze získat jinak než odposlechnutím během spojení. Další data jsou buď poskytována systémem (čas, kmitočety a druh provozu z TCVR), nebo přebírána z vnějších zdrojů (externí databáze, CD-ROM) v závislosti na vepsaných údajích nebo na datech, poskytnutých systémem. Maximální důraz je třeba klást na přísnou logiku, zahrnující vazby mezi jednotlivými údaji. I když se jedná o zdánlivou samozřejmost, nefungoval dosud žádný program podle očekávání.

Pro přehlednost rozdělíme údaje logovací obrazovky do tří skupin:

- Údaje, které nelze odečíst z žádného vnějšího zdroje (databáze apod.) – tím je pouze značka protistanice, report a případná poznámka, která má vztah pouze k zapisovanému spojení.

- Údaje, poskytované systémem – datum a čas spojení. Pásmo (kmitočety) a druh provozu sem patří také za předpokladu, že transceiver je schopný počítači poskytnout příslušná data. Samozřejmostí je trvalé zobrazení běžících hodin (úda-

je na sekundu) a možnost volitelně zobrazovat kmitočety se stanoveným počtem desetinných míst, případně pásmo v MHz nebo v metrech.

- Údaje, získané z vnějších zdrojů na základě logických vazeb s již známými údaji z obou předcházejících skupin – sem patří forma přijatého a odeslaného reportu (CW, SSB), jméno, QTH (s případným státem USA), země DXCC, prefix, WAZ a ITU zóna, lokátor, použitý satelit, vzdálenost, azimut, místní čas protistanice, místní východ a západ Slunce s případným upozorněním na grayline, údaje o tom, na kterých pásmech danou zemi DXCC, WAZ a ITU zónu, prefix a lokátor již máme a kde nám chybí, na kolika pásmech máme s danou stanicí spojení, kolik QSO celkem máme s danou stanicí, detaily posledních x QSO s danou stanicí (x volitelně), veškerá QSL agenda k dané stanicí (odeslané, obdržené QSL), členství stanice v klubech, další geografická identifikace stanice (provincie, DOK, oblast, okres, stát atd.).

Zadávání dat v reálném čase musí mít, jak již bylo řečeno, svoji logiku. Musí být především stejně jednoduché, jako zápis textu v nejjednodušším textovém editoru a musí také respektovat základní

vlastnosti zapisovaných údajů. Svoji logiku musí mít i způsob získávání dat – musí existovat volitelná možnost data nejen vždy vypsat, ale i kopírovat z předchozího QSO, z předchozího QSO s toutéž stanicí, z relační databáze nebo z datového souboru na CD-ROM.

**ZNAČKA** protistanice může obsahovat pouze velká písmena (26 znaků anglické abecedy), číslice a lomítko (/). Jiné znaky se nemožou vyskytnout. Je proto zbytečné, spíš dokonce na závadu, pokud program dovoluje zapsat např. malá písmena, tečky, závorky, znaky ! @ # \$ % ^ & \* , ; : „ a samozřejmě mezeru. Vlastnosti značky lze využít, např. pole pro její zápis lze opustit mezerníkem, což je velmi výhodné z ergonomického hlediska – pokud bychom spojení zapisovali v jednoduchém editoru (v textovém režimu), uděláme naprosto automaticky za značkou mezeru, navíc mezerník je prakticky u všech klávesnic velká klávesa.

Deník také musí umět rozpoznat značku bez ohledu na /P, /M apod. – měl by umět značku vyhodnotit jako jednu stanicí. Tato možnost by měla být volitelná – pro řadu diplomů je nutné rozlišovat mezi stanicí, pracující z domácího QTH či /P, u jiných QTH nehraje roli. U stanic

|             |                                  |                |                                      |          |              |          |
|-------------|----------------------------------|----------------|--------------------------------------|----------|--------------|----------|
| Date:       | 05-Jul-2004                      | 17:36:44 Local | 15:36:44 UTC                         |          |              |          |
| Start Time: | 15:36                            | Country:       | USA - AL,FL,GA,KY,NC,SC,TN,VA        |          |              |          |
| End Time:   |                                  | Time:          | 10:36 [Standard]                     |          |              |          |
| Mode:       | CW Set                           | Lat/Long:      | 036.0953N 080.3206W (Na)             |          |              |          |
| Frequency:  | 14.026                           | ITU Zone:      | 08                                   |          |              |          |
| Call:       | W4DGJ                            | CQ Zone:       | 05                                   |          |              |          |
| His RST:    | 599                              | Beam:          | 298° 7345 km Longpath 118°           |          |              |          |
| My RST:     | 599                              | Name:          | George H Mc Bride                    |          |              |          |
| Name:       |                                  |                | 126 Buckingham Rd, Winston Salem, NC |          |              |          |
| QTH:        | Winston Salem, NC, United States |                |                                      |          |              |          |
| Comment:    |                                  |                |                                      |          |              |          |
|             | 33 wpm                           |                |                                      |          |              |          |
| PWR         | ITU                              | CQ             | Grid                                 | IOTA     | County       | Dup      |
|             | 08                               | 05             |                                      |          | NC - Forsyth |          |
| Update      |                                  | Send QSL       | Sent                                 | Received | 82001        | Previous |

Obr. 9. Deník nabízí výchozí report 599, kurzor je umístěn pod prostřední číslicí, kterou je možné přepsat (Y/Plg). Na obrázku je rovněž vidět podpora callbooku včetně doplnění okresu USA do deníku

Protože toto „divadlo“ trvalo asi hodinu, stihl jsem přejít o 3 km blíž k majáku a poslechnout si to z poloviční vzdálenosti. Charakter byl odlišný, je ale obtížné to přesně popsat. Na celém náhodném pokusu je důležité praktické zjištění, jak vadí těmto vysokým kmitočtům dešť. Prostor, kde drobně pršelo, byl široký jen nějakou stovku metrů – možná ještě méně, a přesto v něm signál zcela „uvízl“. Jak to asi může vypadat na trase dlouhé desítky km, si lze odvodit z grafů na obr. 3. To platí i pro pásmo 24 GHz, pásmo 10 GHz vychází již příznivěji. Velmi poučné bylo srovnání s pásmem 24 GHz ohledně od-

razů od terénu či nějakých předmětů ve vzdálenosti asi 2 až 4 km. Odraz byl z téhož místa registrovatelný (i když na vstupu 47 GHz transvertoru je jen subharmonický směšovač). Pomocí dalekohledu bylo možné ihned zjistit, že odraz je od zemědělského stavení s členitým okolím plným hospodářských strojů a stavebního materiálu. Odrazí patrně střecha nebo vhodně situované předměty příhodné velikosti.

Toto všechno jsou pozitivní zjištění a je jen otázkou krátkého času, kdy budou dostupné výkonnější komponenty a způsoby jejich montáže, aby se dosahovaly

výsledky srovnatelné s 24 GHz. Jen útlum prostředí je citelně větší (absorpce v energii vodní párou – obr. 4), a tak už je prakticky vyzkoušené, že pro pokusy je vhodné chladné počasí s malou vlhkostí vzduchu. Vodní páry jsou dilem zkondenzované a útlum trasy je menší.

Je také jen otázkou času, kdy se objeví příslušná elektronika s postupnou vlnou a někdo to přišroubuje ke správné parabole pro provoz EME. Ale zatím nás čeká ještě ta pozemská etapa a jak se to dosud jeví, snadná zrovna nebude.



## Kalendář závodů na listopad (UTC)

|          |                                |                |             |
|----------|--------------------------------|----------------|-------------|
| 2.11.    | Nordic Activity                | 144 MHz        | 18.00-22.00 |
| 6.-7.11. | A1 Contest - MMC <sup>1)</sup> | 144 MHz        | 14.00-14.00 |
| 9.11.    | Nordic Activity                | 432 MHz        | 18.00-22.00 |
| 13.11.   | FM Contest                     | 144 a 432 MHz  | 09.00-11.00 |
| 21.11.   | Provozní aktiv                 | 144 MHz-10 GHz | 08.00-11.00 |
| 21.11.   | AGGH Activity                  | 432 MHz-76 GHz | 08.00-11.00 |
| 21.11.   | OE Activity                    | 432 MHz-10 GHz | 08.00-13.00 |
| 23.11.   | Nordic Activity                | 50 MHz         | 18.00-22.00 |

<sup>1)</sup> Podmínky viz časopis Radioamatér 6/2003 (zelená vložka), deníky na OK1DOZ: *Bedřich Jánský, Družby 337, 530 09 Pardubice*; El. deníky na E-mail: [ok1kpa@volny.cz](mailto:ok1kpa@volny.cz) a paket: *OK1KPA @ OK0PHL*

OK1MG

## Kalendář závodů na říjen - listopad (UTC)

|            |                            |          |             |
|------------|----------------------------|----------|-------------|
| 16.10.     | Plzeňský pohár             | CW i SSB | 05.00-06.30 |
| 16.-17.10. | JARTS RTTY WW              | RTTY     | 00.00-24.00 |
| 16.-17.10. | Worked all Germany         | MIX      | 15.00-15.00 |
| 17.10.     | 21/28 MHz RSGB Contest     | CW       | 07.00-19.00 |
| 30.-31.10. | CQ WW DX Contest           | SSB      | 00.00-24.00 |
| 30.-31.10. | WW SWL Challenge           | SSB      | 00.00-24.00 |
| 1.-7.11.   | HA-QRP Test                | CW       | 00.00-24.00 |
| 1.11.      | Aktivita 160               | SSB      | 20.30-21.30 |
| 5.11.(pá)  | Beograd Contest            | CW+SSB   | 19.00-24.00 |
| 6.11.      | SSB liga                   | SSB      | 05.00-07.00 |
| 6.11.      | IPARC                      | CW       | viz podm.   |
| 6.-7.11.   | Ukrainian DXC RTTY+SSB+CW  |          | 12.00-12.00 |
| 7.11.      | Provozní aktiv KV          | CW       | 05.00-07.00 |
| 7.11.      | HSC CW Contest             | CW       | viz podm.   |
| 7.11.      | DARC Corona 10 m           | DIGI     | 11.00-17.00 |
| 7.11.      | IPARC                      | SSB      | viz podm.   |
| 8.11.      | Aktivita 160               | CW       | 20.30-21.30 |
| 13.-14.11. | Europ. Contest (WAEDC)RTTY |          | 00.00-24.00 |
| 13.-14.11. | Esperanto Contest          | SSB      | 00.00-24.00 |
| 13.11.     | OM Activity                | CW/SSB   | 05.00-07.00 |
| 13.-14.11. | Japan DX Contest           | SSB      | 07.00-13.00 |
| 13.14.11.  | OK/OM-DX Contest           | CW       | 12.00-12.00 |
| 19.11.     | YO PSK                     | PSK      | 16.00-22.00 |
| 20.-21.11. | LZ-DX Contest              | CW       | 12.00-12.00 |
| 20.-21.11. | Concurso Tenerife (?*)     | SSB      | 16.00-16.00 |
| 20.-21.11. | OE - 160 m Contest *)      | CW       | 16.00-07.00 |
| 20.-21.11. | Second 1,8 MHz RSGB        | CW       | 21.00-01.00 |

|            |                  |    |             |
|------------|------------------|----|-------------|
| 21.11.     | HOT Party AGCW   | CW | 13.00-17.00 |
| 27.-28.11. | CQ WW DX Contest | CW | 00.00-24.00 |
| 27.-28.11. | WW SWL Challenge | CW | 00.00-24.00 |

(?\*) Termín podle SM3CER; doposud však vždy spolu s OK/OM DX Contestem.

\*) O tomto víkendu pořádá závod v pásmu 160 m několik organizací, každá provádí vlastní hodnocení.

**Nezapomeňte na změnu z letního na zimní čas 31. 10. 2004 v 03.00!!**

**Podmínky všech závodů naleznete na internetových stránkách našeho časopisu - [www.aradio.cz](http://www.aradio.cz)**

**Adresy k odesílání deníků přes Internet:**

1,8 MHz RSGB:  
[2nd160.logs@rsgbhfcc.org](mailto:2nd160.logs@rsgbhfcc.org)  
21/28 MHz RSGB CW:  
[2128cw.logs@rsgbhfcc.org](mailto:2128cw.logs@rsgbhfcc.org)

All Austria 160 m: [hf-contest@oevsv.at](mailto:hf-contest@oevsv.at)  
Conc. Iberoam.: [ea5al@ure.es](mailto:ea5al@ure.es)  
CQ WW SSB: [ssb@cqww.com](mailto:ssb@cqww.com)  
CQ WW CW: [cw@cqww.com](mailto:cw@cqww.com)  
DARC Corona: [df5bx@darcd.de](mailto:df5bx@darcd.de)  
HSC: [hsc-contest@dl3bzz.de](mailto:hsc-contest@dl3bzz.de)  
IPARC: [dl8kcg@darcd.de](mailto:dl8kcg@darcd.de)  
Japan DX int.: [jidx-ph@jidx.org](mailto:jidx-ph@jidx.org)  
LZ-DX: [lzdxc@yahoo.com](mailto:lzdxc@yahoo.com)  
nebo [contest@mail.orbitel.bg](mailto:contest@mail.orbitel.bg)

OK-OM DX: [okomdx@radioamater.cz](mailto:okomdx@radioamater.cz)  
Plzeňský pohár: [ok1drq@quick.cz](mailto:ok1drq@quick.cz)  
Tenerife: [ea8urt@cistia.es](mailto:ea8urt@cistia.es)  
Ukraine DX: [urdx@tav.kiev.ua](mailto:urdx@tav.kiev.ua)  
WAEDC: [waedc@darcd.de](mailto:waedc@darcd.de)  
WAG: [wag@dxhf.darcd.de](mailto:wag@dxhf.darcd.de)  
YO PSK: [yo5crq@qsl.net](mailto:yo5crq@qsl.net)

QX

### † Silent key

**OK2BHV,  
OK2PP**



3. července 2004 nás navždy opustil ve věku 66 let starý dobrý kamarád **Milan Prokop, OK2BHV, OK2PP**, z Bučovic, díky své nezapomenutelné letoře mezi hamy přezdívaný „Divoch“. Vynikající technik, telegrafista, závodník, muzikant a zpěvák, ale hlavně člověk se zlatým srdcem. Čest jeho památce.

maticky na výchozí hodnotu a kurzor by měl být umístěn pod číslicí, u které lze předpokládat nejčastější změny, tj. zpravidla údaj S. Všechny nabízené číslice musí být možné přepsat. Navigovat kurzor v okénkách reportů lze šipkami vpravo a vlevo, pole RST opouštíme opět mezníkem. Program musí umožňovat nastavit, který report budeme psát dříve – vyslaný či přijatý. Nastavení se provede jednou (setup) podle zvyklostí operátora. Práci s údajem RST ukáže nejlépe příklad:

Pracujeme-li provozem CW, deník nám nabízí výchozí report 599, kurzor je umístěn pod prostřední číslicí (obr. 9). Jako první je nastaven přijatý report. Dostaneme-li skutečně 599, stačí stisknout mezník – hotovo. Kurzor skočí do sousedního pole odeslaného reportu, opět pod prostřední číslicí, dáváme-li 599, stačí opět stisknout mezník, kurzor přeskóčí do sousedního pole (jakého, si po-

## INZERCE

Za první tučný řádek 75 Kč, za každý další i započatý 30 Kč.

**DARUJI: Nabízím k darování tyto věci:** několik starých osciloskopů různých značek a provedení, vř. a nř generátory, Q-metr, barevný monitor VÚST a jiné. Dále mohu nabídnout staré televizory včetně 1. čs. typu (vhodné pro sběratele), projekční televizor, rádia (Atlanta) a gramodesky 78 ot. Rovněž zadarmo nabízím staré časopisy Funktechnik, Funkschau, Sdělovací technika, Amatérské radio a dokumentace televizorů. E-mail: [vlt.vladimir@worldonline.cz](mailto:vlt.vladimir@worldonline.cz)

**Pro sběratele starých radio-technických a elektronických přístrojů:**

**Rundfunkbörse Dresden -  
Radiotechnická burza  
v Drážďanech  
sobota 9. 10. 2004**

viz: [www.rundfunkboerse.de](http://www.rundfunkboerse.de)

**Dům dětí a mládeže Praha 9  
hledá**

**vedoucí ELEKTRO-kroužku**

**Požadujeme:** zodpovědnost, spolehlivost a komunikační dovednosti. **Nabízíme:** aktivní (někdy velmi aktivní) odpočinek, možnost seberealizace, odměnu 80 Kč/hod. Kroužek trvá 1,5 hodiny týdně, je určen pro děti od 10 do 14 let. Začal v září 2004.

<http://www.ddm.zde.cz/Docs/hledame.htm>

Kontakt: Filip Reichel, vedoucí technického odd., DDM Měšická 720, Praha 9 - Prosek.

Tel.: +420 286 884 456, +420 603 321 694, [filip@ddm.zde.cz](mailto:filip@ddm.zde.cz), [www.ddm.zde.cz](http://www.ddm.zde.cz)

víme dále). Pokud si vyměňujeme reporty 579, stačí stisknout 7 a mezník apod.

Zapsat report 449 již bude obtížnější, nejdřív bude nutné šipkou vlevo umístit kurzor pod údaj R a přepsat ho na 4, další údaj (S) opět na 4 a mezníkem do sousedního pole. Exotický report 499 se analogicky запиše tak, že se kurzor šipkou umístit pod údaj R, přepíše, a mezníkem opět přeskóčíme do sousedního pole. Zápis dalších decibelů přes S 9 se nejeví jako nutný, jeho umožnění by značně komplikovalo jak samotný zápis, tak pravděpodobně i tiskové výstupy (s ohledem na velikost nálepek a jejich cenu) a vlastní programování. Jeho případné zavedení by znamenalo dvakrát stisknutí mezníku navíc a zařazení procedury, která povolí jeho zápis až tehdy, když program skutečně zjistí, že příslušný report byl skutečně 599.

(Pokračování)

RR

/MM a /AM deník musí automaticky rozpoznat, že stanice je na palubě lodi či letadla, většina deníků se /MM snaží umístit do Skotska a /AM do Španělska, případně zobrazí chybové hlášení. Expediční značky jednoho držitele, který pracoval z různých zemí, by však deník měl umět vyhodnotit odděleně, tj. DL/OK1LLL a IH9/OK1LLL jsou dvě různé stanice.

**REPORT – RST** (vyslaný i přijatý) může obsahovat pouze číslice, ve výjimečných případech určitá písmena (např. M, O, R, A). Rozhodnutí o tom, pustí-li program zápis písmen, je závislé na pásmu. Logicky na kmitočtech po 30 MHz nebude tedy zápis písmen dovolen. Při CW a RTTY bude mít report tři číslice, při ostatních druzích provozu dvě. Na VKV, kde je možné zapisovat i spojení přes převaděče, lze připustit i jednoznakový report.

Pokud program přebírá údaje z transceiveru, měl by report být nastaven auto-